



MÁRCIO INÁCIO SANTANA

**BUSCA EM LARGURA COM ESTRUTURA BAG E PADRÕES
OPENMP E MPI EM MÁQUINAS DE ALTO DESEMPENHO**

LAVRAS – MG

2021

MÁRCIO INÁCIO SANTANA

**BUSCA EM LARGURA COM ESTRUTURA BAG E PADRÕES OPENMP E MPI EM
MÁQUINAS DE ALTO DESEMPENHO**

Monografia apresentada à Universidade Federal de Lavras, como parte das exigências do Curso de Ciência da Computação, para a obtenção do título de Bacharel.

Prof. DSc. Sanderson L. Gonzaga de Oliveira

Orientador

LAVRAS – MG

2021

MÁRCIO INÁCIO SANTANA

BUSCA EM LARGURA COM ESTRUTURA BAG E PADRÕES OPENMP E MPI EM MÁQUINAS DE ALTO DESEMPENHO

Monografia apresentada à Universidade Federal de Lavras, como parte das exigências do Curso de Ciência da Computação, para a obtenção do título de Bacharel.

APROVADO em 19 de novembro de 2021.

| | |
|---|----------|
| Prof. DSc. Sanderson L. Gonzaga de Oliveira | UFLA |
| Prof. DSc. Diego Nunes Brandão | CEFET-RJ |
| Prof. DSc. Denilson Alves Pereira | UFLA |

Prof. DSc. Sanderson L. Gonzaga de Oliveira
Orientador

**LAVRAS – MG
2021**

Dedico aos meus pais, Antônio e Conceição, e a minha namorada, Aline.

AGRADECIMENTOS

Agradeço a Deus, por me permitir experienciar a existência.

Agradeço aos meus pais, Antônio e Conceição, por serem os seres humanos com as qualidades mais nobres que já conheci e sem os quais eu nada seria.

Agradeço a minha namorada, Aline, por ser minha fortaleza e fazer de mim uma pessoa melhor.

Agradeço ao meu Orientador, prof. Sanderson, pelo assencial apoio no desenvolvimento deste trabalho, pelo conhecimento transmitido, ajuda e pelas entrelinhas de seus ensinamentos, que me tornaram mais forte.

Agradeço à profa. Carla Osthoff pelo imprescindível apoio no projeto, disponibilizando acesso ao supercomputador SDumont do LNCC.

Agradeço ao prof. Diego Nunes pelo também imprescindível apoio no projeto, disponibilizando acesso à máquina “SKL“ do CEFET-RJ e por suas valorosas contribuições para o melhoramento deste trabalho.

Agradeço ao prof. Denilson Alves por suas importantes contribuições para o aprimoramento do texto deste trabalho.

RESUMO

O desenvolvimento de implementações paralelas eficientes da busca em largura é de interesse fundamental, pois esse algoritmo é largamente utilizado como base em aplicações na ciência e na indústria. O objetivo deste trabalho foi desenvolver implementações paralelas da busca em largura utilizando a API *OpenMP* e a biblioteca *MPI* e a realização de amplo conjunto de testes em máquinas de alto desempenho para medir e analisar a performance dessas implementações. A metodologia consistiu na utilização da estrutura *bag*, por meio de adaptação do algoritmo *PBFS* de Leiserson e Schardl para duas versões de paralelização, uma com *OpenMP* puro (*PBFS_O*) e outra com *MPI* e *OpenMP* (*PBFS_H*). Foram aferidos os *speedups* das implementações paralelas, quando executadas sobre 63 grafos de teste em 2 máquinas de alto desempenho distintas. Os resultados obtidos por este trabalho foram o alcance de implementações funcionais do algoritmo *PBFS*, a descrição detalhada das versões adaptadas e a realização de testagem ampla em máquinas de alto desempenho com a medição dos *speedups* alcançados. As implementações desenvolvidas neste trabalho se mostraram, quando executadas sequencialmente, mais rápidas do que o algoritmo tradicional de busca em largura sequencial com fila (*BFS*). As médias geométricas dos tempos de execução sequenciais dos algoritmos *PBFS_O* e *PBFS_H*, foram 5,93% e 4,82% menores, respectivamente, que a média geométrica dos tempos de execução do algoritmo *BFS*. O algoritmo *PBFS_O* atingiu *speedups* máximos de 1,0 a 45,4, enquanto o *PBFS_H* atingiu *speedups* máximos entre 1,0 e 23,3. A implementação que emprega *MPI* e *OpenMP* apresentou desempenho geral pior que a versão paralelizada por *OpenMP* puro, porém os resultados dos testes indicam um melhor uso do *hyperthreading* por parte daquela versão.

Palavras-chave: Algoritmos Paralelos. Busca em Largura. Estrutura *bag*. *MPI*. *OpenMP*. Teoria e algoritmos em grafos. Máquinas de alto desempenho.

LISTA DE FIGURAS

| | |
|--|----|
| Figura 2.1 – União de <i>pennants</i> , dois <i>pennants</i> de tamanho 2^k se unem para formar um <i>pennant</i> de tamanho 2^{k+1} | 18 |
| Figura 2.2 – Uma <i>bag</i> com 3 <i>pennants</i> e com $25 = 00011001_2$ elementos | 19 |
| Figura 5.1 – Gráfico com os <i>speedups</i> obtidos pelo algoritmo $PBFS_O$ nos grafos <i>conexos</i> direcionados, na máquina <i>SKL</i> | 42 |
| Figura 5.2 – Gráfico com os <i>speedups</i> obtidos pelo algoritmo $PBFS_O$ nos grafos <i>conexos</i> não direcionados, na máquina <i>SKL</i> | 44 |
| Figura 5.3 – Gráfico com os <i>speedups</i> obtidos pelo algoritmo $PBFS_H$ nos grafos <i>conexos</i> direcionados, na máquina <i>SKL</i> | 46 |
| Figura 5.4 – Gráfico com os <i>speedups</i> obtidos pelo $PBFS_H$ nos grafos <i>conexos</i> não direcionados, na máquina <i>SKL</i> | 48 |
| Figura 5.5 – Gráfico com os <i>speedups</i> do $PBFS_O$ nos grafos <i>não conexos</i> direcionados, na máquina <i>SKL</i> | 51 |
| Figura 5.6 – Gráfico com os <i>speedups</i> obtidos pelo algoritmo $PBFS_O$ nos grafos <i>não conexos</i> não direcionados, na máquina <i>SKL</i> | 53 |
| Figura 5.7 – Gráfico com os <i>speedups</i> obtidos pelo algoritmo $PBFS_H$ nos grafos <i>não conexos</i> direcionados, na máquina <i>SKL</i> | 55 |
| Figura 5.8 – Gráfico com os <i>speedups</i> obtidos pelo algoritmo $PBFS_H$ nos grafos <i>não conexos</i> não direcionados, na máquina <i>SKL</i> | 57 |
| Figura 5.9 – Gráfico com os <i>speedups</i> obtidos pelo algoritmo $PBFS_O$ nos grafos <i>conexos</i> direcionados, na máquina <i>CLX</i> | 61 |
| Figura 5.10 – Gráfico com os <i>speedups</i> obtidos pelo algoritmo $PBFS_O$ nos grafos <i>conexos</i> não direcionados, na máquina <i>CLX</i> | 63 |
| Figura 5.11 – Gráfico com os <i>speedups</i> obtidos pelo algoritmo $PBFS_H$ nos grafos <i>conexos</i> direcionados, na máquina <i>CLX</i> | 65 |
| Figura 5.12 – Gráfico com os <i>speedups</i> obtidos pelo algoritmo $PBFS_H$ nos grafos <i>conexos</i> não direcionados, na máquina <i>CLX</i> | 67 |
| Figura 5.13 – Gráfico com os <i>speedups</i> obtidos pelo algoritmo $PBFS_O$ nos grafos <i>não conexos</i> direcionados, na máquina <i>CLX</i> | 70 |
| Figura 5.14 – Gráfico com os <i>speedups</i> obtidos pelo algoritmo $PBFS_O$ nos grafos <i>não conexos</i> não direcionados, na máquina <i>CLX</i> | 72 |

| | |
|--|----|
| Figura 5.15 – Gráfico com os <i>speedups</i> obtidos pelo algoritmo $PBFS_H$ nos grafos <i>não conexos</i> direcionados, na máquina <i>CLX</i> | 74 |
| Figura 5.16 – Gráfico com os <i>speedups</i> obtidos pelo algoritmo $PBFS_H$ nos grafos <i>não conexos</i> não direcionados, na máquina <i>CLX</i> | 76 |

LISTA DE TABELAS

| | |
|--|----|
| Tabela 4.1 – Grafos <i>conexos</i> | 36 |
| Tabela 4.2 – Grafos <i>não conexos</i> | 37 |
| Tabela 5.1 – Tempos de execução sequenciais (em segundos) dos algoritmos <i>BFS</i> , <i>PBFS_O</i> , e <i>PBFS_H</i> nos grafos <i>conexos</i> , na máquina <i>SKL</i> | 41 |
| Tabela 5.2 – <i>Speedups</i> obtidos pelo algoritmo <i>PBFS_O</i> nos grafos <i>conexos</i> direcionados, na máquina <i>SKL</i> | 43 |
| Tabela 5.3 – <i>Speedups</i> obtidos pelo algoritmo <i>PBFS_O</i> nos grafos <i>conexos</i> não direciona- dos, na máquina <i>SKL</i> | 45 |
| Tabela 5.4 – <i>Speedups</i> do algoritmo <i>PBFS_H</i> nos grafos <i>conexos</i> direcionados, na má- quina <i>SKL</i> | 47 |
| Tabela 5.5 – <i>Speedups</i> do algoritmo <i>PBFS_H</i> nos grafos <i>conexos</i> não direcionados, na máquina <i>SKL</i> | 49 |
| Tabela 5.6 – Tempos de execução sequenciais (em segundos) dos algoritmos <i>BFS</i> , <i>PBFS_O</i> , e <i>PBFS_H</i> nos grafos <i>não conexos</i> , na máquina <i>SKL</i> | 50 |
| Tabela 5.7 – <i>Speedups</i> obtidos pelo algoritmo <i>PBFS_O</i> nos grafos <i>não conexos</i> direciona- dos, na máquina <i>SKL</i> | 52 |
| Tabela 5.8 – <i>Speedups</i> obtidos pelo algoritmo <i>PBFS_O</i> nos grafos <i>não conexos</i> não dire- cionados, na máquina <i>SKL</i> | 54 |
| Tabela 5.9 – <i>Speedups</i> obtidos pelo algoritmo <i>PBFS_H</i> nos grafos <i>não conexos</i> direciona- dos, na máquina <i>SKL</i> | 56 |
| Tabela 5.10 – <i>Speedups</i> obtidos pelo algoritmo <i>PBFS_H</i> nos grafos <i>não conexos</i> não dire- cionados, na máquina <i>SKL</i> | 58 |
| Tabela 5.11 – Tempos de execução sequenciais (em segundos) dos algoritmos <i>BFS</i> , <i>PBFS_O</i> , e <i>PBFS_H</i> nos grafos <i>conexos</i> , na máquina <i>CLX</i> | 60 |
| Tabela 5.12 – <i>Speedups</i> obtidos pelo algoritmo <i>PBFS_O</i> nos grafos <i>conexos</i> direcionados, na máquina <i>CLX</i> | 62 |
| Tabela 5.13 – <i>Speedups</i> obtidos pelo algoritmo <i>PBFS_O</i> nos grafos <i>conexos</i> não direciona- dos, na máquina <i>CLX</i> | 64 |
| Tabela 5.14 – <i>Speedups</i> obtidos pelo algoritmo <i>PBFS_H</i> nos grafos <i>conexos</i> direcionados, na máquina <i>CLX</i> | 66 |

| | |
|---|----|
| Tabela 5.15 – <i>Speedups</i> obtidos pelo algoritmo $PBFS_H$ nos grafos <i>conexos</i> não direcionados, na máquina <i>CLX</i> | 68 |
| Tabela 5.16 – Tempos de execução sequenciais (em segundos) dos algoritmos BFS , $PBFS_O$, e $PBFS_H$ nos grafos <i>não conexos</i> , na máquina <i>CLX</i> | 69 |
| Tabela 5.17 – <i>Speedups</i> obtidos pelo algoritmo $PBFS_O$ nos grafos <i>não conexos</i> direcionados, na máquina <i>CLX</i> | 71 |
| Tabela 5.18 – <i>Speedups</i> obtidos pelo algoritmo $PBFS_O$ nos grafos <i>não conexos</i> não direcionados, na máquina <i>CLX</i> | 73 |
| Tabela 5.19 – <i>Speedups</i> obtidos pelo algoritmo $PBFS_H$ nos grafos <i>não conexos</i> direcionados, na máquina <i>CLX</i> | 75 |
| Tabela 5.20 – <i>Speedups</i> obtidos pelo algoritmo $PBFS_H$ nos grafos <i>não conexos</i> não direcionados, na máquina <i>CLX</i> | 77 |
| Tabela 5.21 – <i>Speedups</i> máximos obtidos pelos algoritmos $PBFS_O$ e $PBFS_H$ nos grafos <i>conexos</i> , nas máquinas <i>SKL</i> e <i>CLX</i> | 79 |
| Tabela 5.22 – <i>Speedups</i> máximos obtidos pelos algoritmos $PBFS_O$ e $PBFS_H$ nos grafos <i>não conexos</i> , nas máquinas <i>SKL</i> e <i>CLX</i> | 80 |

SUMÁRIO

| | | |
|----------|---|-----------|
| 1 | INTRODUÇÃO | 11 |
| 1.1 | Contextualização e tema | 11 |
| 1.2 | Problema e objetivos | 13 |
| 1.2.1 | Problema | 13 |
| 1.2.2 | Objetivo geral | 13 |
| 1.2.3 | Objetivos específicos | 14 |
| 1.3 | Justificativa | 14 |
| 1.4 | Estrutura do trabalho | 15 |
| 2 | REFERENCIAL TEÓRICO | 16 |
| 2.1 | Conceitos | 16 |
| 2.1.1 | A busca em largura (<i>BFS</i>) | 16 |
| 2.1.2 | A estrutura de dados <i>bag</i> | 17 |
| 2.1.3 | A busca em largura paralela (<i>PBFS</i>) com <i>bags</i> | 19 |
| 2.2 | Trabalhos correlatos | 21 |
| 3 | DESENVOLVIMENTO | 23 |
| 3.1 | Implementações | 23 |
| 3.1.1 | Algoritmo <i>PBFS_O</i> | 23 |
| 3.1.2 | Algoritmo <i>PBFS_H</i> | 29 |
| 3.1.3 | Diferenças em relação ao algoritmo <i>PBFS</i> | 30 |
| 4 | METODOLOGIA | 34 |
| 4.1 | Classificação da pesquisa | 34 |
| 4.2 | Procedimentos metodológicos | 34 |
| 4.2.1 | Grafos de teste | 34 |
| 4.2.2 | Máquinas de teste | 37 |
| 4.2.3 | Descrição dos testes | 38 |
| 5 | RESULTADOS E ANÁLISE | 40 |
| 5.1 | Testes na máquina <i>SKL</i> | 40 |
| 5.1.1 | Grafos <i>conexos</i> | 40 |
| 5.1.1.1 | <i>Speedups</i> do algoritmo <i>PBFS_O</i> | 41 |
| 5.1.1.2 | <i>Speedups</i> do algoritmo <i>PBFS_H</i> | 45 |
| 5.1.2 | Grafos <i>não conexos</i> | 49 |

| | | |
|---------|---|----|
| 5.1.2.1 | <i>Speedups</i> do algoritmo $PBFS_O$ | 51 |
| 5.1.2.2 | <i>Speedups</i> do algoritmo $PBFS_H$ | 54 |
| 5.2 | Testes na máquina CLX | 58 |
| 5.2.1 | Grafos <i>conexos</i> | 59 |
| 5.2.1.1 | <i>Speedups</i> do algoritmo $PBFS_O$ | 60 |
| 5.2.1.2 | <i>Speedups</i> do algoritmo $PBFS_H$ | 64 |
| 5.2.2 | Grafos <i>não conexos</i> | 68 |
| 5.2.2.1 | <i>Speedups</i> do algoritmo $PBFS_O$ | 70 |
| 5.2.2.2 | <i>Speedups</i> do algoritmo $PBFS_H$ | 73 |
| 5.3 | Resumo | 77 |
| 6 | CONCLUSÃO | 81 |
| 6.1 | Trabalhos futuros | 81 |
| | REFERÊNCIAS | 82 |

1 INTRODUÇÃO

Este capítulo tem como objetivos apresentar o tema abordado neste trabalho (*Seção 1.1*), bem como introduzir o problema juntamente com os objetivos (*Seção 1.2*), a justificativa para a pesquisa realizada (*Seção 1.3*) e, por fim, descrever como o restante deste trabalho encontra-se estruturado (*Seção 1.4*).

1.1 Contextualização e tema

Existe um grande e crescente volume de dados que são provenientes de tecnologias como telefones celulares, dados médicos, interações nas mídias sociais, experimentos científicos, etc. Um dos grandes desafios da atualidade é a realização da análise de dados originários de fontes que incluem redes sociais como Google, Facebook e Twitter, sistemas biológicos, classificação de páginas da web, pesquisa genômica e de experimentos da física de partículas, por exemplo. Tais dados podem ser modelados, para sua manipulação computacional por diversos algoritmos, como estruturas de dados *grafo*.

A busca em largura (*BFS*, de *Breadth-First Search Procedure*) é um dos algoritmos mais importantes estudados, por ser um algoritmo fundamental para percorrimento de *grafos*, sendo assim utilizado como base para diversos outros algoritmos com aplicações em diversas áreas da ciência e da indústria. A seguir são listadas algumas aplicações do algoritmo *BFS*:

- *Caminho mínimo e árvore geradora mínima* para grafos não ponderados: em um grafo não ponderado, o caminho mínimo é o caminho com o menor número de arestas. Com o algoritmo de busca em largura, sempre se alcança um vértice a partir de um vértice de origem percorrendo-se o menor número de arestas possível.

Uma árvore T é chamada de *árvore geradora* de um grafo G se T é um subgrafo de G que possui todos os vértices de G , além disso, para grafos não ponderados, qualquer *árvore geradora* é uma *árvore geradora mínima* (aquela com custo total mínimo), que pode ser encontrada por meio da busca em largura.

- *Redes Peer to Peer(P2P)*: em redes *P2P*, como o *BitTorrent* (um sistema descentralizado de compartilhamento de arquivos), a busca em largura é utilizada para encontrar todos os vizinhos de um nó da rede.

- *Web crawlers* em ferramentas de busca: *Web crawlers* constroem índices usando a busca em largura. A ideia é começar a partir de uma página inicial, seguir todos os links encontrados e repetir o processo iterativamente nas novas páginas encontradas. A busca em profundidade também pode ser usada nos *web crawlers*, mas a vantagem no uso da busca em largura está no fato de que a altura da árvore construída pode ser limitada facilmente.
- Redes sociais: nas redes sociais, pode-se encontrar pessoas que estão a uma distância ‘*d*’ de outra pessoa (distância no sentido de relações de amizade dentro da rede social) usando o algoritmo de busca em largura e iterando por ‘*d*’ níveis.
- Sistemas de navegação por *GPS*: nesses sistemas de navegação a busca em largura pode ser utilizada para encontrar todas as localizações vizinhas de uma dada localização.
- *Broadcast* em uma rede: em redes de computadores, *broadcast* significa o envio de um pacote de informação a partir de um nó dessa rede para todos os nós receptores simultaneamente. Um pacote enviado via *broadcast* segue o algoritmo de busca em largura para chegar até todos os nós receptores.
- *Coleta de lixo*: em ciência da computação, a *coleta de lixo* é uma forma de gerenciamento automático de memória. O *coletor de lixo* tenta recuperar a memória que foi alocada pelo programa, mas não é mais referenciada - também chamada de *lixo*. A *coleta de lixo* foi inventada pelo cientista da computação americano John McCarthy por volta de 1959 para simplificar o gerenciamento manual de memória da linguagem de programação Lisp (MCCARTHY, 1960). A busca em largura é usada para copiar a *coleta de lixo* usando o algoritmo de Cheney, descrito em Cheney (1970).
- Redução de *largura de banda* em matrizes: os algoritmos de baixo custo computacional no estado da arte para o problema de redução de *largura de banda* de matrizes, um importante problema de otimização combinatória, são baseados na busca em largura (OLIVEIRA; SILVA, 2019; OLIVEIRA; SILVA, 2020).

Sendo assim, o desenvolvimento de algoritmos de busca em largura rápidos e eficientes é de fundamental interesse. Neste trabalho, serão apresentadas duas implementações de variantes do algoritmo de busca em largura paralelo desenvolvido por Leiserson e Schardl (2010), algoritmo este denominado por esses autores de *PBFS*. Uma das versões foi desenvolvida empregando paralelização por *OpenMP* e a outra com paralelização híbrida por *MPI* e *OpenMP*.

Essas variações do algoritmo *PBFS* foram desenvolvidas com foco em sistemas de memória compartilhada, assim, para o caso da versão híbrida, o *MPI* foi utilizado para paralelização inter-soquete e o *OpenMP* para paralelização intra-soquete e, para a outra versão, o *OpenMP* foi utilizado para ambos os casos. Foram realizados experimentos com o objetivo de aferir-se os *speedups* alcançados pelas implementações em 2 máquinas de alto desempenho com 63 diferentes grafos de teste.

1.2 Problema e objetivos

Esta seção apresenta o problema e os objetivos que foram abordados neste trabalho. O propósito fundamental da *PBFS* é a execução de uma busca em largura, que pode ser definida da seguinte forma: dado um grafo $G(V, E)$, onde V é o conjunto de vértices e E o conjunto de arestas de G , o procedimento da busca em largura consiste em explorar os vértices de G a partir de um vértice de origem $s \in V$ de maneira crescente em relação à distância em número de arestas à qual os vértices se encontram da origem, ou seja, o primeiro vértice a ser explorado é s , em seguida, explora-se os vértices que podem ser alcançados percorrendo-se uma aresta a partir de s , na sequência os vértices que estão a duas arestas de distância de s são visitados e assim sucessivamente até que todos os vértices alcançáveis a partir da origem sejam visitados, produzindo-se assim uma árvore de busca em largura.

1.2.1 Problema

O problema da busca em largura paralela, consiste em resolver o problema da busca em largura utilizando múltiplos processadores. Este estudo teve como base o algoritmo *PBFS* de Leiserson e Schardl (2010), que utilizou a estrutura de dados *bag* em substituição à estrutura *fila*. Assim, o problema abordado por este trabalho é expresso pela seguinte pergunta: Como criar novas versões do algoritmo *PBFS* de Leiserson e Schardl (2010) para desenvolver implementações da busca em largura paralela utilizando paralelização por *OpenMP* e por *MPI* e *OpenMP*, na linguagem de programação *C++*, e qual a performance dessas implementações?

1.2.2 Objetivo geral

O objetivo geral foi realizar um trabalho experimental que consistiu em desenvolver implementações de variações do algoritmo *PBFS* de Leiserson e Schardl (2010) na linguagem

de programação C++ e nas quais a paralelização fosse feita por *OpenMP* e por *MPI* em conjunto com *OpenMP*, além da realização de um amplo conjunto de testes em máquinas de alto desempenho para medir a performance dessas implementações.

1.2.3 Objetivos específicos

Os objetivos específicos deste trabalho consistiram em:

1. Estudar conceitos necessários ao entendimento e adaptação do algoritmo *PBFS*;
2. Revisar estudos de trabalhos correlacionados ao tema;
3. Desenvolver uma versão do algoritmo *PBFS* com paralelização por *OpenMP* e descrever as adaptações feitas;
4. Desenvolver uma versão do algoritmo *PBFS* com paralelização por *MPI* e *OpenMP* e descrever as adaptações feitas;
5. Testar as implementações dos algoritmos em máquinas de alto desempenho aferindo-se os *speedups* alcançados.
6. Analisar os resultados dos testes em função das diferentes implementações realizadas.

1.3 Justificativa

Atualmente, o algoritmo de busca em largura é utilizado na composição de diversos algoritmos que têm extrema relevância na manipulação de dados de diversas fontes e que são utilizados em aplicações comerciais e também são fundamentais em muitas áreas de pesquisa. Neste sentido, um incremento da capacidade de processamento de dados contribui significativamente para o aumento da eficiência de aplicações utilizadas, por exemplo, na indústria e também para o avanço dos estudos em diversos campos (BRANDÃO et al., 2019). Esforços que visam aumentar a velocidade e a eficiência de algoritmos de busca geralmente se dão pela utilização de novas estruturas de dados e por novas técnicas de paralelização.

O algoritmo de busca em largura sequencial clássico (*Algoritmo 1*) utiliza uma estrutura de dados auxiliar chamada fila, uma estrutura muito eficiente cuja complexidade de suas operações de enfileirar e desenfileirar são da ordem de $O(1)$. Um dos desafios de implementações alternativas é encontrar uma estrutura que mantenha o tempo de acesso aos dados em $O(1)$,

mas na qual seja possível realizar-se o acesso paralelo; por isso, neste trabalho optou-se pela utilização da estrutura *bag*.

O algoritmo proposto por Leiserson e Schardl (2010) também utiliza a estrutura *bag*, porém com o foco em uma implementação em *Cilk++*, uma extensão às linguagens *C* e *C++* para suportar paralelismo de dados e de tarefas que foi descontinuada. Portanto, o desenvolvimento de implementações da *PBFS* com ferramentas de paralelização amplamente empregadas atualmente é relevante. Brandão et al. (2019) apresenta um estudo da utilização do *OpenMP* na paralelização de um algoritmo de busca em largura, porém, o foco desse trabalho não foi na realização de testagem ampla ou de descrever adaptações feitas no algoritmo *PBFS*, mas sim de ser um verdadeiro tutorial da publicação de Leiserson e Schardl (2010).

Pelo exposto, a pesquisa deste trabalho se justifica no fato de haver uma lacuna de conhecimento em relação à descrição detalhada de adaptações da busca em largura paralela com *bags* direcionada para uma implementação em *C++* com paralelização por *OpenMP* e *MPI*, além da realização de testagem ampliada em máquinas de alto desempenho.

1.4 Estrutura do trabalho

O *Capítulo 2* descreve as bases teóricas da *BFS* e da *PBFS*, exhibe definições da estrutura de dados *bag* e sua estrutura componente, denominada *pennant*, bem como apresenta operações que podem ser aplicadas a essas estruturas de maneira a se obter as manipulações necessárias à *PBFS* e revisa trabalhos prévios correlacionados ao problema abordado neste trabalho. O *Capítulo 3* apresenta um breve resumo do roteiro de desenvolvimento do trabalho e detalha as adaptações feitas no algoritmo *PBFS* original. O *Capítulo 4* apresenta a classificação da pesquisa realizada, descreve as implementações da *BFS* e das variações da *PBFS*, mostra detalhes dos grafos de teste selecionados e seus critérios de seleção, detalha as especificações das máquinas utilizadas e descreve os testes realizados e sobre quais parâmetros ocorreram. No *Capítulo 5*, são apresentados e analisados os resultados do trabalho e dos testes das implementações nas diferentes máquinas. Por fim, no *Capítulo 6*, são discutidos fatos relevantes sobre o desenvolvimento do trabalho e é realizado o direcionamento para futuras contribuições.

2 REFERENCIAL TEÓRICO

Este capítulo objetiva-se a apresentar suporte para os conceitos cuja compreensão foi necessária e serviram como fundamento para o desenvolvimento deste trabalho (*Seção 2.1*), além de apresentar o conhecimento prévio fruto de trabalhos correlatos (*Seção 2.2*).

2.1 Conceitos

A seguir, na *Seção 2.1.1*, são apresentados conceitos relacionados à busca em largura sequencial(*BFS*); na *Seção 2.1.2*, apresenta-se conceitos relativos à estrutura de dados (*bag*) e sua estrutura de dados componente chamada *pennant*, por fim, na *Seção 2.1.3*, são descritos conceitos referentes à busca em largura paralela(*PBFS*).

2.1.1 A busca em largura (*BFS*)

A busca em largura é um dos algoritmos de busca em grafos mais simples e é o arquétipo para muitos algoritmos importantes. O algoritmo de árvore geradora mínima de Prim e o algoritmo de caminhos mínimos com fonte única de Dijkstra usam ideias similares àquelas da busca em largura. (CORMEN et al., 2009).

Dado um grafo $G = (V, E)$ com o conjunto de vértices $V = V(G)$ e o conjunto de arestas $E = E(G)$, o problema da busca em largura(*BFS*) é calcular para cada vértice $v \in V$ a distância $Dist[v]$ à qual v se encontra de um vértice de origem $s \in V$. Mede-se a distância pelo número mínimo de arestas em um caminho de s para v em G . (CORMEN et al., 2009).

Observando o *Algoritmo 1*, temos a seguinte descrição:

O procedimento serial padrão de busca em largura, [...], supõe que o grafo de entrada $G = (V, E)$ é representado usando uma lista de adjacências. Ele acrescenta vários atributos adicionais a cada vértice no grafo. Armazena-se a cor de cada vértice $u \in V$ no atributo $u.color$ e o predecessor de u no atributo $u.\pi$. Se u não tem predecessor (por exemplo, se $u = s$ ou u ainda não foi descoberto), então $u.\pi = NIL$. O atributo $u.d$ armazena a distância da fonte s até o vértice u computada pelo algoritmo. (CORMEN et al., 2009).

Complexidade da BFS

Ainda em relação ao *Algoritmo 1*, tem-se a seguinte análise:

Após a inicialização, a busca em largura nunca colore um vértice de branco, e por isso o teste na linha 13 assegura que cada vértice é enfileirado no máximo uma vez, e portanto desenfileirado no máximo uma vez. As operações de

Algoritmo 1: Pseudocódigo do algoritmo *BFS*

```

BFS(G, s)
1   for each vertex  $u \in G.V - \{s\}$ 
2        $u.color = WHITE$ 
3        $u.d = \infty$ 
4        $u.\pi = NIL$ 
5    $s.color = GRAY$ 
6    $s.d = 0$ 
7    $s.\pi = NIL$ 
8    $Q = \emptyset$ 
9   ENQUEUE(Q, s)
10  while  $Q \neq \emptyset$ 
11       $u = DEQUEUE(Q)$ 
12      for each  $v \in G.Adj[u]$ 
13          if  $v.color == WHITE$ 
14               $v.color = GRAY$ 
15               $v.d = u.d + 1$ 
16               $v.\pi = u$ 
17              ENQUEUE(Q, v)
18       $u.color = BLACK$ 

```

enfileirar e desenfileirar levam tempo $O(1)$, então o tempo total devido a operações na pilha é $O(V)$. Porque o procedimento escaneia a lista de adjacências de cada vértice somente quando o vértice é desenfileirado, ele escaneia cada lista de adjacências no máximo uma vez. Como a soma dos comprimentos de todas as listas de adjacências é $O(E)$, o tempo gasto na inicialização é $O(V)$ e assim o tempo de execução total do procedimento *BFS* é $O(V + E)$. Portanto, a busca em largura executa em tempo linear no tamanho da lista de adjacências que representa *G*. (CORMEN et al., 2009).

2.1.2 A estrutura de dados *bag*

Esta seção tem por objetivo descrever a estrutura de dados *bag*, que é constituída por uma coleção de outras estruturas de dados chamadas *pennants*, assim sendo, primeiramente serão apresentados os conceitos relativos a esta estrutura e, na sequência, conceitos relacionados àquela estrutura de dados.

Pennants

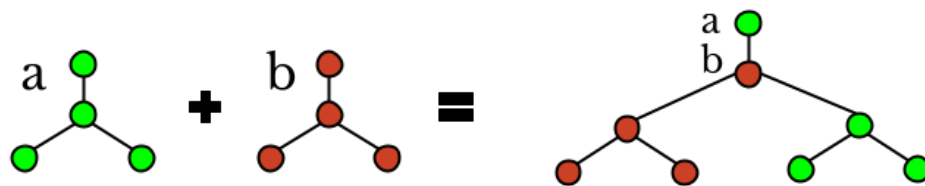
Um *pennant* é uma árvore de 2^k nós, onde k é um número inteiro não negativo. Cada nó x nesta árvore contém dois ponteiros para filhos: $x.left$ e $x.right$. A raiz da árvore tem apenas um filho esquerdo, que é uma árvore binária completa dos elementos restantes. (LEISERSON; SCHARDL, 2010).

Segundo Leiserson e Schardl (2010), "dois *pennants* x e y de tamanho 2^k podem ser combinados para formar um único *pennant* de tamanho 2^{k+1} em tempo $O(1)$ usando a função *PennantUnion*."

Segundo Leiserson e Schardl (2010), "a função *PennantSplit* realiza a operação inversa da função *PennantUnion* em tempo $O(1)$. Assume-se que o *pennant* de entrada contenha pelo menos 2 elementos."

Seja a um *pennant* com pelo menos dois elementos, assim a função *PennantSplit*(a) pode ser descrita da seguinte forma: cria-se um novo *pennant* b que aponta para o filho da esquerda de a , o filho da esquerda de a passa a apontar para o filho da direita de b , o filho da direita de b aponta para *NULL* e, por fim, retorna-se b . Pode-se visualizar a função *PennantSplit* lendo a *Figura 2.1* da direita para a esquerda.

Figura 2.1 – União de *pennants*, dois *pennants* de tamanho 2^k se unem para formar um *pennant* de tamanho 2^{k+1}



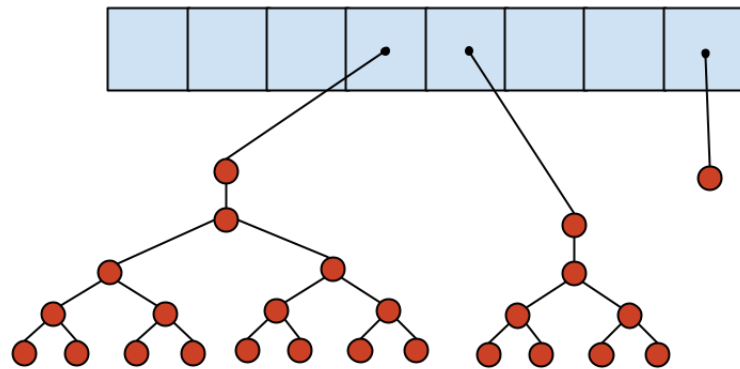
Fonte: Do autor(2021)

Bags

Uma *bag* é uma coleção de *pennants*, dentre os quais não há dois de mesmo tamanho. A *PBFS* representa uma *bag* S usando um array de tamanho fixo $S[0..r]$, chamado de *backbone*, onde 2^{r+1} excede o número máximo de elementos que podem ser armazenados em uma *bag*. Cada entrada $S[k]$ no *backbone* contém um ponteiro nulo ou um ponteiro para um *pennant* de tamanho 2^k . (LEISERSON; SCHARDL, 2010).

A *Figura 2.2* apresenta uma representação gráfica de uma estrutura de dados *bag*.

Figura 2.2 – Uma *bag* com 3 *pennants* e com $25 = 00011001_2$ elementos



Fonte: Do autor(2021)

2.1.3 A busca em largura paralela (*PBFS*) com *bags*

Desenvolvemos uma implementação multithread de busca em largura (BFS) em um grafo esparso usando as extensões Cilk++ para C++. Nosso programa *PBFS* em um único processador é executado tão rapidamente quanto uma implementação padrão em C++ da busca em largura. A *PBFS* alcança alta eficiência de trabalho usando uma nova implementação de uma estrutura de dados de multiconjuntos, chamada de “bag”, no lugar da fila, normalmente empregada em algoritmos de busca em largura seriais. Para uma variedade de grafos de entrada de referência cujos diâmetros são significativamente menores do que o número de vértices - uma condição atendida por muitos grafos do mundo real - a *PBFS* demonstra bom speedup com o número de núcleos de processamento. (LEISERSON; SCHARDL, 2010).

Considerando o *Algoritmo 2*, segundo Leiserson e Schardl (2010): "Após a inicialização, a *PBFS* começa o laço de repetição **while** na linha 7 que iterativamente chama a função auxiliar *PROCESS-LAYER* para processar as camadas $d = 0, 1, \dots, D$, onde D é o diâmetro do grafo de entrada G ."

Para processar $V_d = in\text{-}bag$, *PROCESS-LAYER* extrai cada vértice u contido em *in-bag* em paralelo e examina cada aresta (u, v) em paralelo. Se v ainda não tiver sido visitado - $v.dist$ é infinito (linha 17) - então a linha 18 atribui $v.dist = d + 1$ e a linha 19 insere v na bag de nível $d + 1$. (LEISERSON; SCHARDL, 2010).

Como pode ser observado no *Algoritmo 2*, a atualização de $v.dist$ na linha 18 causa uma condição de corrida, pois dois ou mais vértices que estejam sendo explorados em paralelo podem ambos conter o mesmo vértice v em sua vizinhança e, portanto, $v.dist$ pode estar sendo atualizado simultaneamente por duas *threads* diferentes. Porém, esse conflito não causa problemas e não precisa de bloqueios ou sessões críticas para solucioná-lo, uma vez que essas

threads estariam explorando um mesmo nível e portanto atualizariam $v.dist$ para um mesmo valor, causando apenas retrabalho (LEISERSON; SCHARDL, 2010).

Uma segunda condição de corrida ocorre na linha 19 devido a inserções paralelas de vértices em $V_{d+1} = out\text{-}bag$. Para evitar essa condição de corrida foi empregada a funcionalidade redutor (*reducer*), fazendo de V_{d+1} um redutor de *bags*. onde *BAG-UNION* é a operação associativa utilizada pelo mecanismo de redução. A identidade para *BAG-UNION* - uma *bag* vazia - é criada por *BAG-CREATE* (LEISERSON; SCHARDL, 2010).

Algoritmo 2: Pseudocódigo do algoritmo *PBFS*

```

PBFS( $G, v_0$ )
1  parallel for each vertex  $v \in V(G) - \{v_0\}$ 
2       $v.dist = \infty$ 
3   $v_0.dist = 0$ 
4   $d = 0$ 
5   $V_0 = \text{BAG-CREATE}()$ 
6  BAG-INSERT( $V_0, v_0$ )
7  while  $\neg \text{BAG-IS-EMPTY}(V_d)$ 
8       $V_{d+1} = \text{new reducer BAG-CREATE}()$ 
9      PROCESS-LAYER(revert  $V_d, V_{d+1}, d$ )
10      $d = d + 1$ 

PROCESS-LAYER(in-bag, out-bag,  $d$ )
11  parallel for  $k = 0$  to  $\lfloor \lg(\text{BAG-SIZE}(\textit{in-bag})) \rfloor$ 
12     if  $\textit{in-bag}[k] \neq \text{NULL}$ 
13         PROCESS-PENNANT( $\textit{in-bag}[k]$ , out-bag,  $d$ )

PROCESS-PENNANT(in-pennant, out-bag,  $d$ )
14  if  $\text{PENNANT-SIZE}(\textit{in-pennant}) < \text{GRAINSIZE}$ 
15     for each  $u \in \textit{in-pennant}$ 
16         parallel for  $v \in G.Adj[u]$ 
17             if  $v.dist == \infty$ 
18                  $v.dist = d + 1$ 
19                 BAG-INSERT(out-bag,  $v$ )
20  else
21      $\textit{new-pennant} = \text{PENNANT-SPLIT}(\textit{in-pennant})$ 
22     spawn PROCESS-PENNANT( $\textit{new-pennant}$ , out-bag,  $d$ )
23     PROCESS-PENNANT( $\textit{in-pennant}$ , out-bag,  $d$ )
24  sync

```

Complexidade da *PBFS*

Nossa análise teórica da *PBFS* limita o trabalho adicional devido ao redutor de *bag* quando a condição de corrida é resolvida usando bloqueios

de exclusão mútua. Teoricamente, em um gráfico G com um conjunto de vértices $V = V(G)$, um conjunto de arestas $E = E(G)$, diâmetro D e grau limitado, esta versão de “bloqueio” da *PBFS* realiza a BFS em tempo $O((V + E)/P + Dlg^3(V/D))$ em P processadores e exibe paralelismo efetivo $\Omega((V + E)/Dlg^3(V/D))$, que é considerável quando $D \ll V$, mesmo se o grafo é esparso. (LEISERSON; SCHARDL, 2010).

2.2 Trabalhos correlatos

Uma quantidade muito grande de versões paralelas da busca em largura já foi explorada. Neste trabalho, o foco foi a paralelização desse algoritmo em sistemas com processadores compostos de mais de um núcleo e com memória compartilhada, de forma que o grafo seja carregado na memória principal do sistema, isto é, não são realizados acessos à memória secundária. Neste contexto, Hassaan, Burtscher e Pingali (2010) implementaram várias otimizações para conseguir aceleração quase linear em relação à versão sequencial em uma máquina com 16 *threads*.

Substituir a *fila* por outra estrutura para se paralelizar a busca em largura pode também comprometer o desempenho em relação à versão sequencial, pois o algoritmo sequencial é simples e rápido por justamente utilizar a estrutura *fila*. Assim, Leiserson e Schardl (2010) projetaram uma estrutura de dados multiconjuntos chamada *bag*. Na versão paralela, a estrutura *bag* substitui a estrutura *fila*, ou seja, a estrutura *bag* mantém os vértices do próximo nível a serem processados. Essa é uma estrutura livre de bloqueios e permite a inserção de elementos na estrutura de forma tão rápida quanto na *fila*. A estrutura *bag* também permite procedimentos de divisão e união da estrutura de forma eficiente. A implementação dos autores buscou reduzir o tempo de sincronização no algoritmo. O algoritmo utiliza laços de repetição aninhados para evitar realizar iterações em ordem. O algoritmo mantém duas áreas de trabalho, uma para o nível corrente e outra para o próximo nível.

Esse tipo de algoritmo é chamado de *wavefront* e *top-down*, em que o algoritmo percorre o grafo em níveis (ou camadas) em relação ao vértice inicial. Esse tipo de algoritmo também é chamado de algoritmo paralelo síncrono em massa (*Bulk Synchronous Parallel algorithm*).

Os métodos síncronos para a busca em largura percorrem o grafo em uma sequência de etapas de bloqueio delimitadas por pontos de sincronização, com cada etapa executando atualizações de todos os vértices em uma só profundidade. Por outro lado, abordagens assíncronas eliminam o uso de pontos de sincronização, embora isso possa resultar em várias atualizações para um só vértice e, conseqüente, ineficiência no trabalho. As abordagens síncronas funcionam bem para muitos grafos cujos diâmetros são pequenos em comparação

com o número de vértices. Muitos grafos do mundo real apresentam essa característica. (CHHUGANI et al., 2012).

A implementação paralela de Leiserson e Schardl (2010) não está livre de problemas:

Ao se utilizar um sistema com memória compartilhada, vértices que pertencem a um conjunto são processados em paralelo. Como é possível que dois vértices no conjunto compartilhem um vizinho em comum, a atualização em outro conjunto deve ser realizada de forma atômica. Isso gera uma fonte de contenção no processamento dos elementos e pode criar gargalos durante a execução. (ST. JOHN; DENNIS; GAO, 2012).

Abordagens substituíram a estrutura *bag* por vetores de bits (BELOVA; OUYANG, 2017). Implementação trivial com vetores de bits da mesma forma que descrito em Leiserson e Schardl (2010) é apenas 38% mais lenta que o software *Ligra* (SHUN; BLELLOCH, 2013a; SHUN; BLELLOCH, 2013b), um dos códigos da busca em largura mais rápidos para execução em um único computador (BELOVA; OUYANG, 2017).

Em Brandão et al. (2019) implementou-se exatamente a mesma versão paralela de Leiserson e Schardl (2010), mas em linguagem de programação C++ com *OpenMP*. Nesse trabalho, foi realizado apenas um experimento, com desaceleração de 0,04 da versão paralela em relação à versão sequencial. Brandão et al. (2019) é um verdadeiro tutorial da publicação de Leiserson e Schardl (2010), além disso, esse trabalho contém mais detalhes da implementação da busca em largura com a estrutura *bag* na linguagem de programação C++ com *OpenMP* do que a própria publicação de Leiserson e Schardl (2010), que utilizou a linguagem de programação *Cilk++*.

3 DESENVOLVIMENTO

Este capítulo tem como objetivo apresentar as implementações desenvolvidas neste trabalho. A *Seção 3.1* primeiramente apresenta um breve roteiro sobre as etapas do desenvolvimento e, em seguida, na *Seção 3.1.1*, faz-se a descrição do algoritmo $PBFS_O$; na *Seção 3.1.2*, descreve-se o algoritmo $PBFS_H$ e, por fim, na *Seção 3.1.3*, são descritas as diferenças entre as implementações apresentadas em relação ao algoritmo $PBFS$ de Leiserson e Schardl (2010).

3.1 Implementações

Primeiramente, buscou-se o estudo dos conceitos teóricos que envolvem o problema abordado e, posteriormente, realizou-se a investigação de publicações anteriores que abordaram o mesmo problema. Grande parte do estudo foi realizado com uma abordagem similar àquela feita por Leiserson e Schardl (2010), porém o algoritmo $PBFS$ foi adaptado para dois tipos de implementação em C++, uma com paralilização utilizando apenas *OpenMP* e outra com palelização híbrida por *MPI* e *OpenMP*. Foi implementada uma versão serial clássica do algoritmo de busca em largura, que neste trabalho denota-se apenas como BFS , para servir como um comparativo de tempo de execução para as implementações da $PBFS$ desenvolvidas.

A implementação do algoritmo BFS seguiu exatamente a estrutura do algoritmo original (*Algoritmo 1*) descrito em Cormen et al. (2009), enquanto as implementações do algoritmo $PBFS$ tiveram como base o algoritmo, com todas as otimizações, descrito por Leiserson e Schardl (2010), mas houve modificações para que se tornasse viável a sua implementação em C++ em suas duas versões de paralelização. A versão da $PBFS$ com *OpenMP* puro, será denotada a seguir como $PBFS_O$, enquanto a versão híbrida será nomeada no restante deste trabalho de $PBFS_H$. O Algoritmo 3 apresenta o pseudocódigo do algoritmo $PBFS_O$ e o Algoritmo 8 exibe o pseudocódigo do algoritmo $PBFS_H$.

3.1.1 Algoritmo $PBFS_O$

O algoritmo $PBFS_O$ é um algoritmo que busca descrever a implementação paralelizada da busca em largura que foi desenvolvida neste trabalho utilizando a linguagem de programação C++ e a interface de programação *OpenMP* para implementar o paralelismo via múltiplas *threads* de execução. Esse algoritmo utiliza a estrutura de dados *bag*, conforme descrito em 2.1.2, para armazenar os vértices a serem processados. O $PBFS_O$ é nível-síncrono, o que significa que

o paralelismo é empregado aos vértices do nível de exploração mais atual durante a execução, mas cada nível de exploração é descoberto pelo algoritmo de forma sequencial.

O pseudocódigo do $PBFS_O$ está representado no *Algoritmo 3*. Nas linhas 1-4, o vetor que armazenará as distâncias de cada vértice inicial é criado (linha 1) e inicializado (linhas 2-4); todas as distâncias são inicializadas com ∞ , exceto a do vértice inicial da busca (v_0), que é inicializada com 0. O nível atual é inicializado com 0 na linha 5. Na linha 6, cria-se e inicializa-se com uma *bag* vazia a *bag* que será responsável por armazenar os vértices que serão explorados no nível atual ($B_{nível_atual}$) e, na linha 7, insere-se o vértice inicial da busca em $B_{nível_atual}$. Na linha 8, cria-se o vetor de *bags* que conterá uma *bag* exclusiva para cada *thread* e que será responsável por armazenar os vértices do próximo nível a ser explorado ($B_{próximo_nível}$). Nas linhas 9 e 10, essas *bags* são inicializadas em paralelo, cada uma recebendo uma *bag* vazia.

O laço de repetição que se inicia na linha 11 é responsável por explorar os vértices do nível atual enquanto ele contiver algum vértice. A linha 12 chama o procedimento *PROCESSAR-NIVEL* que será responsável por explorar os vértices do nível atual e armazenar os vértices a serem explorados no nível seguinte em $B_{próximo_nível}$, esse procedimento será descrito em detalhes mais a diante. A linha 13 reinicializa o *hopper* de $B_{nível_atual}$ com um *pennant* vazio e a linha 14 faz de $B_{nível_atual}$ uma *bag* vazia (o que, na prática, significa fazer seu tamanho igual a 0). Nas linhas 15-17, ocorre a união de cada uma das $B_{próximo_nível}$ de cada *thread* com $B_{nível_atual}$, o que significa que $B_{nível_atual}$ agora contém os vértices a serem explorados no próximo nível. A linha 18 incrementa o nível atual, ou seja, o nível atual agora é o que antes era o próximo nível.

Procedimento PROCESSAR-NIVEL

O procedimento *PROCESSAR-NIVEL* é responsável por explorar os vértices do nível atual, encontrando vértices adjacentes a eles e que devem ser armazenados para que possam ser explorados no nível seguinte. Esse procedimento tem como parâmetros, $bag_{entrada}$, que contém os vértices a serem explorados no nível atual, bag_{saida} , que é onde os vértices de exploração no nível seguinte serão armazenados e, n , que representa o nível atual da exploração.

As linhas 20-22, criam uma tarefa em paralelo que tem como objetivo executar o procedimento *PROCESSAR-PENNANT* no *hopper* de $bag_{entrada}$. O procedimento *PROCESSAR-PENNANT* é responsável por dividir um *pennant* em *pennants* de tamanho unitário ($\leq GRAIN$ -

Algoritmo 3: Pseudocódigo do algoritmo $PBFS_O$

entrada: Grafo $G(V, E)$ e vértice inicial v_0
saída : $Dists$ - Vetor de distâncias da árvore BFS
 $PBFS_O(G, v_0)$

- 1 **declare** $Dists$: vetor $[1...|V|]$ de inteiros
- 2 **para em paralelo** $v \in V(G) - \{v_0\}$ **faça**
- 3 $Dists[v] \leftarrow \infty$
- 4 $Dists[v_0] \leftarrow 0$
- 5 $nivel \leftarrow 0$
- 6 $B_{nivel_atual} \leftarrow CRIAR-BAG()$
- 7 $B_{nivel_atual}.Inserir(v_0)$
- 8 **declare** $B_{proximo_nivel}$: vetor $[0...|threads| - 1]$ de bags
- 9 **seção paralela**
- 10 $B_{proximo_nivel}[thread_id] \leftarrow CRIAR-BAG()$
- 11 **enquanto** $B_{nivel_atual} \neq \emptyset$ **faça**
- 12 $PROCESSAR-NIVEL(G, B_{nivel_atual}, B_{proximo_nivel}, nivel)$
- 13 $B_{nivel_atual}.hopper \leftarrow CRIAR-PENNANT()$
- 14 $B_{nivel_atual} \leftarrow \emptyset$
- 15 **seção paralela**
- 16 **seção crítica**
- 17 $B_{nivel_atual}.UNIAO(B_{proximo_nivel}[thread_id])$
- 18 $nivel \leftarrow nivel + 1$
- 19 **retorna** $Dists$

$PROCESSAR-NIVEL(bag_{entrada}, bag_{saida}, n)$

- 20 **seção paralela**
- 21 **single**
- 22 **task** $PROCESSAR-PENNANT(bag_{entrada}.hopper, bags_{saida}, n)$
- 23 **para** $k \leftarrow 0$ **até** $\left\lfloor \lg \left(\frac{|bag_{entrada}| - |bag_{entrada}.hopper|}{GRAINSIZE} \right) \right\rfloor$ **faça**
- 24 **se** $bag_{entrada}[k] \neq NULL$ **então**
- 25 $PROCESSAR-PENNANT(bag_{entrada}[k], bags_{saida}, n)$
- 26 $bag_{entrada}[k] \leftarrow NULL$

$PROCESSAR-PENNANT(pennant_{entrada}, bags_{saida}, n)$

- 27 **se** $|pennant_{entrada}| \leq GRAINSIZE$ **então**
- 28 **para** $u \in pennant_{entrada}$ **faça**
- 29 **para** $v \in G.Adj[u]$ **faça**
- 30 **se** $Dists[v] = \infty$ **então**
- 31 $Dists[v] \leftarrow n + 1$
- 32 $bags_{saida}[thread_id].Inserir(v)$
- 33 **senão**
- 34 $novoPenn \leftarrow pennant_{entrada}.Dividir()$
- 35 **task** $PROCESSAR-PENNANT(novoPenn, bags_{saida}, n)$
- 36 $PROCESSAR-PENNANT(pennant_{entrada}, bags_{saida}, n)$

SIZE) para então explorá-los, esse procedimento será descrito em detalhes mais adiante. As linhas 23-26, são responsáveis por percorrer o *backbone* de *bag_{entrada}* em paralelo e chamar o procedimento *PROCESSAR-PENNANT* em cada *pennant* não nulo encontrado.

Procedimento PROCESSAR-PENNANT

O procedimento *PROCESSAR-PENNANT* recebe os seguintes parâmetros: o *pennant* a ser processado (*pennant_{entrada}*), *bag_{saida}* (o vetor de *bags* que armazenará os vértices que serão processados no nível seguinte) e *n* (o nível atual). Esse procedimento divide *pennant_{entrada}* paralela e recursivamente (linhas 34-36) até que os *pennants* resultantes possuam tamanho menor ou igual ao tamanho unitário definido (*GRAINSIZE*). A linha 27 verifica se o *pennant* que está sendo processado já atingiu um tamanho menor ou igual a *GRAINSIZE*. Se o tamanho de *pennant_{entrada}* for menor que *GRAINSIZE*, então, a linha 28 percorre cada vértice *u* desse *pennant* e a linha 29 percorre todos os vértices *v* adjacentes a *u*, para todo *u*. A linha 30, verifica se *v* já foi visitado anteriormente e, em caso positivo, as linhas 31 e 32 atualizam a distância de *v* em relação a *v₀* para *n + 1* e inserem *v* na *bag_{saida}* da *thread* que visitou *v*, respectivamente. Se o tamanho de *pennant_{entrada}* for maior que *GRAINSIZE*, as linhas 34-36 continuam a dividi-lo.

Método CRIAR-BAG

O método *CRIAR-BAG* é responsável por instanciar uma nova *bag* vazia. O pseudocódigo desse método está representado no *Algoritmo 4*. Na linha 1, uma referência para uma nova instância de um objeto *bag* é criada. Na linha 2, o *hopper* da nova *bag* é criado e inicializado com um *pennant* vazio. Na linha 2, o *backbone* da nova *bag* é criado, esse *backbone* é um vetor com capacidade para $r + 1$ ponteiros para *pennants*, onde $r = \left\lceil \lg \left(\frac{|V|}{\text{GRAINSIZE}} \right) \right\rceil$ e *V* é o conjunto de vértices do grafo de entrada do *PBFS₀*. Nas linhas 4-5, todas as posições do *backbone* recém criado são inicializadas paralelamente, cada uma recebendo um ponteiro nulo (NULL). Por fim, na linha 7, a referência para a *bag* recém criada é retornada.

Método UNIAO

UNIAO é um método com a finalidade de unir duas *bags*. A *bag* chamadora desse método conterà, ao final da operação, o resultado da união, enquanto, a *bag* passada como argumento estará vazia, ou seja, com todos os ponteiros para *pennants* de seu *backbone* iguais a *NULL* e com seu *hopper* apontando para um *pennant* vazio.

Algoritmo 4: Pseudocódigo do método *CRIAR-BAG*

```

saída : Bag vazia recém criada
CRIAR-BAG ()
1  bag {
2    hopper ← CRIAR-PENNANT ()
3    declare backbone : vetor [0...r] de pennants
4    para em paralelo k ← 0 até r faça
5      backbone[k] ← NULL
6    }
7  retorna bag

```

O *Algoritmo 5* apresenta o pseudocódigo do método *UNIAO*. Nas linhas 1 e 2, dois *hoppers* (ponteiros para *pennants*), são criados e inicializados com ponteiros nulos. O objetivo desses *hoppers* é armazenar uma referência para o *hopper*, dentre os *hoppers* das duas *bags* sendo unidas, com o menor número de vértices (em $H_{\text{menos_cheio}}$) e com o maior número de vértices (em $H_{\text{mais_cheio}}$); isso é feito pelas linhas 3-8.

Nas linhas 9-11, os elementos do *hopper* menos cheio são copiados para o *hopper* mais cheio até que o *hopper* menos cheio fique sem elementos ou até que o *hopper* mais cheio esteja totalmente cheio. Na linha 12, *y* (o carry para a função *FA* descrita em Leiserson e Schardl (2010)) é inicializado com um ponteiro nulo. A linha 13 verifica se o *hopper* menos cheio ficou sem elementos, em caso positivo, na linha 14, o *hopper* da *bag* chamadora passa a apontar para o *hopper* mais cheio, em caso negativo, na linha 16, *y* passa a apontar para o *hopper* mais cheio e, na linha 17, o *hopper* da *bag* chamadora passa a apontar para o *hopper* menos cheio.

As linhas 18-19 percorrem os *backbones* das duas *bags* participantes da união até a máxima posição possivelmente ocupada pelo resultado dessa operação e executa a união utilizando a função *FA*, conforme descrita em Leiserson e Schardl (2010). A linha 20 cria um novo *hopper* vazio para a *bag* passada como argumento.

Método *CRIAR-PENNANT*

O método *CRIAR-PENNANT* instancia um novo *pennant* e retorna um ponteiro para ele. O *Algoritmo 6* representa o pseudocódigo do método *CRIAR-PENNANT*. Na linha 1, uma referência para um novo *pennant* é criada. A linha 2 cria o *noh* raiz do *pennant* recém criado e a linha 4 retorna um ponteiro para esse *pennant*.

Algoritmo 5: Pseudocódigo do método *UNIAO*

entrada: Bag B_2 , que será unida à *bag* chamadora
 $UNIAO(B_2)$

```

1   $H_{menos\_cheio} \leftarrow NULL$ 
2   $H_{mais\_cheio} \leftarrow NULL$ 
3  se  $|this.hopper| < |B_2.hopper|$  então
4       $H_{menos\_cheio} \leftarrow this.hopper$ 
5       $H_{mais\_cheio} \leftarrow B_2.hopper$ 
6  senão
7       $H_{menos\_cheio} \leftarrow B_2.hopper$ 
8       $H_{mais\_cheio} \leftarrow this.hopper$ 
9  enquanto  $H_{menos\_cheio} \neq \emptyset \wedge |H_{mais\_cheio}| < r$  faça
10      $H_{mais\_cheio}[|H_{mais\_cheio}|] \leftarrow H_{menos\_cheio}[|H_{menos\_cheio}| - 1]$ 
11      $H_{menos\_cheio}[|H_{menos\_cheio}| - 1] \leftarrow NULL$ 
12      $y \leftarrow NULL$ 
13     se  $H_{menos\_cheio} = \emptyset$  então
14          $this.hopper \leftarrow H_{mais\_cheio}$ 
15     senão
16          $y \leftarrow H_{mais\_cheio}$ 
17          $this.hopper \leftarrow H_{menos\_cheio}$ 
18     para  $k \leftarrow 0$  até  $\left\lceil \lg \left( \frac{|this| + |B_2|}{GRAINSIZE} \right) \right\rceil$  faça
19          $(this.backbone[k], y) \leftarrow FA(this.backbone[k], B_2.backbone[k], y)$ 
20      $B_2.hopper \leftarrow CRIAR-PENNANT()$ 

```

Algoritmo 6: Pseudocódigo do método *CRIAR-PENNANT*

saída : *Pennant* vazio recém criado
 $CRIAR-PENNANT()$

```

1  pennant {
2       $raiz \leftarrow CRAR-NOH()$ 
3  }
4  retorna pennant

```

Método *CRIAR-NOH*

O método *CRIAR-NOH* instancia um novo *noh*, que é a estrutura de dados onde os vértices estão armazenados e também são as unidades que formam os *pennants*. O Algoritmo 7 apresenta o pseudocódigo do algoritmo *CRIAR-NOH*. Na linha 1, uma referência para um novo *noh* é criada. A linha 2 cria o vetor de vértices (inteiros) de tamanho *GRAINSIZE* do *noh* e as linhas 3 e 4 criam e inicializam, com ponteiros nulos, os ponteiros para os filhos esquerdo e direito do *noh* recém criado. A linha 5 retorna um ponteiro para o novo *noh* criado. Note que, em C++, os vetores de inteiros recém alocados no *heap* têm as suas posições inicializadas por

padrão com o valor 0, assim, não há necessidade de inicializar cada posição do vetor de vértices do novo *noh* criado.

Algoritmo 7: Pseudocódigo do método *CRIAR-NOH*

```

saída : Noh vazio recém criado
CRIAR-NOH ()
1   noh {
2       declare vertices : vetor [1...GRAINSIZE] de inteiros
3       esquerdo ← NULL
4       direito ← NULL
5   }
6   retorna noh

```

3.1.2 Algoritmo *PBFS_H*

O algoritmo *PBFS_H* é similar ao algoritmo *PBFS_O* descrito anteriormente, porém com algumas diferenças importantes. O *PBFS_H* utiliza paralelização híbrida por *MPI* e *OpenMP*, nele são utilizados dois processos *MPI* que devem executar em uma mesma máquina, pois esse algoritmo pressupõe a utilização de memória compartilhada. Cada um dos processos *MPI* podem disparar várias *threads* via a interface *OpenMP*. O algoritmo *PBFS_H* não é nível-síncrono, pois é possível que um dos processos esteja explorando um nível diferente do outro em um determinado momento da execução. O trabalho é dividido entre os processos da seguinte forma: o conjunto de vértices do nível 1 é dividido igualmente entre os dois processos antes da exploração iniciar, isso faz com que o trabalho seguinte de exploração dos demais níveis também seja dividido, no entanto, é possível que haja intersecção entre o conjunto de vértices explorado por cada processo nos níveis seguintes.

O pseudocódigo do *PBFS_H* está representado no *Algoritmo 8*. Nas linhas 1 e 2, são declaradas e inicializadas com o valor 0 as variáveis para armazenar o tamanho dos vetores de distâncias que cada processo irá alocar e, nas linhas 3 e 4, esses vetores são criados e inicializados com ponteiros nulos. As linhas 5 e 6 garantem que o vetor de distâncias que o processo 0 alocará terá tamanho igual ao número de vértices do grafo e as linhas 7 e 8 fazem o mesmo mas para o processo 1. Nas linhas 9 e 10, cada um dos processos aloca seu respectivo vetor de distâncias *BFS* em uma janela de memória compartilhada. Na linha 11, é criada e inicializada com *NULL* a variável *Dists*, que será responsável por apontar para o vetor de distâncias do processo corrente. Nas linhas 12-17, cada processo obtém uma referência para o vetor de distâncias *BFS*

do outro processo consultando a janela de memória alocada por este e a variável $Dist_s$ é apontada para o vetor de distâncias do processo corrente. Nas linhas 18 e 19 cada processo inicializa em paralelo seu respectivo vetor de distâncias com o valor ∞ em cada posição. Na linha 20, a execução dos dois processos é sincronizada. Da linha 21 até a linha 35, a execução ocorre da mesma forma como descrito para as linhas 4-18 do *Algoritmo 3 (PBFS_O)*, com a diferença que esse trecho estará sendo executado simultaneamente em dois processos *MPI* diferentes.

O procedimento *PROCESSAR-NIVEL* do *PBFS_H* é idêntico ao procedimento de mesmo nome do *Algoritmo 3 (PBFS_O)*, enquanto o procedimento *PROCESSAR-PENNANT* é diferente no *PBFS_H*. No algoritmo *PBFS_H*, assim como no *PBFS_O*, o procedimento *PROCESSAR-PENNANT* também divide $pennant_{entrada}$ paralela a recursivamente até que os *pennants* resultantes possuam um tamanho menor ou igual a *GRAINSIZE* (linhas 61-64). As linhas 50-60 do algoritmo *PBFS_H* também são responsáveis por explorar os vértices dos *pennants* de tamanho menor ou igual a *GRAINSIZE*, assim como descrito para as linhas 27-32 do algoritmo *PBFS_O*, porém, no *PBFS_H*, as linhas 51-56 dividem igualmente os vértices a serem explorados no nível 1 entre os processos 0 e 1.

Ao atingir-se o ponto de sincronização entre os processos na linha 36, cada processo explorou seu conjunto parcial de vértices do grafo G de entrada, conforme a divisão a partir nível 1 mencionada anteriormente, e, portanto, eles preencheram parcialmente seus respectivos vetores de distâncias *BFS*. Assim, as linhas 37-42 são responsáveis por fazer a união desses vetores em $Dist_s$, gerando o vetor com todas as distâncias *BFS* correspondentes a cada vértice de G , que é retornado na linha 43.

3.1.3 Diferenças em relação ao algoritmo *PBFS*

A principal diferença entre as implementações desenvolvidas neste trabalho e o algoritmo *PBFS* de Leiserson e Schardl (2010) é que as implementações apresentadas aqui utilizaram a linguagem de programação *C++* com *OpenMP* e/ou *MPI* enquanto a implementação desenvolvida por aqueles autores utilizou a linguagem de programação *Cilk++*. Além disso, o *PBFS_O* e o *PBFS_H* têm algumas diferenças estruturais significativas em relação ao *PBFS*, conforme descrito a seguir.

Utilizamos um vetor de *bags*, uma *bag* exclusiva para cada *thread*, para armazenar os vértices do próximo nível a ser explorado pela busca onde Leiserson e Schardl (2010) emprega-

ram um *hiperobjeto redutor de bags*. Esse vetor de *bags* possibilita as inserções sem bloqueios ou seções críticas observadas nas linhas 32 e 60 dos *Algoritmos 3 e 8*, respectivamente.

Tanto no algoritmo *PBFS_O* quanto no algoritmo *PBFS_H*, optou-se por não se paralelizar o laço de repetição que visita a lista de adjências de um vértice u que é explorado pelo procedimento que tem objetivo de processar *pennants*, ou seja, não se paralelizou o laço de repetição da linha 29 do *Algoritmo 3* nem o laço de repetição da linha 57 do *Algoritmo 8*; a razão dessa adaptação é que, empiricamente, observou-se a obtenção de melhores resultados com a não paralelização dos referidos laços de repetição.

Algoritmo 8: Pseudocódigo do algoritmo $PBFS_H$

entrada: Grafo $G(V, E)$ e vértice inicial v_0
saída : $Dists$ - Vetor de distâncias da árvore BFS
 $PBFS_H(G, v_0)$

- 1 $tamDists_0 \leftarrow 0$
- 2 $tamDists_1 \leftarrow 0$
- 3 $Dists_0 \leftarrow NULL$
- 4 $Dists_1 \leftarrow NULL$
- 5 **se** $RANK = 0$ **então**
- 6 $tamDists_0 \leftarrow |V|$
- 7 **senão**
- 8 $tamDists_1 \leftarrow |V|$
- 9 $MEM_0 \leftarrow ALOCAR-MEM-COMPARTILHADA(Dists_0, tamDists_0, inteiro)$
- 10 $MEM_1 \leftarrow ALOCAR-MEM-COMPARTILHADA(Dists_1, tamDists_1, inteiro)$
- 11 $Dists \leftarrow NULL$
- 12 **se** $RANK = 0$ **então**
- 13 $Dists \leftarrow Dists_0$
- 14 $Dists_1 \leftarrow CONSULTAR-MEM-COMPARTILHADA(MEM_1)$
- 15 **senão**
- 16 $Dists \leftarrow Dists_1$
- 17 $Dists_0 \leftarrow CONSULTAR-MEM-COMPARTILHADA(MEM_0)$
- 18 **para em paralelo** $v \in V(G) - \{v_0\}$ **faça**
- 19 $Dists[v] \leftarrow \infty$
- 20 **sincronizar processos**
- 21 $Dists[v_0] \leftarrow 0$
- 22 $nivel \leftarrow 0$
- 23 $B_{nivel_atual} \leftarrow CRIAR-BAG()$
- 24 $B_{nivel_atual}.Inserir(v_0)$
- 25 **declare** $B_{proximo_nivel}$: vetor $[0...|threads| - 1]$ de bags
- 26 **seção paralela**
- 27 $B_{proximo_nivel}[thread_id] \leftarrow CRIAR-BAG()$
- 28 **enquanto** $B_{nivel_atual} \neq \emptyset$ **faça**
- 29 $PROCESSAR-NIVEL(G, B_{nivel_atual}, B_{proximo_nivel}, nivel)$
- 30 $B_{nivel_atual}.hopper \leftarrow CRIAR-PENNANT()$
- 31 $B_{nivel_atual} \leftarrow \emptyset$
- 32 **seção paralela**
- 33 **seção crítica**
- 34 $B_{nivel_atual}.UNIAO(B_{proximo_nivel}[thread_id])$
- 35 $nivel \leftarrow nivel + 1$
- 36 **sincronizar processos**
- 37 $minVertice \leftarrow 1 + RANK \times \left\lceil \frac{|V|}{2} \right\rceil$
- 38 $maxVertice \leftarrow MIN\left(\left(RANK + 1\right) \times \left\lceil \frac{|V|}{2} \right\rceil, |V|\right)$
- 39 **para em paralelo** $i \leftarrow minVertice$ **até** $maxVertice$ **faça**
- 40 **se** $(Dists_0[i] \neq \infty) \wedge (Dists_1[i] < Dists_0[i])$ **então**
- 41 $Dists_0[i] \leftarrow Dists_1[i]$

42 **sincronizar processos**

43 **retorna** $Dists_0$

PROCESSAR-NIVEL ($bag_{entrada}, bags_{saida}, n$)

44 **seção paralela**

45 **single**

46 **task** *PROCESSAR-PENNANT* ($bag_{entrada}.hopper, bags_{saida}, n$)

47 **para** $k \leftarrow 0$ **até** $\left\lceil \lg \left(\frac{|bag_{entrada}| - |bag_{entrada}.hopper|}{GRAINSIZE} \right) \right\rceil$ **faça**

48 **se** $bag_{entrada}[k] \neq NULL$ **então**

49 *PROCESSAR-PENNANT* ($bag_{entrada}[k], bags_{saida}, n$)

50 $bag_{entrada}[k] \leftarrow NULL$

PROCESSAR-PENNANT ($pennant_{entrada}, bags_{saida}, n$)

51 **se** $|pennant_{entrada}| \leq GRAINSIZE$ **então**

52 $minVertice \leftarrow 1$

53 $maxVertice \leftarrow tamPenn$

54 **se** $n = 1$ **então**

55 $minVertice \leftarrow 1 + RANK \times \left\lceil \frac{|pennant_{entrada}|}{2} \right\rceil$

56 $maxVertice \leftarrow MIN \left((RANK + 1) \times \left\lceil \frac{|pennant_{entrada}|}{2} \right\rceil, |pennant_{entrada}| \right)$

57 **para** $u \leftarrow minVertice$ **até** $maxVertice$ **faça**

58 **para** $v \in G.Adj[u]$ **faça**

59 **se** $Dists[v] = \infty$ **então**

60 $Dists[v] \leftarrow n + 1$

61 $bags_{saida}[thread_id].Inserir(v)$

62 **senão**

63 $novoPenn \leftarrow pennant_{entrada}.Dividir()$

64 **task** *PROCESSAR-PENNANT* ($novoPenn, bags_{saida}, n$)

65 *PROCESSAR-PENNANT* ($pennant_{entrada}, bags_{saida}, n$)

4 METODOLOGIA

Este capítulo tem como objetivo apresentar a classificação da pesquisa realizada (*Seção 4.1*) e a descrição dos materiais e métodos empregados na elaboração deste trabalho (*Seção 4.2*).

4.1 Classificação da pesquisa

A pesquisa desenvolvida neste trabalho é classificada, quanto à natureza, em pesquisa básica, pois seus produtos não são diretamente aplicados mas sim usados por outros algoritmos que podem ou não ser diretamente empregados em aplicações práticas. Quanto à abordagem, em pesquisa quantitativa, pois fundamenta-se essencialmente em quantidades numéricas, linguagem matemática e técnicas estatísticas para descrever os fenômenos observados. Quanto aos objetivos, em pesquisa explicativa, pois utiliza-se de métodos experimentais e conhecimentos anteriores para adaptar um algoritmo preexistente e busca explicar, em certo nível, o seu comportamento. Quanto aos procedimentos técnicos, em pesquisa experimental, pois utiliza-se de equipamentos com variáveis que podem ser controladas para determinar a influência destas no objeto de estudo; classifica-se também em pesquisa bibliográfica, pois realizou-se o estudo de conceitos teóricos para embasar o conhecimento a ser produzido bem como de trabalhos correlatos.

4.2 Procedimentos metodológicos

As implementações dos algoritmos $PBFS_O$ e $PBFS_H$ desenvolvidos nesta pesquisa foram realizadas utilizando a linguagem de programação C++, a interface *OpenMP* e o framework *MPI*, conforme foi explicado no *Capítulo 3*. A *Seção 4.2.1* apresenta os grafos utilizados para testar esses algoritmos. A *Seção 4.2.2* descreve as máquinas onde os testes foram realizados. Por fim, a *Seção 4.2.3* apresenta uma descrição detalhada dos testes realizados.

4.2.1 Grafos de teste

As implementações dos algoritmos BFS , $PBFS_O$ e $PBFS_H$ foram testadas em 63 grafos divididos em dois conjuntos, aqueles com apenas uma componente fortemente conectada, que neste trabalho denominaremos de grafos *conexos* e aqueles com mais de uma componente fortemente conectada, que chamaremos de grafos *não conexos*. O conjunto dos grafos *conexos*

possui 32 grafos e, o dos grafos *não conexos*, 31; a razão para quantidades diferentes de grafos nos dois conjuntos é que houve 2 grafos *conexos* e 1 *não conexo* que executaram com o algoritmo *PBFS_O* mas não com o *PBFS_H*, devido a limitações de memória principal em uma das máquinas de teste. Todos os grafos foram selecionados da base de dados *SuiteSparse Matrix Collection*, apresentada por Davis e Hu (2011). Os critérios de seleção dos grafos foram os seguintes:

- **Grafos conexos direcionados:** Os 15 maiores da base de dados em número de arestas.
- **Grafos conexos não direcionados:** Os 15 maiores da base de dados em número de arestas, com adição do 16º e 17º maiores para testes na máquina *SKL* (4.2.2), já que o 1º e o 2º maiores grafos *conexos* não direcionados não executaram com o algoritmo *PBFS_H* nessa máquina.
- **Grafos não conexos direcionados:** Os 15 maiores da base de dados em número de arestas.
- **Grafos não conexos não direcionados:** Do 2º ao 16º maiores da base de dados em número de arestas, com adição do 17º maior para testes na máquina *SKL* (4.2.2), já que o 2º maior grafo não conexo não direcionado não executou com o algoritmo *PBFS_H* nessa máquina. O 1º maior grafo desse tipo não foi incluído porque ele não executa com nenhum dos algoritmos implementados, em nenhuma das máquinas de teste, devido a sua grande ocupação de memória principal.

O motivo de se ter incluído grafos de teste *não conexos* foi pelo fato de que esses grafos são, em geral, maiores que os grafos *conexos* na base de dados utilizada e, como queríamos testar as implementações com o máximo de carga (no sentido de utilização de CPU e de memória principal) possível nas máquinas de teste, então inicialmente acreditamos que incluir os grafos *não conexos* era uma escolha razoável. No entanto, ao longo do desenvolvimento, foi observado que a escolha do vértice inicial poderia afetar significativamente o desempenho das implementações uma vez que esse vértice definiria a componente fortemente conectada (CFC) que seria explorada pela busca em largura. Uma CFC muito pequena pode produzir um desempenho ruim das implementações porque a pouca quantidade de vértices e arestas a serem percorridas impactaria negativamente no paralelismo, por exemplo. Em geral, as CFCs percorridas pelas implementações nos testes realizados com os grafos não conexos neste trabalho

foram significativamente menores em número de vértices e arestas do que o grafo do qual elas fazem parte.

As Tabelas 4.1 e 4.2 exibem algumas características do conjunto de grafos *conexos* e do conjunto de grafos *não conexos*, respectivamente.

Tabela 4.1 – Grafos *conexos*

| Nº | Nome | V | A | Orientação | Mem. ocupada |
|----|--------------------------|-------------|---------------|-----------------|--------------|
| 1 | cage15 | 5.154.859 | 99.199.551 | direcionado | 9.04G |
| 2 | wiki-topcats | 1.791.489 | 28.511.807 | direcionado | 2.68G |
| 3 | cage14 | 1.505.785 | 27.130.349 | direcionado | 2.69G |
| 4 | rajat31 | 4.690.002 | 20.316.253 | direcionado | 2.70G |
| 5 | fem_hifreq_circuit | 491.100 | 20.239.237 | direcionado | 2.69G |
| 6 | kim2 | 456.976 | 11.330.020 | direcionado | 2.37G |
| 7 | atmosmodl | 1.489.752 | 10.319.760 | direcionado | 2.66G |
| 8 | torso1 | 116.158 | 8.516.500 | direcionado | 2.44G |
| 9 | cage13 | 445.315 | 7.479.343 | direcionado | 2.46G |
| 10 | ohne2 | 181.343 | 6.869.939 | direcionado | 2.47G |
| 11 | Chevron4 | 711.450 | 6.376.412 | direcionado | 2.49G |
| 12 | marine1 | 400.320 | 6.226.538 | direcionado | 2.51G |
| 13 | Hamrle3 | 1.447.360 | 5.514.242 | direcionado | 2.56G |
| 14 | Chebyshev4 | 68.121 | 5.377.761 | direcionado | 2.58G |
| 15 | largebasis | 440.020 | 5.240.084 | direcionado | 2.60G |
| 16 | GAP-urand | 134.217.728 | 4.294.966.740 | não direcionado | 160.00G |
| 17 | com-Friendster | 65.608.366 | 3.612.134.270 | não direcionado | 134.00G |
| 18 | mycielskian20 | 786.431 | 2.710.370.560 | não direcionado | 83.00G |
| 19 | mycielskian19 | 393.215 | 903.194.710 | não direcionado | 33.70G |
| 20 | nlpkkt240 | 27.993.600 | 760.648.352 | não direcionado | 32.60G |
| 21 | nlpkkt200 | 16.240.000 | 440.225.632 | não direcionado | 19.90G |
| 22 | mycielskian18 | 196.607 | 300.933.832 | não direcionado | 11.20G |
| 23 | com-Orkut | 3.072.441 | 234.370.166 | não direcionado | 8.94G |
| 24 | nlpkkt160 | 8.345.600 | 225.422.112 | não direcionado | 9.14G |
| 25 | Flan_1565 | 1.564.794 | 114.165.372 | não direcionado | 5.34G |
| 26 | europe_osm | 50.912.018 | 108.109.320 | não direcionado | 6.47G |
| 27 | delaunay_n24 | 16.777.216 | 100.663.202 | não direcionado | 6.18G |
| 28 | mycielskian17 | 98.303 | 100.245.742 | não direcionado | 3.83G |
| 29 | nlpkkt120 | 3.542.400 | 95.117.792 | não direcionado | 3.86G |
| 30 | dielFilterV3real | 1.102.824 | 89.306.020 | não direcionado | 2.95G |
| 31 | channel-500x100x100-b050 | 4.802.000 | 85.362.744 | não direcionado | 3.25G |
| 32 | audikw_1 | 943.695 | 77.651.847 | não direcionado | 3.55G |

Fonte: Do autor(2021)

Tabela 4.2 – Grafos não conexos

| Nº | Nome | V | A | Orientação | Mem. ocupada |
|----|-------------------|-------------|---------------|-----------------|--------------|
| 1 | sk-2005 | 50.636.154 | 1.949.412.601 | direcionado | 87.30G |
| 2 | GAP-web | 50.636.151 | 1.930.292.948 | direcionado | 85.00G |
| 3 | twitter7 | 41.652.230 | 1.468.365.182 | direcionado | 62.40G |
| 4 | GAP-twitter | 61.578.415 | 1.468.364.884 | direcionado | 60.00G |
| 5 | it-2004 | 41.291.594 | 1.150.725.436 | direcionado | 52.60G |
| 6 | webbase-2001 | 118.142.155 | 1.019.903.190 | direcionado | 56.00G |
| 7 | uk-2005 | 39.459.925 | 936.364.282 | direcionado | 51.00G |
| 8 | arabic-2005 | 22.744.080 | 639.999.458 | direcionado | 33.20G |
| 9 | stokes | 11.449.533 | 349.921.980 | direcionado | 30.20G |
| 10 | uk-2002 | 18.520.486 | 298.113.762 | direcionado | 22.50G |
| 11 | HV15R | 2.017.169 | 283.073.458 | direcionado | 21.70G |
| 12 | indochina-2004 | 7.414.866 | 194.109.311 | direcionado | 14.50G |
| 13 | vas_stokes_4M | 4.382.246 | 131.577.616 | direcionado | 11.10G |
| 14 | ML_Geer | 1.504.002 | 110.686.677 | direcionado | 9.90G |
| 15 | ljournal-2008 | 5.363.260 | 79.023.142 | direcionado | 6.89G |
| 16 | GAP-kron | 134.217.726 | 4.223.264.644 | não direcionado | 146.60G |
| 17 | mawi_201512020330 | 226.196.185 | 480.047.894 | não direcionado | 18.20G |
| 18 | kmer_V1r | 214.005.017 | 465.410.904 | não direcionado | 17.60G |
| 19 | kmer_A2a | 170.728.175 | 360.585.172 | não direcionado | 13.70G |
| 20 | Queen_4147 | 4.147.110 | 316.548.962 | não direcionado | 14.80G |
| 21 | kmer_P1a | 139.353.211 | 297.829.984 | não direcionado | 11.40G |
| 22 | mawi_201512020130 | 128.568.730 | 270.234.840 | não direcionado | 10.40G |
| 23 | rgg_n_2_24_s0 | 16.777.216 | 265.114.400 | não direcionado | 9.90G |
| 24 | kron_g500-logn21 | 2.097.152 | 182.082.942 | não direcionado | 6.95G |
| 25 | mawi_201512020030 | 68.863.315 | 143.414.960 | não direcionado | 5.63G |
| 26 | kmer_U1a | 67.716.231 | 138.778.562 | não direcionado | 5.46G |
| 27 | Bump_2911 | 2.911.419 | 127.729.899 | não direcionado | 5.96G |
| 28 | rgg_n_2_23_s0 | 8.388.608 | 127.002.786 | não direcionado | 4.85G |
| 29 | Cube_Coup_dt6 | 2.164.760 | 124.406.070 | não direcionado | 5.79G |
| 30 | Cube_Coup_dt0 | 2.164.760 | 124.406.070 | não direcionado | 5.79G |
| 31 | kmer_V2a | 55.042.369 | 117.217.600 | não direcionado | 4.65G |

Fonte: Do autor(2021)

4.2.2 Máquinas de teste

Os testes de *speedup* foram realizados em máquinas de alto desempenho cujas características estão detalhadas a seguir.

Máquina SKL

Máquina com 2 soquetes, cada um contendo um processador Intel Xeon Gold 5120 de 2.2GHz, com 14 núcleos físicos e 14 núcleos lógicos, cache L1 de 896KiB, cache L2 de 14MiB

e cache L3 de 19MiB; memória RAM total de 192GiB(6x32GiB DIMM DDR4 2400MHz). O Sistema Operacional da máquina é o Ubuntu 19.10 e o compilador utilizado foi o gcc 9.2.1. ¹

Máquina CLX

Um dos nós computacionais de expansão(Bull Sequana X1120) do supercomputador Santos Dumont(SDumont), contendo 2 soquetes, cada um com um processador Intel Xeon Cascade Lake Gold 6252 de 2.10GHz, com 24 núcleos físicos e 24 núcleos lógicos, cache L1 de 750KiB, cache L2 de 23MiB e cache L3 de 34MiB; memória RAM total de 357GiB. O Sistema Operacional da máquina é o RedHat Linux 7.6 e o compilador utilizado foi o gcc 7.4.0. ¹

4.2.3 Descrição dos testes

Os testes foram realizados com objetivo de obter-se os tempos médios de execução das versões do algoritmo *PBFS* que foram implementadas e seus *speedups* para diferentes condições de paralelismo definidas pelo número de processos *MPI* e/ou número de *threads OpenMP* utilizadas em cada execução.

Testes com o algoritmo *PBFS_O*

Estes testes foram realizados com todos os grafos nas 2 máquinas e ocorreu da seguinte forma: cada arquivo de texto que contém os dados de um grafo foi carregado para a memória principal e foi construída uma estrutura de dados *Grafo*, utilizando-se uma lista de adjacências, para representar o respectivo grafo. Para cada um dos grafos, o primeiro teste constituiu-se em executar o algoritmo *BFS* e computar-se o tempo de execução, na sequência foram executados n testes, onde cada um deles foi constituído de uma execução do *PBFS_O* com i *threads OpenMP*, $i \in \{1, \dots, n\}$. Para a máquina *SKL*, utilizou-se $n = 56$ e, para a máquina *CLX*, $n = 48$. Em cada um dos testes do *PBFS_O*, calculou-se o *speedup* obtido por esse algoritmo da seguinte forma:

$$speedup_i = \frac{timePBFS_{O_1}}{timePBFS_{O_i}}$$

¹ Em todas as máquinas, em todos os testes, a política de vinculação de *threads* utilizada foi a *default/none*, que significa que, por padrão, as *threads* não são vinculadas a nenhum contexto em particular; no entanto, se o sistema operacional suportar uma política de afinidade de *threads*, o compilador ainda utilizará a interface de afinidade de *threads* do *OpenMP* para determinar a topologia da máquina.

Onde $speedup_i$ representa o $speedup$ alcançado pelo $PBFS_O$ no teste i (com i threads), $timePBFS_{O_1}$ é o tempo médio de execução do $PBFS_O$ no teste 1 (com 1 thread), e $timePBFS_{O_i}$ é o tempo médio de execução do $PBFS_O$ no teste i . Os tempos médios referidos anteriormente foram calculados segundo a média geométrica de 10 execuções do respectivo algoritmo com os parâmetros conforme especificados.²

Testes com o algoritmo $PBFS_H$

Este teste foi realizado com todos os grafos na máquina *CLX* e com 60 dos 63 grafos de teste na máquina *SKL*, uma vez que os grafos *com-Friendster*, *GAP-kron* e *GAP-urnad* demandam mais memória principal no teste com o $PBFS_H$ do que o que há disponível nesta máquina. O teste procedeu-se como se segue: optou-se por uma paralelização inter-soquete por *MPI* e uma paralelização intra-soquete por *OpenMP*. Foram realizados n testes, onde, no primeiro deles, o algoritmo $PBFS_H$ foi executado com apenas um processo *MPI* e uma thread *OpenMP* e computou-se o tempo médio de execução; para o i -ésimo dos $n - 1$ demais testes, utilizou-se 2 processos *MPI*, sendo cada um destes vinculado a cada soquete disponível, cada processo *MPI* foi responsável por disparar $i - 1$ threads *OpenMP*, $i \in \{2, 3, \dots, n\}$; para cada teste foi calculado o tempo médio de execução. Para a máquina *SKL*, $n = 29$, para a máquina *CLX*, $n = 25$. Os tempos médios de execução foram obtidos através da média geométrica dos tempos de 10 execuções sucessivas do algoritmo $PBFS_H$ com os parâmetros especificados anteriormente em cada teste. Os $speedups$ foram calculados da seguinte forma:

$$speedup_i = \frac{timePBFS_{H_1}}{timePBFS_{H_i}}$$

Onde $speedup_i$ representa o $speedup$ obtido no teste i , $timePBFS_{H_1}$ é tempo médio de execução obtido no teste 1 e $timePBFS_{H_i}$ é o tempo de execução médio obtido no teste i .²

² Logo antes de cada um dos testes com cada um dos grafos com os algoritmos $PBFS_O$ e $PBFS_H$, foi realizado também um teste desse grafo com o algoritmo *BFS* para que fosse possível se analisar a performance das versões paralelas da busca em largura implementadas em relação à versão sequencial com fila desse algoritmo.

5 RESULTADOS E ANÁLISE

Neste capítulo são descritos todos os resultados dos testes feitos para se obter os *speedups* dos algoritmos $PBFS_O$ e $PBFS_H$ nas diferentes máquinas de teste de alta performance utilizadas, conforme as especificações e a metodologia descritas no *Capítulo 4*. Também mostra-se os tempos de execução obtidos pelo algoritmo BFS no teste de cada grafo, em cada máquina de teste.

Em todos os gráficos apresentados neste capítulo, o eixo x representa o número de *threads* utilizado em cada rodada de testes e o eixo y representa o *speedup* médio obtido.

5.1 Testes na máquina SKL

Os resultados dos testes na máquina *SKL* estão descritos a seguir. A *Seção 5.1.1* apresenta os resultados dos testes dos grafos *conexos* e a *Seção 5.1.2* apresenta os resultados dos testes para grafos *não conexos* nessa máquina.

5.1.1 Grafos *conexos*

A *Tabela 5.1* apresenta os tempos de execução sequenciais obtidos pelos algoritmos BFS , $PBFS_O$ e $PBFS_H$ para os grafos *conexos*, na máquina *SKL*. A coluna v_0 dessa tabela representa o vértice inicial utilizado pelos algoritmos testados. Observa-se que, em geral, os algoritmos paralelos executados sequencialmente foram mais rápidos que o algoritmo BFS . O $PBFS_O$ foi mais lento que o BFS em apenas 4 dos 32 grafos testados e a média geométrica dos tempos de execução sequenciais nesses grafos foi 3,34% menor (mais rápida) no $PBFS_O$. O algoritmo $PBFS_H$ foi mais lento que o BFS em apenas 1 dos 30 grafos testados e a média geométrica dos tempos de execução sequenciais nesses grafos foi 4,15% menor (mais rápida) no $PBFS_H$.

Tabela 5.1 – Tempos de execução sequenciais (em segundos) dos algoritmos BFS , $PBFS_O$, e $PBFS_H$ nos grafos *conexos*, na máquina *SKL*.

| Nº | Grafo | BFS* | PBFS _O | BFS** | PBFS _H | v ₀ |
|----|--------------------------|--------|-------------------|-------|-------------------|----------------|
| 1 | cage15 | 2,26 | 2,26 | 2,22 | 2,21 | 4.850.801 |
| 2 | wiki-topcats | 0,88 | 0,80 | 0,85 | 0,78 | 1.166.027 |
| 3 | cage14 | 0,58 | 0,57 | 0,58 | 0,56 | 1.457.234 |
| 4 | rajat31 | 0,60 | 0,55 | 0,54 | 0,54 | 1.251 |
| 5 | fem_hifreq_circuit | 0,30 | 0,28 | 0,29 | 0,27 | 28.187 |
| 6 | kim2 | 0,14 | 0,13 | 0,14 | 0,13 | 1.355 |
| 7 | atmosmodl | 0,33 | 0,27 | 0,33 | 0,27 | 39.404 |
| 8 | torso1 | 0,08 | 0,08 | 0,09 | 0,08 | 4.161 |
| 9 | cage13 | 0,15 | 0,15 | 0,15 | 0,14 | 411.097 |
| 10 | ohne2 | 0,16 | 0,16 | 0,15 | 0,15 | 59.989 |
| 11 | Chevron4 | 0,11 | 0,09 | 0,10 | 0,09 | 512 |
| 12 | marine1 | 0,14 | 0,12 | 0,13 | 0,11 | 20.908 |
| 13 | Hamrle3 | 0,36 | 0,30 | 0,34 | 0,29 | 736.801 |
| 14 | Chebyshev4 | 0,05 | 0,05 | 0,05 | 0,05 | 1 |
| 15 | largebasis | 0,09 | 0,16 | 0,09 | 0,16 | 40.003 |
| 16 | GAP-urand | 479,80 | 465,37 | - | - | 57.337.431 |
| 17 | com-Friendster | 265,55 | 249,41 | - | - | 40.553.569 |
| 18 | mycielskian20 | 25,58 | 25,19 | 28,79 | 25,30 | 786.431 |
| 19 | mycielskian19 | 8,30 | 8,03 | 8,09 | 7,97 | 393.215 |
| 20 | nlpkkt240 | 13,23 | 13,23 | 13,10 | 12,73 | 116.645 |
| 21 | nlpkkt200 | 7,22 | 7,28 | 7,33 | 7,12 | 81.205 |
| 22 | mycielskian18 | 2,67 | 2,66 | 2,67 | 2,66 | 196.607 |
| 23 | com-Orkut | 5,20 | 4,49 | 4,39 | 4,33 | 43.608 |
| 24 | nlpkkt160 | 3,59 | 3,62 | 3,53 | 3,52 | 52.165 |
| 25 | Flan_1565 | 1,17 | 1,16 | 1,16 | 1,14 | 19 |
| 26 | europa_osm | 13,21 | 12,33 | 13,56 | 12,39 | 36.470.776 |
| 27 | delaunay_n24 | 4,42 | 3,96 | 4,56 | 4,00 | 3.142.594 |
| 28 | mycielskian17 | 0,90 | 0,91 | 0,96 | 0,92 | 98.303 |
| 29 | nlpkkt120 | 1,60 | 1,59 | 1,65 | 1,55 | 29.525 |
| 30 | dielFilterV3real | 1,14 | 1,11 | 1,16 | 1,11 | 16.481 |
| 31 | channel-500x100x100-b050 | 1,26 | 1,24 | 1,26 | 1,22 | 2.452 |
| 32 | audikw_1 | 0,96 | 0,96 | 0,97 | 0,93 | 3.178 |

* Obtidos imediatamente antes de cada teste com o algoritmo $PBFS_O$.** Obtidos imediatamente antes de cada teste com o algoritmo $PBFS_H$.

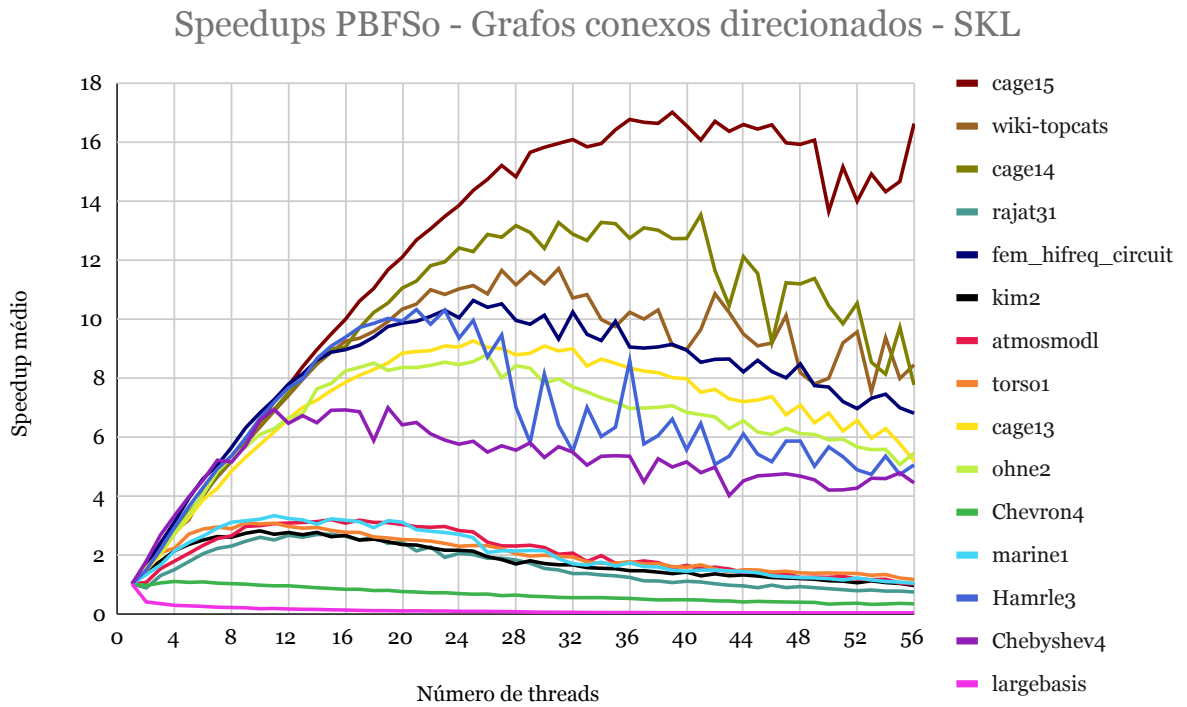
Fonte: Do autor(2021)

5.1.1.1 *Speedups* do algoritmo $PBFS_O$

A *Figura 5.1* e a *Tabela 5.2* apresentam os *speedups* alcançados pelo algoritmo $PBFS_O$ nos grafos *conexos* direcionados, na máquina *SKL*. Houve *speedups* significativos na maioria dos grafos desse teste, onde apenas 2 dos 15 grafos testados apresentaram *slowdown* predominante para os diferentes números de *threads* usados. Os maiores *speedups* foram alcançados pelos grafos *cage14*, *cage15* e *wiki-topcats*. Os piores *speedups* foram obtidos nos grafos *Che-*

vron4, *largebasis* e *rajat31*. Em geral o perfil das curvas de *speedup* foi de decrescimento para um número de *threads* maior que 28, o que indica que a utilização do *hyperthreading* impactou negativamente o desempenho do algoritmo *PBFS_O* neste teste.

Figura 5.1 – Gráfico com os *speedups* obtidos pelo algoritmo *PBFS_O* nos grafos *conexos* direcionados, na máquina *SKL*.



Fonte: Do autor(2021)

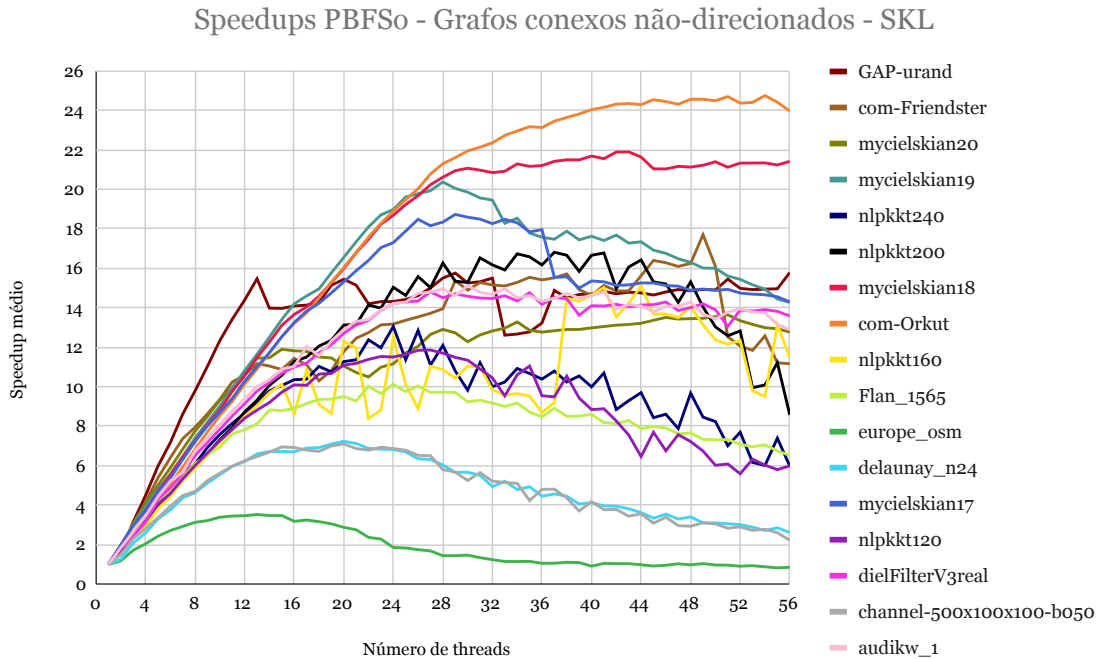
Tabela 5.2 – *Speedups* obtidos pelo algoritmo $PBFS_O$ nos grafos *conexos* direcionados, na máquina *SKL*

| Nº de threads | cage15 | wiki-topcats | cage14 | rajat31 | fem_hifreq_circuit | kim2 | atmosmodl | torsol | cage13 | ohne2 | Chevron4 | marine1 | Hamrle3 | Chebyshev4 | largebasis |
|---------------|--------|--------------|--------|---------|--------------------|------|-----------|--------|--------|-------|----------|---------|---------|------------|------------|
| 2 | 1,4 | 1,4 | 1,4 | 0,9 | 1,7 | 1,5 | 1,1 | 1,6 | 1,5 | 1,5 | 0,9 | 1,3 | 1,5 | 1,8 | 0,4 |
| 4 | 2,7 | 2,8 | 2,8 | 1,5 | 3,1 | 2,1 | 1,8 | 2,2 | 2,7 | 2,7 | 1,1 | 2,1 | 2,9 | 3,3 | 0,3 |
| 6 | 4,0 | 4,1 | 4,0 | 2,0 | 4,6 | 2,5 | 2,3 | 2,9 | 3,9 | 4,0 | 1,1 | 2,6 | 4,3 | 4,5 | 0,2 |
| 8 | 5,3 | 5,2 | 5,2 | 2,3 | 5,6 | 2,6 | 2,6 | 2,9 | 4,8 | 5,3 | 1,0 | 3,1 | 5,4 | 5,1 | 0,2 |
| 10 | 6,5 | 6,3 | 6,4 | 2,6 | 6,8 | 2,8 | 3,0 | 3,0 | 5,7 | 6,1 | 1,0 | 3,2 | 6,6 | 6,6 | 0,2 |
| 12 | 7,7 | 7,4 | 7,5 | 2,7 | 7,8 | 2,7 | 3,1 | 3,0 | 6,6 | 6,6 | 0,9 | 3,2 | 7,7 | 6,5 | 0,1 |
| 14 | 9,0 | 8,5 | 8,5 | 2,7 | 8,6 | 2,7 | 3,1 | 2,9 | 7,2 | 7,6 | 0,9 | 3,0 | 8,6 | 6,5 | 0,1 |
| 16 | 10,0 | 9,2 | 9,0 | 2,6 | 9,0 | 2,6 | 3,1 | 2,8 | 7,8 | 8,2 | 0,8 | 3,2 | 9,4 | 6,9 | 0,1 |
| 18 | 11,0 | 9,6 | 10,2 | 2,6 | 9,4 | 2,5 | 3,1 | 2,6 | 8,3 | 8,5 | 0,8 | 2,9 | 9,8 | 5,9 | 0,1 |
| 20 | 12,1 | 10,3 | 11,0 | 2,4 | 9,9 | 2,3 | 3,0 | 2,5 | 8,8 | 8,3 | 0,7 | 3,1 | 9,9 | 6,4 | 0,1 |
| 22 | 13,1 | 11,0 | 11,8 | 2,3 | 10,1 | 2,2 | 2,9 | 2,5 | 8,9 | 8,4 | 0,7 | 2,8 | 9,8 | 6,1 | 0,1 |
| 24 | 13,9 | 11,0 | 12,4 | 2,0 | 10,0 | 2,1 | 2,8 | 2,3 | 9,0 | 8,4 | 0,7 | 2,7 | 9,3 | 5,7 | 0,1 |
| 26 | 14,7 | 10,8 | 12,9 | 1,9 | 10,4 | 1,9 | 2,4 | 2,3 | 9,0 | 8,8 | 0,7 | 2,1 | 8,7 | 5,5 | 0,1 |
| 28 | 14,8 | 11,2 | 13,2 | 1,8 | 9,9 | 1,7 | 2,3 | 2,0 | 8,8 | 8,4 | 0,6 | 2,1 | 7,0 | 5,5 | 0,1 |
| 30 | 15,8 | 11,2 | 12,4 | 1,5 | 10,1 | 1,7 | 2,2 | 2,0 | 9,1 | 7,8 | 0,6 | 2,1 | 8,1 | 5,3 | 0,0 |
| 32 | 16,1 | 10,7 | 12,9 | 1,4 | 10,2 | 1,6 | 2,0 | 1,9 | 9,0 | 7,7 | 0,5 | 1,7 | 5,5 | 5,5 | 0,0 |
| 34 | 16,0 | 10,0 | 13,3 | 1,3 | 9,3 | 1,5 | 2,0 | 1,7 | 8,6 | 7,3 | 0,5 | 1,7 | 6,0 | 5,3 | 0,0 |
| 36 | 16,8 | 10,2 | 12,7 | 1,2 | 9,0 | 1,4 | 1,7 | 1,8 | 8,3 | 7,0 | 0,5 | 1,7 | 8,6 | 5,3 | 0,0 |
| 38 | 16,6 | 10,3 | 13,0 | 1,1 | 9,0 | 1,4 | 1,7 | 1,7 | 8,2 | 7,0 | 0,5 | 1,6 | 6,0 | 5,3 | 0,0 |
| 40 | 16,6 | 9,0 | 12,7 | 1,1 | 8,9 | 1,4 | 1,6 | 1,6 | 8,0 | 6,8 | 0,5 | 1,4 | 5,6 | 5,1 | 0,0 |
| 42 | 16,7 | 10,9 | 11,6 | 1,0 | 8,6 | 1,3 | 1,6 | 1,5 | 7,6 | 6,7 | 0,4 | 1,5 | 5,1 | 5,0 | 0,0 |
| 44 | 16,6 | 9,5 | 12,1 | 0,9 | 8,2 | 1,3 | 1,4 | 1,5 | 7,2 | 6,5 | 0,4 | 1,4 | 6,1 | 4,5 | 0,0 |
| 46 | 16,6 | 9,2 | 9,2 | 1,0 | 8,2 | 1,2 | 1,3 | 1,4 | 7,4 | 6,1 | 0,4 | 1,3 | 5,1 | 4,7 | 0,0 |
| 48 | 15,9 | 8,2 | 11,2 | 0,9 | 8,5 | 1,2 | 1,2 | 1,4 | 7,1 | 6,1 | 0,4 | 1,2 | 5,8 | 4,7 | 0,0 |
| 50 | 13,7 | 8,0 | 10,4 | 0,8 | 7,7 | 1,1 | 1,2 | 1,4 | 6,8 | 5,9 | 0,3 | 1,2 | 5,6 | 4,2 | 0,0 |
| 52 | 14,0 | 9,6 | 10,5 | 0,8 | 7,0 | 1,0 | 1,2 | 1,4 | 6,6 | 5,7 | 0,3 | 1,2 | 4,9 | 4,3 | 0,0 |
| 54 | 14,3 | 9,4 | 8,1 | 0,8 | 7,4 | 1,0 | 1,2 | 1,3 | 6,3 | 5,6 | 0,3 | 1,1 | 5,3 | 4,6 | 0,0 |
| 56 | 16,6 | 8,4 | 7,8 | 0,7 | 6,8 | 0,9 | 1,0 | 1,1 | 5,2 | 5,4 | 0,3 | 1,0 | 5,0 | 4,4 | 0,0 |

Fonte: Do autor(2021)

A Figura 5.2 e a Tabela 5.3 apresentam os *speedups* médios alcançados pelo algoritmo $PBFS_O$ nos grafos *conexos* não direcionados, na máquina *SKL*. Todos os grafos apresentaram *speedup* significativamente acima de 1 para a maioria dos números de *threads* utilizados. O único grafo onde obteve-se *slowdown* foi o *europ-osm*, mas isso ocorreu em apenas alguns poucos casos para números de *threads* acima de 50. Os maiores *speedups* máximos foram obtidos pelos grafos *com-Orkut*, *mycielskian18* e *mycielskian19* e os grafos *channel-500x100x100-b050*, *delaunay_n24* e *europa_osm* alcançaram os menores *speedups* máximos deste teste.

Figura 5.2 – Gráfico com os *speedups* obtidos pelo algoritmo *PBFS_O* nos grafos *conexos* não direcionados, na máquina *SKL*.



Fonte: Do autor(2021)

Os grafos *com-Orkut* e *mycielskian18* apresentaram algum crescimento/estabilidade no perfil de suas curvas de *speedup* para números de *threads* acima de 28, mas, no geral, o que se observa na *Figura 5.2* é que o perfil dessas curvas foi de decréscimo para números de *threads* acima desse valor, o que indica que, de forma geral, a utilização do *hyperthreading* não produziu melhores desempenhos neste teste.

Tabela 5.3 – *Speedups* obtidos pelo algoritmo $PBFS_O$ nos grafos *conexos* não direcionados, na máquina *SKL*

| Nº de threads | GAP-urand | com-Friendster | mycielskian20 | mycielskian19 | nlpkkt240 | nlpkkt200 | mycielskian18 | com-Orkut | nlpkkt160 | Flan_1565 | europa_osm | delaunay_n24 | mycielskian17 | nlpkkt120 | dielFilterV3real | channel-500x100x100-b050 | audikw_1 |
|---------------|-----------|----------------|---------------|---------------|-----------|-----------|---------------|-----------|-----------|-----------|------------|--------------|---------------|-----------|------------------|--------------------------|----------|
| 2 | 1,6 | 1,7 | 1,9 | 2,0 | 1,6 | 1,6 | 2,0 | 1,8 | 1,6 | 1,8 | 1,2 | 1,3 | 2,0 | 1,7 | 1,8 | 1,5 | 1,8 |
| 4 | 4,5 | 4,2 | 4,1 | 3,9 | 3,2 | 3,0 | 3,7 | 3,3 | 2,9 | 3,6 | 2,0 | 2,6 | 3,7 | 3,2 | 3,1 | 2,8 | 3,5 |
| 6 | 7,2 | 6,4 | 5,9 | 5,6 | 4,7 | 4,6 | 5,5 | 5,1 | 4,4 | 4,7 | 2,7 | 3,8 | 5,4 | 4,6 | 4,9 | 4,0 | 5,2 |
| 8 | 9,8 | 7,9 | 7,8 | 7,4 | 6,1 | 6,0 | 7,3 | 6,8 | 5,9 | 6,1 | 3,1 | 4,6 | 7,2 | 6,0 | 6,5 | 4,7 | 6,8 |
| 10 | 12,3 | 9,4 | 9,3 | 9,0 | 7,6 | 7,3 | 8,8 | 8,5 | 7,2 | 7,0 | 3,4 | 5,5 | 8,7 | 7,3 | 7,8 | 5,6 | 8,1 |
| 12 | 14,4 | 10,6 | 10,7 | 10,8 | 8,7 | 8,7 | 10,6 | 10,1 | 8,5 | 7,8 | 3,5 | 6,2 | 10,3 | 8,4 | 9,1 | 6,3 | 9,4 |
| 14 | 14,0 | 11,0 | 11,5 | 12,5 | 9,8 | 10,1 | 12,3 | 11,7 | 9,7 | 8,8 | 3,5 | 6,7 | 11,7 | 9,2 | 10,2 | 6,7 | 10,4 |
| 16 | 14,1 | 11,4 | 11,8 | 14,2 | 10,4 | 11,3 | 13,7 | 13,2 | 8,6 | 8,9 | 3,2 | 6,7 | 13,3 | 10,1 | 11,0 | 6,9 | 11,0 |
| 18 | 14,3 | 10,3 | 11,5 | 15,0 | 11,0 | 12,1 | 14,6 | 14,5 | 9,1 | 9,4 | 3,2 | 6,9 | 14,2 | 10,6 | 11,7 | 6,7 | 11,6 |
| 20 | 15,4 | 11,8 | 11,0 | 16,5 | 11,3 | 13,1 | 16,0 | 16,0 | 12,3 | 9,5 | 2,9 | 7,2 | 15,3 | 11,1 | 12,7 | 7,1 | 12,9 |
| 22 | 14,2 | 12,7 | 10,5 | 18,1 | 12,4 | 14,1 | 17,5 | 17,6 | 8,4 | 10,0 | 2,4 | 6,9 | 16,4 | 11,4 | 13,4 | 6,8 | 13,4 |
| 24 | 14,3 | 13,2 | 11,2 | 19,0 | 13,0 | 15,0 | 18,7 | 18,9 | 12,5 | 10,1 | 1,9 | 6,8 | 17,3 | 11,5 | 14,2 | 6,9 | 14,2 |
| 26 | 14,6 | 13,5 | 12,0 | 19,8 | 12,8 | 15,6 | 19,7 | 20,0 | 8,9 | 10,0 | 1,8 | 6,3 | 18,5 | 11,8 | 14,3 | 6,5 | 14,7 |
| 28 | 15,5 | 14,0 | 12,9 | 20,4 | 12,1 | 16,3 | 20,6 | 21,3 | 10,9 | 9,7 | 1,4 | 6,0 | 18,3 | 11,7 | 14,5 | 5,8 | 15,0 |
| 30 | 15,3 | 14,9 | 12,3 | 19,9 | 9,8 | 15,3 | 21,1 | 21,9 | 11,0 | 9,2 | 1,5 | 5,7 | 18,6 | 11,3 | 14,6 | 5,3 | 15,1 |
| 32 | 15,5 | 15,2 | 12,8 | 19,4 | 10,0 | 16,2 | 20,8 | 22,4 | 9,8 | 9,2 | 1,2 | 4,9 | 18,3 | 10,4 | 14,5 | 5,2 | 14,7 |
| 34 | 12,7 | 15,3 | 13,3 | 18,5 | 10,9 | 16,7 | 21,3 | 23,0 | 9,7 | 9,2 | 1,1 | 4,8 | 18,3 | 10,6 | 14,3 | 5,1 | 14,5 |
| 36 | 13,2 | 15,4 | 12,8 | 17,6 | 10,4 | 16,2 | 21,2 | 23,1 | 8,7 | 8,5 | 1,1 | 4,5 | 18,0 | 9,5 | 14,2 | 4,8 | 14,3 |
| 38 | 14,5 | 15,7 | 12,9 | 17,9 | 10,2 | 16,7 | 21,5 | 23,6 | 14,5 | 8,5 | 1,1 | 4,5 | 15,6 | 10,5 | 14,5 | 4,4 | 14,7 |
| 40 | 14,7 | 14,6 | 13,0 | 17,6 | 10,0 | 16,7 | 21,7 | 24,0 | 14,6 | 8,6 | 0,9 | 4,1 | 15,4 | 8,8 | 14,1 | 4,2 | 14,6 |
| 42 | 14,7 | 14,9 | 13,1 | 17,7 | 8,8 | 15,0 | 21,9 | 24,3 | 13,5 | 8,1 | 1,0 | 3,9 | 15,1 | 8,3 | 14,2 | 3,8 | 13,9 |
| 44 | 14,8 | 15,6 | 13,2 | 17,3 | 9,7 | 16,4 | 21,6 | 24,3 | 15,1 | 7,9 | 1,0 | 3,6 | 15,3 | 6,5 | 14,1 | 3,6 | 14,1 |
| 46 | 14,8 | 16,3 | 13,5 | 16,8 | 8,6 | 15,2 | 21,0 | 24,4 | 13,7 | 7,9 | 1,0 | 3,6 | 15,1 | 6,8 | 14,3 | 3,4 | 14,1 |
| 48 | 14,9 | 16,2 | 13,4 | 16,3 | 9,7 | 15,3 | 21,1 | 24,6 | 14,1 | 7,7 | 1,0 | 3,4 | 14,9 | 7,2 | 14,0 | 2,9 | 14,3 |
| 50 | 14,9 | 16,1 | 13,5 | 16,0 | 8,2 | 13,0 | 21,4 | 24,5 | 12,4 | 7,3 | 1,0 | 3,1 | 14,9 | 6,0 | 13,9 | 3,1 | 13,4 |
| 52 | 15,0 | 12,1 | 13,3 | 15,4 | 7,7 | 12,8 | 21,3 | 24,4 | 12,3 | 7,1 | 0,9 | 3,0 | 14,7 | 5,6 | 13,9 | 2,9 | 13,9 |
| 54 | 14,9 | 12,6 | 13,0 | 14,9 | 6,0 | 10,1 | 21,3 | 24,7 | 9,5 | 7,1 | 0,9 | 2,7 | 14,7 | 6,0 | 13,9 | 2,8 | 13,7 |
| 56 | 15,8 | 11,2 | 12,8 | 14,3 | 6,0 | 8,6 | 21,4 | 24,0 | 11,5 | 6,5 | 0,9 | 2,6 | 14,3 | 6,0 | 13,6 | 2,2 | 12,9 |

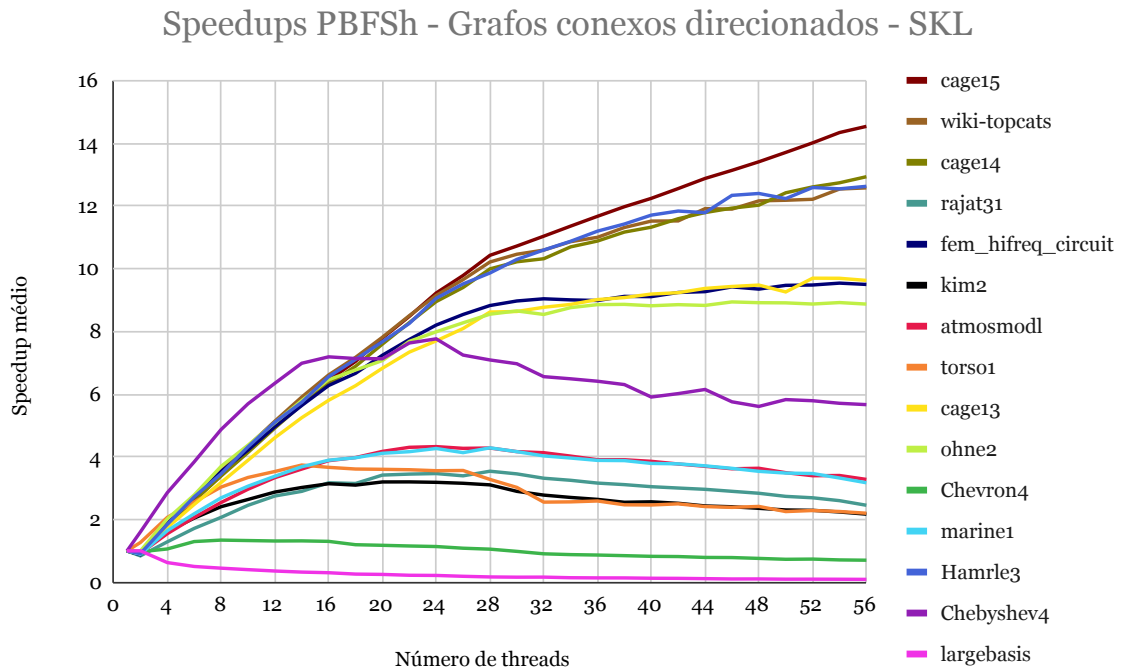
Fonte: Do autor(2021)

5.1.1.2 *Speedups* do algoritmo $PBFS_H$

A Tabela 5.4 e a Figura 5.3 exibem os resultados obtidos, na máquina *SKL*, pelo algoritmo $PBFS_H$ nos grafos *conexos* direcionados. 14 dos 15 grafos testados apresentaram *speedup* para um número de *threads* até 28 e o grafo *largebasis* apresentou predominantemente *slow-*

down para a maioria dos números de *threads* utilizados. Os melhores *speedups* máximos foram obtidos pelos grafos *cage14*, *cage15* e *wiki-topcats* e, os piores, pelos grafos *Chevron4*, *kim2* e *largebasis*.

Figura 5.3 – Gráfico com os *speedups* obtidos pelo algoritmo $PBFS_H$ nos grafos conexos direcionados, na máquina SKL.



Fonte: Do autor(2021)

O perfil das curvas de *speedup* visto na *Figura 5.3* foi de crescimento para 7 dos 15 grafos testados e de leve decréscimo para os demais. Os grafos *cage14*, *cage15*, *Hamrle3* e *wiki-topcats* tiveram aumento significativo no *speedup* para um número de *threads* acima de 28, enquanto os grafos *cage13*, *fem_hifreq_circuit* e *ohne2* apresentaram leve crescimento para essas quantidades de *threads*; assim, a utilização do *hyperthreading* produziu um melhor desempenho em 46,67% dos grafos deste teste.

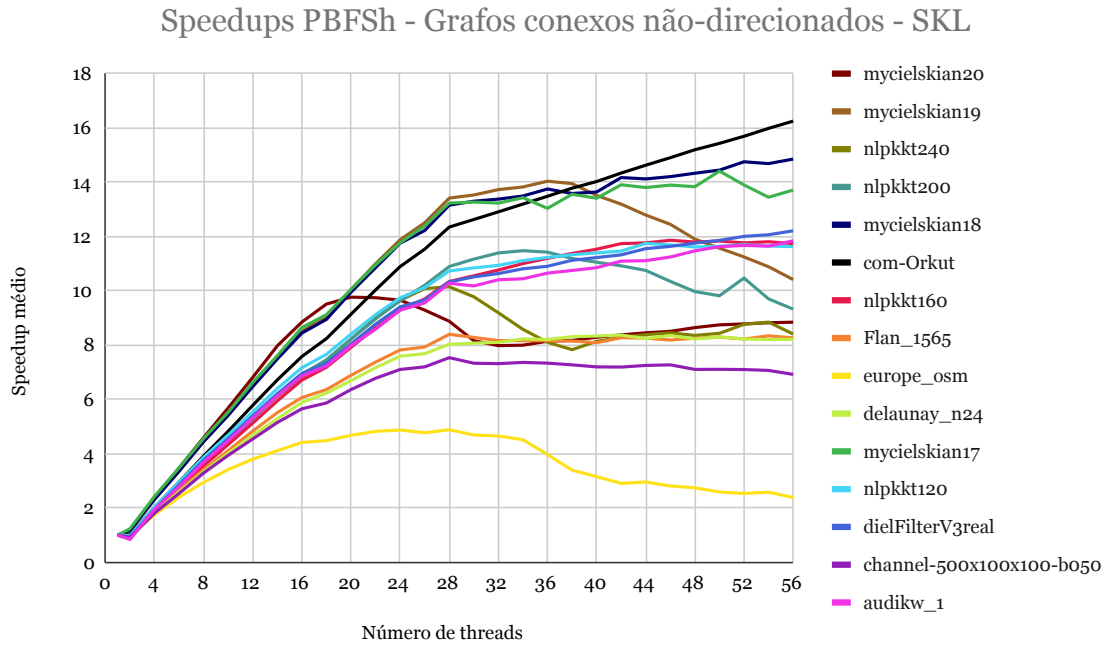
Tabela 5.4 – *Speedups* do algoritmo $PBFS_H$ nos grafos *conexos* direcionados, na máquina *SKL*

| Nº de threads | cage15 | wiki-topcats | cage14 | rajat31 | fem_hifreq_circuit | kim2 | atmosmodl | torso1 | cage13 | ohne2 | Chevron4 | marine1 | Hamrle3 | Chebyshev4 | largebasis |
|---------------|--------|--------------|--------|---------|--------------------|------|-----------|--------|--------|-------|----------|---------|---------|------------|------------|
| 2 | 0,9 | 0,9 | 0,9 | 0,8 | 0,9 | 0,9 | 0,9 | 1,3 | 0,9 | 1,0 | 1,0 | 0,9 | 0,9 | 1,6 | 1,0 |
| 4 | 1,8 | 1,9 | 1,8 | 1,3 | 1,9 | 1,6 | 1,5 | 2,1 | 1,7 | 2,0 | 1,1 | 1,6 | 1,8 | 2,9 | 0,6 |
| 6 | 2,6 | 2,7 | 2,6 | 1,7 | 2,7 | 2,0 | 2,1 | 2,6 | 2,5 | 2,8 | 1,3 | 2,2 | 2,7 | 3,8 | 0,5 |
| 8 | 3,4 | 3,5 | 3,4 | 2,1 | 3,5 | 2,4 | 2,5 | 3,0 | 3,2 | 3,7 | 1,3 | 2,7 | 3,5 | 4,9 | 0,5 |
| 10 | 4,2 | 4,3 | 4,1 | 2,5 | 4,2 | 2,6 | 3,0 | 3,3 | 3,9 | 4,4 | 1,3 | 3,1 | 4,3 | 5,7 | 0,4 |
| 12 | 4,9 | 5,1 | 4,9 | 2,8 | 5,0 | 2,9 | 3,3 | 3,5 | 4,6 | 5,1 | 1,3 | 3,4 | 5,1 | 6,3 | 0,4 |
| 14 | 5,7 | 5,9 | 5,7 | 2,9 | 5,6 | 3,0 | 3,6 | 3,7 | 5,2 | 5,8 | 1,3 | 3,7 | 5,7 | 7,0 | 0,3 |
| 16 | 6,4 | 6,6 | 6,3 | 3,2 | 6,3 | 3,1 | 3,9 | 3,7 | 5,8 | 6,5 | 1,3 | 3,9 | 6,6 | 7,2 | 0,3 |
| 18 | 7,0 | 7,2 | 6,9 | 3,2 | 6,7 | 3,1 | 4,0 | 3,6 | 6,3 | 6,8 | 1,2 | 4,0 | 7,1 | 7,1 | 0,3 |
| 20 | 7,8 | 7,8 | 7,6 | 3,4 | 7,2 | 3,2 | 4,2 | 3,6 | 6,8 | 7,1 | 1,2 | 4,1 | 7,7 | 7,1 | 0,3 |
| 22 | 8,5 | 8,5 | 8,3 | 3,4 | 7,7 | 3,2 | 4,3 | 3,6 | 7,3 | 7,7 | 1,2 | 4,2 | 8,3 | 7,6 | 0,2 |
| 24 | 9,2 | 9,1 | 8,9 | 3,5 | 8,2 | 3,2 | 4,3 | 3,6 | 7,7 | 8,0 | 1,1 | 4,3 | 9,1 | 7,8 | 0,2 |
| 26 | 9,8 | 9,6 | 9,4 | 3,4 | 8,5 | 3,2 | 4,3 | 3,6 | 8,1 | 8,3 | 1,1 | 4,1 | 9,5 | 7,2 | 0,2 |
| 28 | 10,4 | 10,2 | 10,0 | 3,5 | 8,8 | 3,1 | 4,3 | 3,3 | 8,6 | 8,5 | 1,1 | 4,3 | 9,9 | 7,1 | 0,2 |
| 30 | 10,7 | 10,5 | 10,2 | 3,5 | 9,0 | 2,9 | 4,2 | 3,0 | 8,6 | 8,7 | 1,0 | 4,2 | 10,3 | 7,0 | 0,2 |
| 32 | 11,0 | 10,6 | 10,3 | 3,3 | 9,0 | 2,8 | 4,1 | 2,6 | 8,8 | 8,5 | 0,9 | 4,0 | 10,6 | 6,6 | 0,2 |
| 34 | 11,4 | 10,9 | 10,7 | 3,3 | 9,0 | 2,7 | 4,0 | 2,6 | 8,9 | 8,8 | 0,9 | 4,0 | 10,9 | 6,5 | 0,1 |
| 36 | 11,7 | 11,0 | 10,9 | 3,2 | 9,0 | 2,6 | 3,9 | 2,6 | 9,0 | 8,9 | 0,9 | 3,9 | 11,2 | 6,4 | 0,1 |
| 38 | 12,0 | 11,3 | 11,2 | 3,1 | 9,1 | 2,6 | 3,9 | 2,5 | 9,1 | 8,9 | 0,8 | 3,9 | 11,4 | 6,3 | 0,1 |
| 40 | 12,2 | 11,5 | 11,3 | 3,0 | 9,1 | 2,6 | 3,9 | 2,5 | 9,2 | 8,8 | 0,8 | 3,8 | 11,7 | 5,9 | 0,1 |
| 42 | 12,6 | 11,5 | 11,6 | 3,0 | 9,2 | 2,5 | 3,8 | 2,5 | 9,2 | 8,9 | 0,8 | 3,8 | 11,8 | 6,0 | 0,1 |
| 44 | 12,9 | 11,9 | 11,8 | 3,0 | 9,3 | 2,4 | 3,7 | 2,4 | 9,4 | 8,8 | 0,8 | 3,7 | 11,8 | 6,1 | 0,1 |
| 46 | 13,1 | 11,9 | 11,9 | 2,9 | 9,4 | 2,4 | 3,6 | 2,4 | 9,4 | 8,9 | 0,8 | 3,6 | 12,3 | 5,8 | 0,1 |
| 48 | 13,4 | 12,2 | 12,0 | 2,8 | 9,3 | 2,4 | 3,6 | 2,4 | 9,5 | 8,9 | 0,8 | 3,5 | 12,4 | 5,6 | 0,1 |
| 50 | 13,7 | 12,2 | 12,4 | 2,7 | 9,5 | 2,3 | 3,5 | 2,3 | 9,3 | 8,9 | 0,7 | 3,5 | 12,2 | 5,8 | 0,1 |
| 52 | 14,0 | 12,2 | 12,6 | 2,7 | 9,5 | 2,3 | 3,4 | 2,3 | 9,7 | 8,9 | 0,7 | 3,5 | 12,6 | 5,8 | 0,1 |
| 54 | 14,3 | 12,5 | 12,7 | 2,6 | 9,5 | 2,2 | 3,4 | 2,3 | 9,7 | 8,9 | 0,7 | 3,3 | 12,5 | 5,7 | 0,1 |
| 56 | 14,5 | 12,6 | 12,9 | 2,5 | 9,5 | 2,2 | 3,3 | 2,2 | 9,6 | 8,9 | 0,7 | 3,2 | 12,6 | 5,7 | 0,1 |

Fonte: Do autor(2021)

A Figura 5.4 e a Tabela 5.5 apresentam os *speedups* médios obtidos pelo algoritmo $PBFS_H$ nos grafos *conexos* não direcionados, na máquina *SKL*. Todos os grafos deste teste apresentaram *speedups* significativos. Os maiores *speedups* máximos foram obtidos pelos grafos *com-Orkut*, *mycielskian17* e *mycielskian18* e, os menores, pelos grafos *channel-500x100x100-b050*, *delanay_n24* e *europe_osm*. O perfil das curvas de *speedup* foi, em geral, de crescimento para quantidades de *threads* acima de 28, o que indica que a utilização do *hyperthreading* impactou positivamente no desempenho do $PBFS_H$ neste teste.

Figura 5.4 – Gráfico com os *speedups* obtidos pelo $PBFS_H$ nos grafos conexos não direcionados, na máquina SKL



Fonte: Do autor(2021)

Tabela 5.5 – *Speedups* do algoritmo $PBFS_H$ nos grafos *conexos* não direcionados, na máquina *SKL*

| N° de threads | mycielskian20 | mycielskian19 | nlpkkt240 | nlpkkt200 | mycielskian18 | com-Orkut | nlpkkt160 | Flan_1565 | europa_osm | delaunay_n24 | mycielskian17 | nlpkkt120 | dielFilterV3real | channel-500x100x100-b050 | audikw_1 |
|---------------|---------------|---------------|-----------|-----------|---------------|-----------|-----------|-----------|------------|--------------|---------------|-----------|------------------|--------------------------|----------|
| 2 | 1,2 | 1,2 | 0,9 | 1,0 | 1,2 | 1,0 | 0,9 | 0,9 | 1,0 | 0,9 | 1,2 | 1,0 | 0,9 | 0,9 | 0,8 |
| 4 | 2,4 | 2,3 | 1,9 | 1,9 | 2,3 | 2,0 | 1,9 | 1,9 | 1,7 | 1,9 | 2,4 | 2,0 | 1,9 | 1,8 | 2,0 |
| 6 | 3,5 | 3,4 | 2,7 | 2,7 | 3,4 | 3,0 | 2,7 | 2,7 | 2,4 | 2,6 | 3,5 | 3,0 | 2,9 | 2,5 | 2,8 |
| 8 | 4,6 | 4,4 | 3,6 | 3,6 | 4,4 | 3,9 | 3,6 | 3,4 | 2,9 | 3,3 | 4,6 | 3,9 | 3,8 | 3,3 | 3,7 |
| 10 | 5,7 | 5,4 | 4,4 | 4,4 | 5,4 | 4,8 | 4,3 | 4,1 | 3,4 | 4,0 | 5,5 | 4,7 | 4,6 | 3,9 | 4,5 |
| 12 | 6,8 | 6,5 | 5,3 | 5,3 | 6,5 | 5,8 | 5,1 | 4,8 | 3,8 | 4,7 | 6,6 | 5,5 | 5,4 | 4,5 | 5,3 |
| 14 | 8,0 | 7,5 | 6,1 | 6,2 | 7,5 | 6,7 | 5,9 | 5,5 | 4,1 | 5,3 | 7,6 | 6,4 | 6,2 | 5,1 | 6,1 |
| 16 | 8,8 | 8,5 | 6,8 | 6,9 | 8,4 | 7,6 | 6,7 | 6,1 | 4,4 | 5,9 | 8,6 | 7,2 | 7,0 | 5,7 | 6,9 |
| 18 | 9,5 | 9,0 | 7,4 | 7,5 | 8,9 | 8,2 | 7,2 | 6,4 | 4,5 | 6,2 | 9,1 | 7,7 | 7,3 | 5,9 | 7,2 |
| 20 | 9,8 | 10,0 | 8,2 | 8,2 | 9,9 | 9,1 | 7,9 | 6,9 | 4,7 | 6,7 | 10,1 | 8,4 | 8,0 | 6,4 | 8,0 |
| 22 | 9,7 | 11,0 | 9,0 | 9,0 | 10,9 | 10,0 | 8,6 | 7,4 | 4,8 | 7,2 | 11,0 | 9,1 | 8,8 | 6,8 | 8,6 |
| 24 | 9,7 | 11,9 | 9,6 | 9,6 | 11,8 | 10,9 | 9,3 | 7,8 | 4,9 | 7,6 | 11,8 | 9,7 | 9,4 | 7,1 | 9,3 |
| 26 | 9,3 | 12,5 | 10,1 | 10,2 | 12,2 | 11,5 | 9,7 | 7,9 | 4,8 | 7,7 | 12,4 | 10,1 | 9,7 | 7,2 | 9,6 |
| 28 | 8,9 | 13,4 | 10,1 | 10,9 | 13,2 | 12,3 | 10,3 | 8,4 | 4,9 | 8,0 | 13,2 | 10,7 | 10,3 | 7,5 | 10,3 |
| 30 | 8,2 | 13,5 | 9,8 | 11,2 | 13,3 | 12,6 | 10,6 | 8,3 | 4,7 | 8,1 | 13,3 | 10,8 | 10,5 | 7,3 | 10,2 |
| 32 | 8,0 | 13,7 | 9,2 | 11,4 | 13,4 | 12,9 | 10,8 | 8,2 | 4,7 | 8,1 | 13,2 | 10,9 | 10,6 | 7,3 | 10,4 |
| 34 | 8,0 | 13,8 | 8,6 | 11,5 | 13,5 | 13,2 | 11,0 | 8,2 | 4,5 | 8,2 | 13,4 | 11,1 | 10,8 | 7,4 | 10,4 |
| 36 | 8,1 | 14,0 | 8,1 | 11,4 | 13,8 | 13,5 | 11,2 | 8,2 | 4,0 | 8,2 | 13,0 | 11,2 | 10,9 | 7,3 | 10,7 |
| 38 | 8,2 | 13,9 | 7,8 | 11,2 | 13,6 | 13,8 | 11,4 | 8,1 | 3,4 | 8,3 | 13,6 | 11,3 | 11,1 | 7,3 | 10,7 |
| 40 | 8,3 | 13,5 | 8,1 | 11,1 | 13,6 | 14,0 | 11,5 | 8,1 | 3,2 | 8,3 | 13,4 | 11,4 | 11,2 | 7,2 | 10,9 |
| 42 | 8,4 | 13,2 | 8,3 | 10,9 | 14,2 | 14,3 | 11,7 | 8,3 | 2,9 | 8,4 | 13,9 | 11,5 | 11,3 | 7,2 | 11,1 |
| 44 | 8,5 | 12,8 | 8,4 | 10,8 | 14,1 | 14,6 | 11,8 | 8,3 | 3,0 | 8,2 | 13,8 | 11,7 | 11,6 | 7,3 | 11,1 |
| 46 | 8,5 | 12,4 | 8,5 | 10,3 | 14,2 | 14,9 | 11,9 | 8,2 | 2,8 | 8,4 | 13,9 | 11,7 | 11,6 | 7,3 | 11,2 |
| 48 | 8,6 | 11,9 | 8,4 | 10,0 | 14,3 | 15,2 | 11,8 | 8,3 | 2,7 | 8,2 | 13,8 | 11,6 | 11,8 | 7,1 | 11,5 |
| 50 | 8,7 | 11,6 | 8,4 | 9,8 | 14,4 | 15,4 | 11,8 | 8,3 | 2,6 | 8,3 | 14,4 | 11,6 | 11,9 | 7,1 | 11,6 |
| 52 | 8,8 | 11,2 | 8,8 | 10,5 | 14,8 | 15,7 | 11,8 | 8,2 | 2,5 | 8,2 | 13,9 | 11,7 | 12,0 | 7,1 | 11,7 |
| 54 | 8,8 | 10,9 | 8,8 | 9,7 | 14,7 | 16,0 | 11,8 | 8,3 | 2,6 | 8,2 | 13,4 | 11,6 | 12,1 | 7,1 | 11,6 |
| 56 | 8,8 | 10,4 | 8,4 | 9,3 | 14,9 | 16,3 | 11,7 | 8,3 | 2,4 | 8,2 | 13,7 | 11,6 | 12,2 | 6,9 | 11,8 |

Fonte: Do autor(2021)

5.1.2 Grafos não conexos

Esta seção apresenta os resultados dos testes dos algoritmos $PBFS_O$ (Seção 5.1.2.1) e $PBFS_H$ (Seção 5.1.2.2) nos grafos não conexos, na máquina *SKL*. A Tabela 5.6 exibe os tempos de execução sequenciais dos algoritmos BFS , $PBFS_O$ e $PBFS_H$ nesses testes. Para cada um dos grafos, a Tabela 5.6 também exibe os detalhes da componente fortemente conectada (CFC)

utilizada, onde v_0 representa o vértice inicial da busca em largura utilizado pelos algoritmos e, portanto, esse vértice é também o identificador da *CFC* testada, e $|V|_{CFC}$ e $|A|_{CFC}$ representam o número de vértices e arestas dessa *CFC*, respectivamente.

Tabela 5.6 – Tempos de execução sequenciais (em segundos) dos algoritmos *BFS*, *PBFS_O*, e *PBFS_H* nos grafos *não conexos*, na máquina *SKL*.

| Nº Grafo | BFS* | PBFS _O | BFS** | PBFS _H | v_0 | $ V _{CFC}$ | $ A _{CFC}$ |
|----------------------|--------|-------------------|--------|-------------------|-------------|-------------|---------------|
| 1 sk-2005 | 0,11 | 0,13 | 0,11 | 0,13 | 19.879.528 | 16.016 | 104.502 |
| 2 GAP-web | 0,11 | 0,13 | 0,11 | 0,13 | 19.879.528 | 16.016 | 91.686 |
| 3 twitter7 | 75,90 | 75,32 | 110,72 | 107,96 | 4.597.022 | 35.016.137 | 1.415.799.538 |
| 4 GAP-twitter | 79,57 | 79,99 | 109,18 | 107,85 | 19.058.682 | 35.016.137 | 1.415.799.261 |
| 5 it-2004 | 0,15 | 0,19 | 0,16 | 0,18 | 1.906.277 | 9.995 | 40.365 |
| 6 webbase-2001 | 0,49 | 0,57 | 0,46 | 0,52 | 86.002.303 | 3.842 | 3.841 |
| 7 uk-2005 | 0,08 | 0,10 | 0,09 | 0,10 | 21.049.533 | 5.609 | 21.961 |
| 8 arabic-2005 | 0,05 | 0,06 | 0,05 | 0,06 | 2.960.954 | 9.965 | 19.920 |
| 9 stokes | 5,95 | 5,74 | 6,00 | 5,73 | 10.901.764 | 11.303.355 | 349.175.802 |
| 10 uk-2002 | 6,27 | 5,49 | 6,12 | 5,37 | 15.353.975 | 17.994.090 | 289.864.964 |
| 11 HV15R | 3,42 | 3,37 | 3,44 | 3,37 | 265.192 | 2.017.169 | 283.073.458 |
| 12 indochina-2004 | 0,43 | 0,43 | 0,43 | 0,43 | 6.086.394 | 6.987 | 48.228.945 |
| 13 vas_stokes_4M | 2,27 | 2,19 | 2,24 | 2,15 | 3.429.948 | 4.309.660 | 131.456.523 |
| 14 ML_Geer | 1,10 | 1,10 | 1,10 | 1,08 | 43 | 1.504.002 | 110.879.972 |
| 15 ljournal-2008 | 2,63 | 2,36 | 2,58 | 2,32 | 5.178.078 | 4.815.948 | 77.879.760 |
| 16 GAP-kron | 315,48 | 307,35 | - | - | 71.328.661 | 63.032.893 | 2.111.611.751 |
| 17 mawi_201512020330 | 19,31 | 12,92 | 20,87 | 13,63 | 104.492.306 | 213.682.593 | 231.407.318 |
| 18 kmer_V1r | 125,99 | 106,64 | 125,03 | 110,69 | 2 | 214.004.392 | 232.704.832 |
| 19 kmer_A2a | 104,89 | 99,93 | 100,13 | 88,17 | 21.095.627 | 170.372.459 | 179.941.739 |
| 20 Queen_4147 | 3,22 | 3,30 | 3,22 | 3,32 | 19 | 4.147.110 | 166.823.197 |
| 21 kmer_P1a | 76,03 | 67,14 | 78,06 | 68,08 | 414.528 | 138.896.082 | 148.465.346 |
| 22 mawi_201512020130 | 11,14 | 7,46 | 11,59 | 7,58 | 58.782.752 | 121.594.511 | 130.268.466 |
| 23 rgg_n_2_24_s0 | 9,07 | 8,53 | 9,01 | 8,39 | 2.421.853 | 16.777.215 | 132.557.200 |
| 24 kron_g500-logn21 | 3,18 | 3,12 | 3,30 | 3,26 | 1.930.587 | 1.543.901 | 91.041.917 |
| 25 mawi_201512020030 | 6,08 | 4,09 | 6,24 | 4,10 | 31.413.874 | 64.912.184 | 69.026.990 |
| 26 kmer_U1a | 34,76 | 29,38 | 34,18 | 29,58 | 10.669.071 | 64.678.340 | 66.393.629 |
| 27 Bump_2911 | 1,68 | 1,59 | 1,65 | 1,58 | 1.035.677 | 2.852.430 | 65.261.670 |
| 28 rgg_n_2_23_s0 | 4,28 | 3,99 | 4,20 | 3,84 | 1.210.948 | 8.388.601 | 63.501.390 |
| 29 Cube_Coup_dt6 | 1,32 | 1,34 | 1,30 | 1,31 | 181 | 2.164.760 | 64.685.452 |
| 30 Cube_Coup_dt0 | 1,32 | 1,38 | 1,30 | 1,31 | 181 | 2.164.760 | 64.685.452 |
| 31 kmer_V2a | 26,23 | 23,02 | 26,20 | 22,72 | 4.105.631 | 53.500.237 | 57.076.126 |

* Obtidos imediatamente antes de cada teste com o algoritmo *PBFS_O*.

** Obtidos imediatamente antes de cada teste com o algoritmo *PBFS_H*.

Fonte: Do autor(2021)

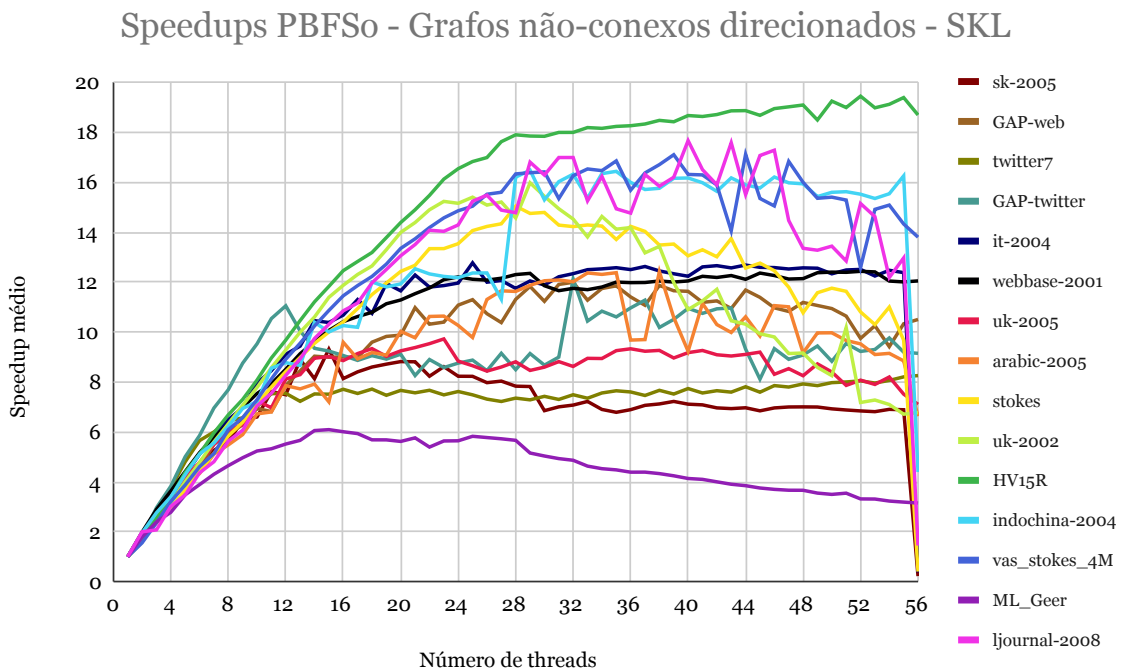
Na *Tabela 5.6*, observa-se que, em geral, os algoritmos paralelos executados sequencialmente foram mais rápidos que o algoritmo *BFS*. O *PBFS_O* foi mais lento que o *BFS* em 10 dos 31 grafos testados e a média geométrica dos tempos de execução sequenciais nesses grafos foi 3,59% menor (mais rápida) no *PBFS_O*. O algoritmo *PBFS_H* foi mais lento que o *BFS* em 9

dos 30 grafos testados e a média geométrica dos tempos de execução sequenciais nesses grafos foi 4,73% menor (mais rápida) no $PBFS_H$.

5.1.2.1 *Speedups* do algoritmo $PBFS_O$

Na *Figura 5.5* e na *Tabela 5.7*, tem-se os *speedups* médios obtidos pelo algoritmo $PBFS_O$ nos grafos *não conexos* direcionados, na máquina *SKL*. Todos os grafos deste teste apresentaram *speedups* significativos e, em geral, nenhum grafo apresentou *slowdown* para a grande maioria dos números de *threads* utilizados.

Figura 5.5 – Gráfico com os *speedups* do $PBFS_O$ nos grafos *não conexos* direcionados, na máquina *SKL*.



Fonte: Do autor(2021)

Os melhores *speedups* máximos foram alcançados pelos grafos *HV15R*, *ljournal-2008* e *vas_stokes_4M* e, os piores, pelos grafos *ML_Geer*, *sk-2005* e *twitter7*. O perfil das curvas de *speedup* foi, de maneira generalizada, de estabilidade para números de *threads* acima de 28, indicando que a utilização do *hyperthreading* parece não ter afetado de forma significativa o desempenho do algoritmo $PBFS_O$ neste teste.

Tabela 5.7 – *Speedups* obtidos pelo algoritmo $PBFS_O$ nos grafos *não conexos* direcionados, na máquina *SKL*

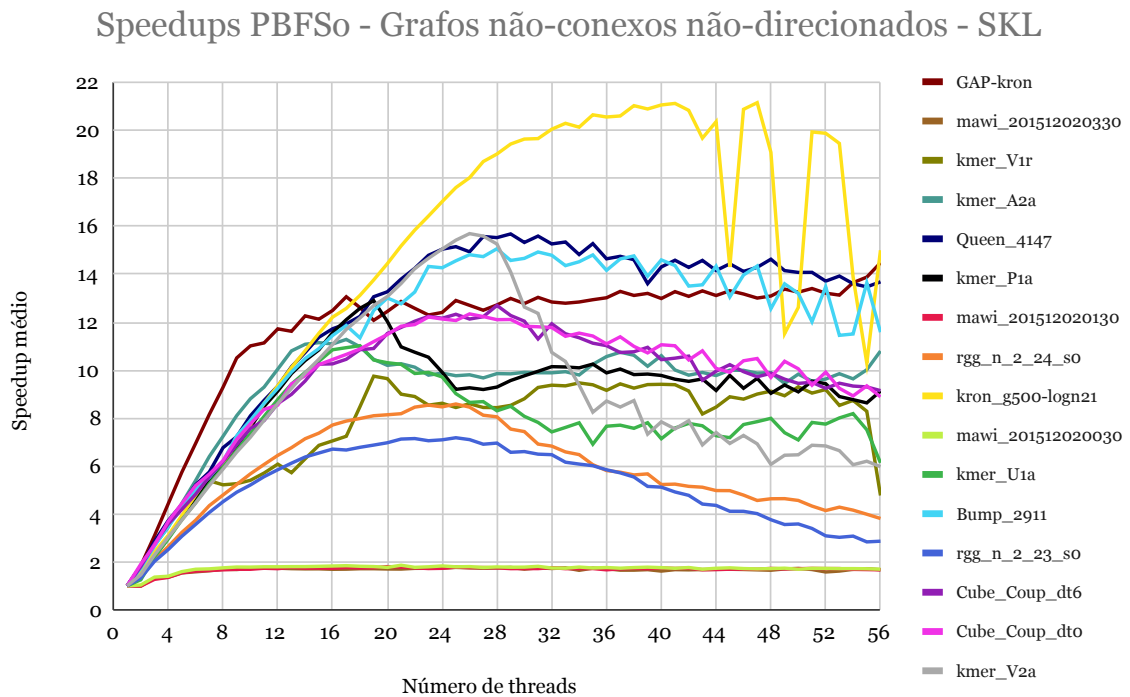
| Nº de threads | sk-2005 | GAP-web | twitter7 | GAP-twitter | it-2004 | webbase-2001 | uk-2005 | arabic-2005 | stokes | uk-2002 | HV15R | indochina-2004 | vas_stokes_4M | ML_Geer | ljournal-2008 |
|---------------|---------|---------|----------|-------------|---------|--------------|---------|-------------|--------|---------|-------|----------------|---------------|---------|---------------|
| 2 | 1,9 | 1,8 | 1,6 | 1,8 | 2,0 | 2,0 | 1,8 | 1,8 | 1,9 | 1,6 | 1,8 | 2,0 | 1,6 | 1,8 | 2,0 |
| 4 | 3,4 | 3,3 | 3,8 | 3,8 | 3,6 | 3,6 | 3,4 | 3,3 | 3,0 | 3,2 | 3,4 | 3,4 | 3,2 | 2,8 | 3,0 |
| 6 | 4,7 | 4,5 | 5,7 | 5,9 | 5,1 | 5,2 | 4,8 | 4,3 | 4,4 | 4,8 | 5,1 | 5,1 | 4,6 | 3,9 | 4,4 |
| 8 | 5,6 | 5,9 | 6,4 | 7,7 | 6,5 | 6,3 | 6,1 | 5,5 | 5,8 | 6,3 | 6,7 | 6,2 | 6,1 | 4,6 | 5,6 |
| 10 | 6,6 | 6,9 | 7,0 | 9,5 | 8,0 | 7,5 | 7,3 | 6,7 | 7,1 | 7,8 | 8,1 | 7,2 | 7,3 | 5,2 | 7,0 |
| 12 | 7,5 | 7,9 | 7,5 | 11,1 | 9,1 | 8,5 | 8,1 | 7,9 | 8,4 | 9,3 | 9,7 | 8,8 | 8,9 | 5,5 | 8,3 |
| 14 | 8,1 | 9,0 | 7,5 | 9,3 | 10,5 | 9,6 | 9,0 | 7,9 | 9,6 | 10,6 | 11,2 | 10,4 | 10,2 | 6,1 | 9,7 |
| 16 | 8,1 | 9,0 | 7,7 | 9,1 | 10,7 | 10,4 | 8,9 | 9,6 | 10,4 | 11,9 | 12,5 | 10,3 | 11,5 | 6,0 | 10,9 |
| 18 | 8,6 | 9,6 | 7,7 | 9,1 | 10,8 | 10,8 | 9,3 | 9,2 | 11,5 | 12,6 | 13,2 | 12,0 | 12,2 | 5,7 | 12,0 |
| 20 | 8,8 | 9,9 | 7,7 | 9,1 | 11,7 | 11,3 | 9,2 | 10,0 | 12,4 | 14,0 | 14,4 | 11,9 | 13,4 | 5,6 | 13,1 |
| 22 | 8,2 | 10,3 | 7,7 | 8,9 | 11,8 | 11,8 | 9,5 | 10,6 | 13,3 | 14,9 | 15,5 | 12,3 | 14,2 | 5,4 | 14,1 |
| 24 | 8,2 | 11,1 | 7,6 | 8,8 | 12,0 | 12,2 | 8,8 | 10,3 | 13,5 | 15,2 | 16,5 | 12,2 | 14,9 | 5,6 | 14,3 |
| 26 | 8,0 | 10,7 | 7,3 | 8,5 | 12,0 | 12,1 | 8,4 | 11,3 | 14,2 | 15,1 | 17,0 | 12,4 | 15,5 | 5,8 | 15,5 |
| 28 | 7,8 | 11,3 | 7,4 | 8,5 | 11,7 | 12,3 | 8,8 | 11,6 | 15,0 | 14,6 | 17,9 | 16,2 | 16,3 | 5,7 | 14,8 |
| 30 | 6,9 | 11,2 | 7,4 | 8,7 | 11,9 | 11,9 | 8,6 | 12,1 | 14,8 | 15,4 | 17,8 | 15,3 | 16,4 | 5,0 | 16,3 |
| 32 | 7,1 | 12,0 | 7,5 | 12,1 | 12,3 | 11,8 | 8,6 | 12,0 | 14,2 | 14,5 | 18,0 | 16,3 | 16,3 | 4,9 | 17,0 |
| 34 | 6,9 | 11,7 | 7,6 | 10,8 | 12,5 | 11,8 | 8,9 | 12,3 | 14,2 | 14,6 | 18,2 | 16,3 | 16,5 | 4,5 | 16,2 |
| 36 | 6,9 | 11,4 | 7,6 | 11,0 | 12,5 | 12,0 | 9,3 | 9,7 | 14,2 | 14,2 | 18,3 | 16,0 | 15,7 | 4,4 | 14,8 |
| 38 | 7,1 | 11,9 | 7,7 | 10,2 | 12,4 | 12,0 | 9,3 | 12,4 | 13,5 | 13,4 | 18,5 | 15,8 | 16,7 | 4,3 | 15,8 |
| 40 | 7,1 | 11,6 | 7,7 | 11,0 | 12,2 | 12,0 | 9,2 | 9,2 | 13,1 | 10,9 | 18,7 | 16,2 | 16,3 | 4,1 | 17,7 |
| 42 | 7,0 | 11,2 | 7,7 | 10,9 | 12,7 | 12,2 | 9,1 | 10,3 | 13,0 | 11,7 | 18,7 | 15,6 | 15,9 | 4,0 | 15,9 |
| 44 | 7,0 | 11,7 | 7,8 | 9,3 | 12,7 | 12,1 | 9,1 | 10,6 | 12,6 | 10,3 | 18,9 | 15,9 | 17,1 | 3,8 | 15,5 |
| 46 | 7,0 | 11,0 | 7,9 | 9,3 | 12,6 | 12,3 | 8,3 | 11,1 | 12,5 | 9,8 | 19,0 | 16,2 | 15,1 | 3,7 | 17,3 |
| 48 | 7,0 | 11,2 | 7,9 | 9,1 | 12,6 | 12,1 | 8,3 | 9,2 | 10,8 | 9,2 | 19,1 | 15,9 | 16,0 | 3,7 | 13,4 |
| 50 | 6,9 | 10,9 | 8,0 | 8,8 | 12,3 | 12,4 | 8,4 | 10,0 | 11,8 | 8,3 | 19,3 | 15,6 | 15,4 | 3,5 | 13,4 |
| 52 | 6,8 | 9,7 | 8,0 | 9,2 | 12,5 | 12,4 | 8,1 | 9,5 | 10,8 | 7,2 | 19,4 | 15,5 | 12,6 | 3,3 | 15,1 |
| 54 | 6,9 | 9,4 | 8,1 | 9,8 | 12,5 | 12,0 | 8,2 | 9,1 | 11,0 | 7,1 | 19,1 | 15,5 | 15,1 | 3,2 | 12,2 |
| 56 | 0,2 | 10,5 | 8,3 | 9,1 | 0,4 | 12,0 | 7,1 | 6,6 | 0,4 | 6,8 | 18,7 | 4,4 | 13,8 | 3,1 | 1,5 |

Fonte: Do autor(2021)

A *Figura 5.6* e a *Tabela 5.8* mostram os *speedups* médios obtidos pelo algoritmo $PBFS_O$ nos grafos *não conexos* não direcionados, na máquina *SKL*. Todos os grafos apresentaram *speedup* significativo e nenhum grafo apresentou *slowdown*. Os melhores *speedups* máximos foram obtidos pelos grafos *kmer_V2a*, *kron_g500-logn21* e *Queen_4147*, enquanto os piores foram obtidos pelos grafos *mawi_201512020030*, *mawi_201512020130* e *mawi_201512020330*. O perfil das curvas de *speedup* foi, em geral, de decréscimo para um número de *threads* maior

que 28, indicando que a utilização do *hyperthreading* afetou negativamente o desempenho do $PBFS_0$ neste teste.

Figura 5.6 – Gráfico com os *speedups* obtidos pelo algoritmo $PBFS_0$ nos grafos *não conexos* não direcionados, na máquina *SKL*.



Fonte: Do autor(2021)

Tabela 5.8 – *Speedups* obtidos pelo algoritmo $PBFS_O$ nos grafos *não conexos* não direcionados, na máquina *SKL*

| Nº de threads | GAP-kron | mawi_201512020330 | kmer_V1r | kmer_A2a | Queen_4147 | kmer_P1a | mawi_201512020130 | rgg_n_2_24_s0 | kron_g500-logn21 | mawi_201512020030 | kmer_U1a | Bump_2911 | rgg_n_2_23_s0 | Cube_Coup_dt6 | Cube_Coup_dt0 | kmer_V2a |
|---------------|----------|-------------------|----------|----------|------------|----------|-------------------|---------------|------------------|-------------------|----------|-----------|---------------|---------------|---------------|----------|
| 2 | 1,8 | 1,0 | 1,4 | 1,7 | 1,8 | 1,4 | 1,0 | 1,4 | 1,6 | 1,0 | 1,2 | 1,7 | 1,3 | 1,8 | 1,9 | 1,5 |
| 4 | 4,4 | 1,4 | 3,0 | 3,4 | 3,7 | 3,1 | 1,3 | 2,6 | 3,1 | 1,4 | 2,9 | 3,5 | 2,5 | 3,6 | 3,7 | 3,0 |
| 6 | 6,9 | 1,6 | 4,7 | 5,4 | 5,2 | 4,5 | 1,6 | 3,7 | 4,8 | 1,7 | 4,5 | 5,0 | 3,6 | 4,8 | 5,2 | 4,5 |
| 8 | 9,3 | 1,7 | 5,2 | 7,2 | 6,8 | 6,1 | 1,7 | 4,8 | 6,1 | 1,7 | 5,9 | 6,2 | 4,5 | 6,2 | 6,2 | 5,9 |
| 10 | 11,0 | 1,7 | 5,4 | 8,8 | 8,1 | 7,6 | 1,7 | 5,7 | 7,7 | 1,8 | 7,4 | 7,9 | 5,2 | 7,6 | 7,8 | 7,2 |
| 12 | 11,7 | 1,7 | 6,1 | 10,0 | 9,3 | 9,1 | 1,7 | 6,4 | 9,3 | 1,8 | 8,8 | 9,2 | 5,8 | 8,6 | 8,5 | 8,6 |
| 14 | 12,3 | 1,7 | 6,3 | 11,1 | 10,7 | 10,4 | 1,7 | 7,1 | 10,8 | 1,8 | 9,9 | 10,5 | 6,4 | 9,5 | 9,8 | 9,9 |
| 16 | 12,5 | 1,7 | 7,0 | 11,1 | 11,7 | 11,6 | 1,7 | 7,7 | 12,2 | 1,8 | 10,8 | 11,4 | 6,7 | 10,3 | 10,4 | 11,1 |
| 18 | 12,6 | 1,7 | 8,5 | 11,0 | 12,2 | 12,6 | 1,7 | 8,0 | 13,1 | 1,8 | 11,0 | 11,3 | 6,8 | 10,9 | 10,9 | 12,2 |
| 19 | 12,1 | 1,7 | 9,7 | 10,5 | 13,1 | 12,9 | 1,8 | 8,1 | 13,8 | 1,8 | 10,4 | 12,5 | 6,9 | 10,9 | 11,2 | 12,7 |
| 20 | 12,4 | 1,7 | 9,6 | 10,2 | 13,3 | 12,0 | 1,8 | 8,1 | 14,4 | 1,8 | 10,3 | 13,0 | 7,0 | 11,5 | 11,5 | 13,1 |
| 22 | 12,6 | 1,7 | 8,9 | 10,1 | 14,2 | 10,7 | 1,7 | 8,5 | 15,8 | 1,8 | 9,9 | 13,3 | 7,1 | 12,0 | 11,9 | 14,2 |
| 24 | 12,4 | 1,7 | 8,6 | 9,9 | 15,0 | 9,9 | 1,7 | 8,5 | 17,0 | 1,8 | 9,7 | 14,3 | 7,1 | 12,2 | 12,1 | 15,1 |
| 26 | 12,7 | 1,7 | 8,6 | 9,8 | 14,9 | 9,3 | 1,8 | 8,5 | 18,0 | 1,8 | 8,7 | 14,8 | 7,1 | 12,1 | 12,3 | 15,7 |
| 28 | 12,7 | 1,7 | 8,4 | 9,9 | 15,5 | 9,3 | 1,7 | 8,0 | 19,0 | 1,8 | 8,3 | 15,1 | 7,0 | 12,7 | 12,1 | 15,3 |
| 30 | 12,8 | 1,7 | 8,8 | 9,9 | 15,3 | 9,8 | 1,7 | 7,4 | 19,6 | 1,8 | 8,1 | 14,7 | 6,6 | 12,0 | 11,8 | 12,6 |
| 32 | 12,8 | 1,7 | 9,4 | 9,9 | 15,3 | 10,1 | 1,8 | 6,8 | 20,1 | 1,7 | 7,4 | 14,8 | 6,5 | 11,9 | 11,8 | 10,7 |
| 34 | 12,8 | 1,6 | 9,5 | 9,8 | 14,8 | 10,1 | 1,7 | 6,5 | 20,1 | 1,8 | 7,8 | 14,5 | 6,1 | 11,4 | 11,5 | 9,4 |
| 36 | 13,0 | 1,7 | 9,2 | 10,6 | 14,6 | 9,9 | 1,7 | 5,8 | 20,6 | 1,8 | 7,7 | 14,2 | 5,8 | 11,0 | 11,1 | 8,7 |
| 38 | 13,1 | 1,7 | 9,2 | 10,6 | 14,6 | 9,8 | 1,7 | 5,6 | 21,0 | 1,8 | 7,6 | 14,8 | 5,5 | 10,8 | 11,0 | 8,7 |
| 40 | 13,0 | 1,6 | 9,4 | 10,6 | 14,3 | 9,8 | 1,7 | 5,2 | 21,1 | 1,8 | 7,1 | 14,6 | 5,1 | 10,4 | 11,1 | 7,8 |
| 42 | 13,1 | 1,7 | 9,1 | 9,8 | 14,3 | 9,5 | 1,7 | 5,1 | 20,8 | 1,8 | 7,8 | 13,5 | 4,8 | 10,6 | 10,4 | 7,9 |
| 44 | 13,1 | 1,7 | 8,5 | 9,8 | 14,2 | 9,2 | 1,7 | 5,0 | 20,4 | 1,7 | 7,3 | 14,3 | 4,4 | 10,0 | 10,1 | 7,4 |
| 46 | 13,2 | 1,7 | 8,8 | 10,0 | 14,1 | 9,2 | 1,7 | 4,8 | 20,9 | 1,7 | 7,7 | 14,0 | 4,1 | 9,9 | 10,4 | 7,3 |
| 48 | 13,1 | 1,6 | 9,1 | 9,9 | 14,6 | 9,0 | 1,7 | 4,6 | 19,1 | 1,7 | 8,0 | 12,6 | 3,8 | 9,9 | 9,7 | 6,1 |
| 50 | 13,3 | 1,7 | 9,3 | 9,8 | 14,1 | 9,1 | 1,7 | 4,6 | 12,6 | 1,7 | 7,1 | 13,2 | 3,6 | 9,4 | 10,1 | 6,5 |
| 52 | 13,2 | 1,6 | 9,2 | 9,6 | 13,7 | 9,4 | 1,7 | 4,1 | 19,9 | 1,7 | 7,7 | 13,5 | 3,1 | 9,2 | 9,9 | 6,8 |
| 54 | 13,7 | 1,7 | 8,7 | 9,6 | 13,6 | 8,8 | 1,7 | 4,2 | 13,9 | 1,7 | 8,2 | 11,5 | 3,1 | 9,3 | 8,9 | 6,1 |
| 56 | 14,5 | 1,7 | 4,8 | 10,8 | 13,7 | 9,1 | 1,7 | 3,8 | 15,0 | 1,7 | 6,1 | 11,6 | 2,9 | 9,1 | 8,9 | 6,0 |

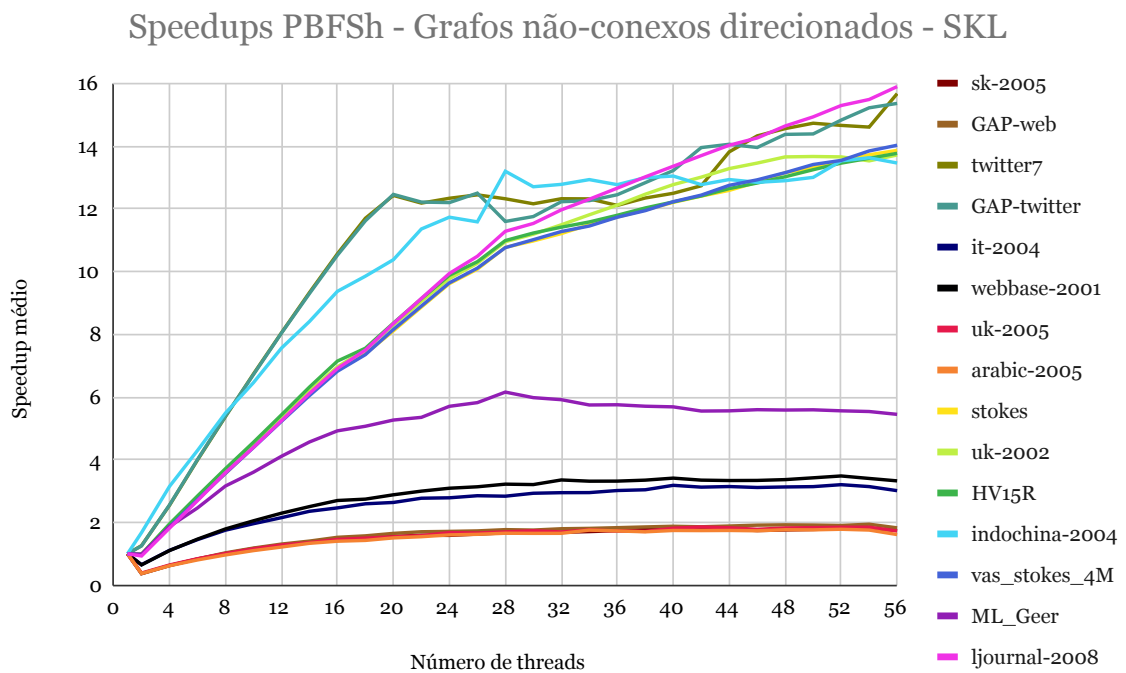
Fonte: Do autor(2021)

5.1.2.2 *Speedups* do algoritmo $PBFS_H$

A Figura 5.7 e a Tabela 5.9 apresentam os *speedups* obtidos pelo algoritmo $PBFS_H$ nos grafos *não conexos* direcionados, na máquina *SKL*. Todos os grafos apresentaram *speedup* significativo e nenhum grafo apresentou *slowdown* predominante para a maioria dos diferentes números de *threads* usados. Os melhores *speedups* máximos foram obtidos pelos grafos *GAP-*

twitter, *ljournal-2008* e *twitter7*, enquanto os piores foram obtidos pelos grafos *arabic-2005*, *GAP-web* e *sk-2005*. O perfil das curvas de *speedup* foi, em geral, de crescimento para um número de *threads* maior que 28, indicando que a utilização do *hyperthreading* afetou positivamente o desempenho do $PBFS_H$ neste teste.

Figura 5.7 – Gráfico com os *speedups* obtidos pelo algoritmo $PBFS_H$ nos grafos *não conexos* direcionados, na máquina *SKL*.



Fonte: Do autor(2021)

Tabela 5.9 – *Speedups* obtidos pelo algoritmo $PBFS_H$ nos grafos *não conexos* direcionados, na máquina *SKL*

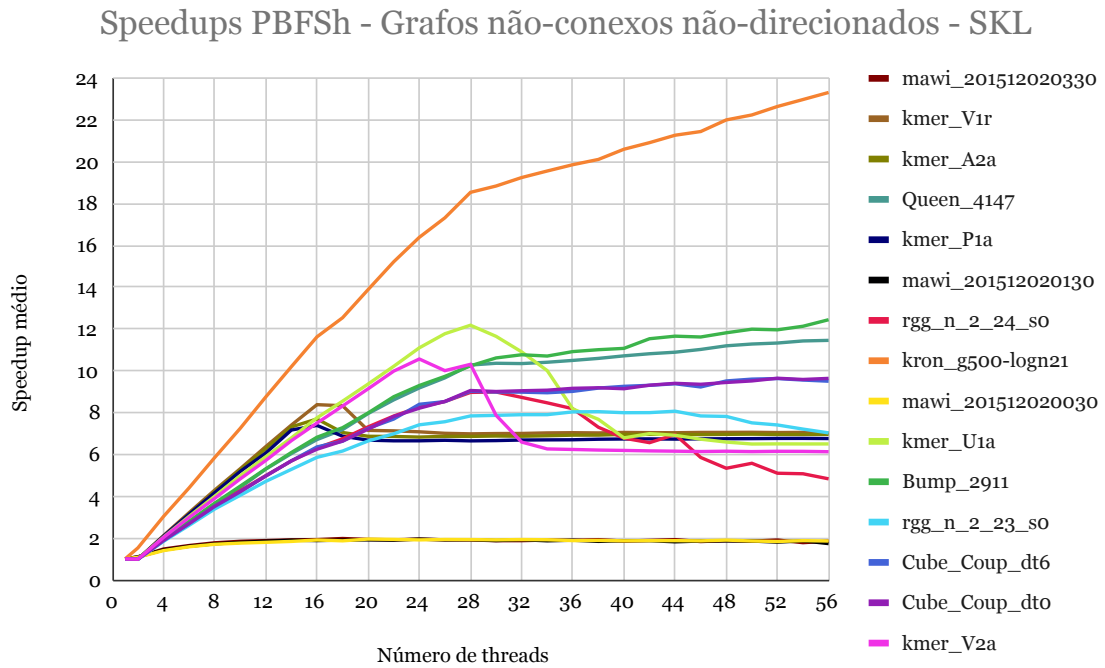
| Nº de threads | sk-2005 | GAP-web | twitter7 | GAP-twitter | it-2004 | webbase-2001 | uk-2005 | arabic-2005 | stokes | uk-2002 | HV15R | indochina-2004 | vas_stokes_4M | ML_Geer | ljournal-2008 |
|---------------|---------|---------|----------|-------------|---------|--------------|---------|-------------|--------|---------|-------|----------------|---------------|---------|---------------|
| 2 | 0,4 | 0,4 | 1,3 | 1,3 | 0,7 | 0,6 | 0,4 | 0,4 | 1,0 | 1,0 | 1,0 | 1,7 | 1,0 | 1,0 | 0,9 |
| 4 | 0,6 | 0,6 | 2,5 | 2,6 | 1,1 | 1,1 | 0,6 | 0,6 | 1,9 | 1,9 | 1,9 | 3,1 | 1,9 | 1,9 | 1,8 |
| 6 | 0,8 | 0,8 | 4,0 | 4,0 | 1,5 | 1,5 | 0,8 | 0,8 | 2,8 | 2,8 | 2,8 | 4,3 | 2,7 | 2,5 | 2,7 |
| 8 | 1,0 | 1,0 | 5,4 | 5,4 | 1,8 | 1,8 | 1,0 | 1,0 | 3,6 | 3,7 | 3,7 | 5,5 | 3,6 | 3,2 | 3,6 |
| 10 | 1,2 | 1,2 | 6,7 | 6,7 | 2,0 | 2,1 | 1,2 | 1,1 | 4,4 | 4,5 | 4,6 | 6,5 | 4,4 | 3,6 | 4,4 |
| 12 | 1,3 | 1,3 | 8,0 | 8,0 | 2,2 | 2,3 | 1,3 | 1,2 | 5,3 | 5,3 | 5,4 | 7,6 | 5,2 | 4,1 | 5,2 |
| 14 | 1,4 | 1,4 | 9,3 | 9,3 | 2,4 | 2,5 | 1,4 | 1,3 | 6,1 | 6,2 | 6,3 | 8,4 | 6,0 | 4,6 | 6,1 |
| 16 | 1,4 | 1,5 | 10,6 | 10,5 | 2,5 | 2,7 | 1,5 | 1,4 | 6,8 | 7,0 | 7,1 | 9,4 | 6,8 | 4,9 | 6,9 |
| 18 | 1,5 | 1,6 | 11,7 | 11,6 | 2,6 | 2,7 | 1,5 | 1,4 | 7,4 | 7,5 | 7,6 | 9,8 | 7,3 | 5,1 | 7,5 |
| 20 | 1,6 | 1,7 | 12,4 | 12,5 | 2,6 | 2,9 | 1,5 | 1,5 | 8,1 | 8,3 | 8,4 | 10,4 | 8,1 | 5,3 | 8,3 |
| 22 | 1,6 | 1,7 | 12,2 | 12,2 | 2,8 | 3,0 | 1,6 | 1,5 | 8,9 | 9,0 | 9,1 | 11,4 | 8,9 | 5,3 | 9,1 |
| 24 | 1,6 | 1,7 | 12,3 | 12,2 | 2,8 | 3,1 | 1,7 | 1,6 | 9,6 | 9,8 | 9,9 | 11,7 | 9,6 | 5,7 | 9,9 |
| 26 | 1,6 | 1,7 | 12,4 | 12,5 | 2,9 | 3,1 | 1,7 | 1,6 | 10,1 | 10,3 | 10,3 | 11,6 | 10,1 | 5,8 | 10,5 |
| 28 | 1,7 | 1,8 | 12,3 | 11,6 | 2,8 | 3,2 | 1,7 | 1,7 | 10,8 | 10,9 | 11,0 | 13,2 | 10,8 | 6,2 | 11,3 |
| 30 | 1,7 | 1,8 | 12,2 | 11,7 | 2,9 | 3,2 | 1,7 | 1,7 | 11,0 | 11,2 | 11,2 | 12,7 | 11,0 | 6,0 | 11,5 |
| 32 | 1,7 | 1,8 | 12,3 | 12,2 | 2,9 | 3,4 | 1,7 | 1,7 | 11,2 | 11,5 | 11,4 | 12,8 | 11,3 | 5,9 | 12,0 |
| 34 | 1,7 | 1,8 | 12,3 | 12,3 | 3,0 | 3,3 | 1,8 | 1,8 | 11,5 | 11,8 | 11,6 | 12,9 | 11,4 | 5,7 | 12,3 |
| 36 | 1,7 | 1,8 | 12,1 | 12,4 | 3,0 | 3,3 | 1,7 | 1,7 | 11,7 | 12,1 | 11,8 | 12,8 | 11,7 | 5,8 | 12,7 |
| 38 | 1,8 | 1,9 | 12,3 | 12,8 | 3,0 | 3,3 | 1,7 | 1,7 | 12,0 | 12,5 | 12,0 | 13,0 | 11,9 | 5,7 | 13,0 |
| 40 | 1,8 | 1,9 | 12,5 | 13,2 | 3,2 | 3,4 | 1,8 | 1,7 | 12,2 | 12,8 | 12,2 | 13,0 | 12,2 | 5,7 | 13,4 |
| 42 | 1,8 | 1,9 | 12,7 | 13,9 | 3,1 | 3,3 | 1,9 | 1,7 | 12,4 | 13,0 | 12,4 | 12,8 | 12,4 | 5,5 | 13,7 |
| 44 | 1,8 | 1,9 | 13,8 | 14,1 | 3,1 | 3,3 | 1,8 | 1,7 | 12,6 | 13,3 | 12,6 | 12,9 | 12,7 | 5,6 | 14,0 |
| 46 | 1,7 | 1,9 | 14,3 | 14,0 | 3,1 | 3,3 | 1,8 | 1,7 | 12,8 | 13,5 | 12,8 | 12,8 | 12,9 | 5,6 | 14,3 |
| 48 | 1,8 | 1,9 | 14,6 | 14,4 | 3,1 | 3,4 | 1,8 | 1,8 | 13,1 | 13,7 | 13,0 | 12,9 | 13,1 | 5,6 | 14,6 |
| 50 | 1,8 | 1,9 | 14,7 | 14,4 | 3,1 | 3,4 | 1,8 | 1,8 | 13,3 | 13,7 | 13,2 | 13,0 | 13,4 | 5,6 | 14,9 |
| 52 | 1,8 | 1,9 | 14,7 | 14,8 | 3,2 | 3,5 | 1,8 | 1,8 | 13,5 | 13,7 | 13,5 | 13,5 | 13,5 | 5,6 | 15,3 |
| 54 | 1,8 | 1,9 | 14,6 | 15,2 | 3,1 | 3,4 | 1,8 | 1,8 | 13,7 | 13,5 | 13,6 | 13,6 | 13,8 | 5,5 | 15,5 |
| 56 | 1,7 | 1,8 | 15,7 | 15,4 | 3,0 | 3,3 | 1,7 | 1,6 | 13,9 | 13,7 | 13,8 | 13,5 | 14,0 | 5,4 | 15,9 |

Fonte: Do autor(2021)

Na *Figura 5.8* e na *Tabela 5.10*, estão representados os *speedups* obtidos pelo algoritmo $PBFS_H$ nos grafos *não conexos* não direcionados, na máquina *SKL*. Todos os grafos apresentaram *speedup* significativo e nenhum grafo apresentou *slowdown* para nenhum dos diferentes números de *threads* usados. Os melhores *speedups* máximos foram obtidos pelos grafos *Bump_2911*, *kmer_U1a* e *kron_g500-logn21*, enquanto os piores foram obtidos pelos grafos *mawi_201512020030*, *mawi_201512020130* e *mawi_201512020330*. O perfil das curvas de *speedup* foi, em geral, de leve crescimento/estabilidade para um número de *threads* maior

que 28, indicando que a utilização do *hyperthreading* afetou positivamente o desempenho do $PBFS_H$ neste teste.

Figura 5.8 – Gráfico com os *speedups* obtidos pelo algoritmo $PBFS_H$ nos grafos *não conexos* não direcionados, na máquina SKL.



Fonte: Do autor(2021)

Tabela 5.10 – *Speedups* obtidos pelo algoritmo $PBFS_H$ nos grafos *não conexos* não direcionados, na máquina *SKL*

| Número de threads | mawi_201512020330 | kmer_V1r | kmer_A2a | Queen_4147 | kmer_P1a | mawi_201512020130 | rgg_n_2_24_s0 | kron_g500-logn21 | mawi_201512020030 | kmer_U1a | Bump_2911 | rgg_n_2_23_s0 | Cube_Coup_dt6 | Cube_Coup_dt0 | kmer_V2a |
|-------------------|-------------------|----------|----------|------------|----------|-------------------|---------------|------------------|-------------------|----------|-----------|---------------|---------------|---------------|----------|
| 2 | 1,1 | 1,0 | 1,0 | 1,0 | 1,0 | 1,1 | 1,0 | 1,5 | 1,1 | 1,0 | 1,0 | 1,0 | 1,0 | 1,0 | 1,0 |
| 4 | 1,5 | 2,1 | 2,0 | 1,9 | 2,1 | 1,4 | 1,9 | 3,0 | 1,4 | 2,0 | 1,9 | 1,8 | 1,9 | 1,9 | 2,0 |
| 6 | 1,6 | 3,2 | 3,2 | 2,8 | 3,1 | 1,6 | 2,7 | 4,4 | 1,6 | 3,0 | 2,8 | 2,6 | 2,7 | 2,7 | 3,0 |
| 8 | 1,8 | 4,3 | 4,2 | 3,6 | 4,2 | 1,7 | 3,6 | 5,8 | 1,7 | 4,0 | 3,7 | 3,4 | 3,5 | 3,5 | 3,9 |
| 10 | 1,8 | 5,3 | 5,3 | 4,4 | 5,2 | 1,8 | 4,3 | 7,2 | 1,8 | 5,0 | 4,5 | 4,0 | 4,2 | 4,2 | 4,8 |
| 12 | 1,9 | 6,4 | 6,3 | 5,3 | 6,1 | 1,8 | 5,0 | 8,8 | 1,8 | 5,9 | 5,3 | 4,7 | 5,0 | 5,0 | 5,7 |
| 14 | 1,9 | 7,4 | 7,3 | 6,0 | 7,2 | 1,9 | 5,7 | 10,2 | 1,8 | 6,8 | 6,1 | 5,3 | 5,7 | 5,7 | 6,7 |
| 16 | 1,9 | 8,4 | 7,7 | 6,7 | 7,4 | 1,9 | 6,3 | 11,6 | 1,9 | 7,8 | 6,8 | 5,9 | 6,4 | 6,2 | 7,5 |
| 18 | 2,0 | 8,3 | 7,0 | 7,2 | 6,9 | 1,9 | 6,7 | 12,5 | 1,9 | 8,5 | 7,3 | 6,2 | 6,6 | 6,6 | 8,3 |
| 20 | 1,9 | 7,2 | 6,9 | 8,0 | 6,7 | 1,9 | 7,3 | 13,9 | 1,9 | 9,4 | 8,0 | 6,6 | 7,2 | 7,2 | 9,1 |
| 22 | 1,9 | 7,1 | 6,9 | 8,6 | 6,7 | 1,9 | 7,8 | 15,2 | 1,9 | 10,2 | 8,8 | 7,0 | 7,7 | 7,8 | 10,0 |
| 24 | 1,9 | 7,1 | 6,8 | 9,2 | 6,7 | 1,9 | 8,3 | 16,4 | 1,9 | 11,1 | 9,3 | 7,4 | 8,4 | 8,2 | 10,6 |
| 26 | 1,9 | 7,0 | 6,9 | 9,7 | 6,7 | 1,9 | 8,5 | 17,3 | 1,9 | 11,8 | 9,7 | 7,6 | 8,5 | 8,5 | 10,0 |
| 28 | 1,9 | 7,0 | 6,9 | 10,3 | 6,6 | 1,9 | 9,0 | 18,5 | 1,9 | 12,2 | 10,2 | 7,8 | 9,0 | 9,1 | 10,3 |
| 30 | 1,9 | 7,0 | 6,9 | 10,4 | 6,7 | 1,9 | 9,0 | 18,8 | 1,9 | 11,7 | 10,6 | 7,9 | 9,0 | 9,0 | 7,9 |
| 32 | 1,9 | 7,0 | 6,9 | 10,3 | 6,7 | 1,9 | 8,7 | 19,3 | 1,9 | 10,9 | 10,8 | 7,9 | 9,0 | 9,0 | 6,6 |
| 34 | 1,9 | 7,0 | 6,9 | 10,4 | 6,7 | 1,9 | 8,5 | 19,6 | 1,9 | 10,0 | 10,7 | 7,9 | 9,0 | 9,1 | 6,3 |
| 36 | 1,9 | 7,0 | 6,9 | 10,5 | 6,7 | 1,9 | 8,2 | 19,9 | 1,9 | 8,2 | 10,9 | 8,0 | 9,0 | 9,2 | 6,2 |
| 38 | 1,9 | 7,0 | 6,9 | 10,6 | 6,7 | 1,8 | 7,3 | 20,1 | 1,9 | 7,7 | 11,0 | 8,0 | 9,2 | 9,2 | 6,2 |
| 40 | 1,9 | 7,1 | 7,0 | 10,7 | 6,7 | 1,9 | 6,8 | 20,6 | 1,9 | 6,8 | 11,1 | 8,0 | 9,3 | 9,1 | 6,2 |
| 42 | 1,9 | 7,0 | 7,0 | 10,8 | 6,7 | 1,9 | 6,6 | 20,9 | 1,9 | 7,0 | 11,5 | 8,0 | 9,3 | 9,3 | 6,2 |
| 44 | 1,9 | 7,0 | 7,0 | 10,9 | 6,7 | 1,8 | 7,0 | 21,3 | 1,9 | 6,9 | 11,7 | 8,1 | 9,4 | 9,4 | 6,2 |
| 46 | 1,8 | 7,1 | 6,9 | 11,0 | 6,7 | 1,9 | 5,9 | 21,5 | 1,9 | 6,7 | 11,6 | 7,8 | 9,2 | 9,4 | 6,1 |
| 48 | 1,9 | 7,1 | 7,0 | 11,2 | 6,8 | 1,9 | 5,3 | 22,0 | 1,9 | 6,6 | 11,8 | 7,8 | 9,5 | 9,4 | 6,2 |
| 50 | 1,8 | 7,1 | 7,0 | 11,3 | 6,8 | 1,9 | 5,6 | 22,2 | 1,9 | 6,5 | 12,0 | 7,5 | 9,6 | 9,5 | 6,1 |
| 52 | 1,9 | 7,0 | 7,0 | 11,3 | 6,8 | 1,8 | 5,1 | 22,7 | 1,8 | 6,5 | 12,0 | 7,4 | 9,6 | 9,6 | 6,1 |
| 54 | 1,8 | 7,1 | 7,0 | 11,4 | 6,8 | 1,9 | 5,1 | 23,0 | 1,9 | 6,5 | 12,1 | 7,2 | 9,6 | 9,6 | 6,1 |
| 56 | 1,9 | 7,0 | 7,0 | 11,5 | 6,8 | 1,7 | 4,8 | 23,3 | 1,9 | 6,5 | 12,4 | 7,0 | 9,5 | 9,6 | 6,1 |

Fonte: Do autor(2021)

5.2 Testes na máquina CLX

Os resultados dos testes na máquina *CLX* estão descritos a seguir. A *Seção 5.2.1* apresenta os resultados dos testes dos grafos *conexos* e a *Seção 5.2.2* apresenta os resultados dos testes para os grafos *não conexos* nessa máquina.

5.2.1 Grafos *conexos*

A *Tabela 5.11* apresenta os tempos de execução sequenciais obtidos pelos algoritmos *BFS*, *PBFS_O* e *PBFS_H* para os grafos *conexos*, na máquina *CLX*. A coluna v_0 dessa tabela representa o vértice inicial utilizado pelos algoritmos testados. Observa-se que, em geral, os algoritmos paralelos executados sequencialmente foram mais rápidos que o algoritmo *BFS*. O *PBFS_O* foi mais lento que o *BFS* em apenas 4 dos 30 grafos testados e a média geométrica dos tempos de execução sequenciais nesses grafos foi 5,97% menor (mais rápida) no *PBFS_O*. O algoritmo *PBFS_H* foi mais lento que o *BFS* em apenas 1 dos 30 grafos testados e a média geométrica dos tempos de execução sequenciais nesses grafos foi 6,17% menor (mais rápida) no *PBFS_H*.

Tabela 5.11 – Tempos de execução sequenciais (em segundos) dos algoritmos BFS , $PBFS_O$, e $PBFS_H$ nos grafos *conexos*, na máquina *CLX*.

| Nº | Grafo | BFS* | PBFS _O | BFS** | PBFS _H | v ₀ |
|----|--------------------|--------|-------------------|--------|-------------------|----------------|
| 1 | cage15 | 2,01 | 1,93 | 2,01 | 1,93 | 4.850.801 |
| 2 | wiki-topcats | 0,72 | 0,63 | 0,71 | 0,63 | 1.166.027 |
| 3 | cage14 | 0,51 | 0,49 | 0,52 | 0,49 | 1.457.234 |
| 4 | rajat31 | 0,51 | 0,42 | 0,52 | 0,43 | 1.251 |
| 5 | fem_hifreq_circuit | 0,27 | 0,24 | 0,26 | 0,25 | 28.187 |
| 6 | kim2 | 0,13 | 0,11 | 0,13 | 0,12 | 1.355 |
| 7 | atmosmodl | 0,30 | 0,24 | 0,31 | 0,24 | 39.404 |
| 8 | torso1 | 0,08 | 0,07 | 0,07 | 0,07 | 4.161 |
| 9 | cage13 | 0,13 | 0,12 | 0,13 | 0,12 | 411.097 |
| 10 | ohne2 | 0,12 | 0,11 | 0,12 | 0,12 | 59.989 |
| 11 | Chevron4 | 0,09 | 0,08 | 0,09 | 0,08 | 512 |
| 12 | marine1 | 0,11 | 0,09 | 0,11 | 0,10 | 20.908 |
| 13 | Hamrle3 | 0,31 | 0,26 | 0,30 | 0,25 | 736.801 |
| 14 | Chebyshev4 | 0,05 | 0,04 | 0,05 | 0,04 | 1 |
| 15 | largebasis | 0,09 | 0,12 | 0,08 | 0,12 | 40.003 |
| 16 | GAP-urand | 306,41 | 332,62 | 249,59 | 228,49 | 57.337.431 |
| 17 | com-Friendster | 150,01 | 138,71 | 162,78 | 143,61 | 40.553.569 |
| 18 | mycielskian20 | 20,81 | 20,46 | 20,67 | 20,58 | 786.431 |
| 19 | mycielskian19 | 6,84 | 6,82 | 6,89 | 6,85 | 393.215 |
| 20 | nlpkkt240 | 11,01 | 10,66 | 11,53 | 11,06 | 116.645 |
| 21 | nlpkkt200 | 6,24 | 6,17 | 6,19 | 6,18 | 81.205 |
| 22 | mycielskian18 | 2,31 | 2,26 | 2,30 | 2,29 | 196.607 |
| 23 | com-Orkut | 3,63 | 3,52 | 3,64 | 3,52 | 43.608 |
| 24 | nlpkkt160 | 3,04 | 3,06 | 3,21 | 3,21 | 52.165 |
| 25 | Flan_1565 | 1,01 | 1,00 | 1,03 | 1,00 | 19 |
| 26 | europe_osm | 11,49 | 9,89 | 11,46 | 9,77 | 36.470.776 |
| 27 | delaunay_n24 | 4,18 | 3,55 | 4,40 | 3,74 | 3.142.594 |
| 28 | mycielskian17 | 0,77 | 0,77 | 0,77 | 0,76 | 98.303 |
| 29 | nlpkkt120 | 1,24 | 1,26 | 1,24 | 1,23 | 29.525 |
| 30 | dielFilterV3real | 1,00 | 0,96 | 1,01 | 0,97 | 16.481 |

* Obtidos imediatamente antes de cada teste com o algoritmo $PBFS_O$.

** Obtidos imediatamente antes de cada teste com o algoritmo $PBFS_H$.

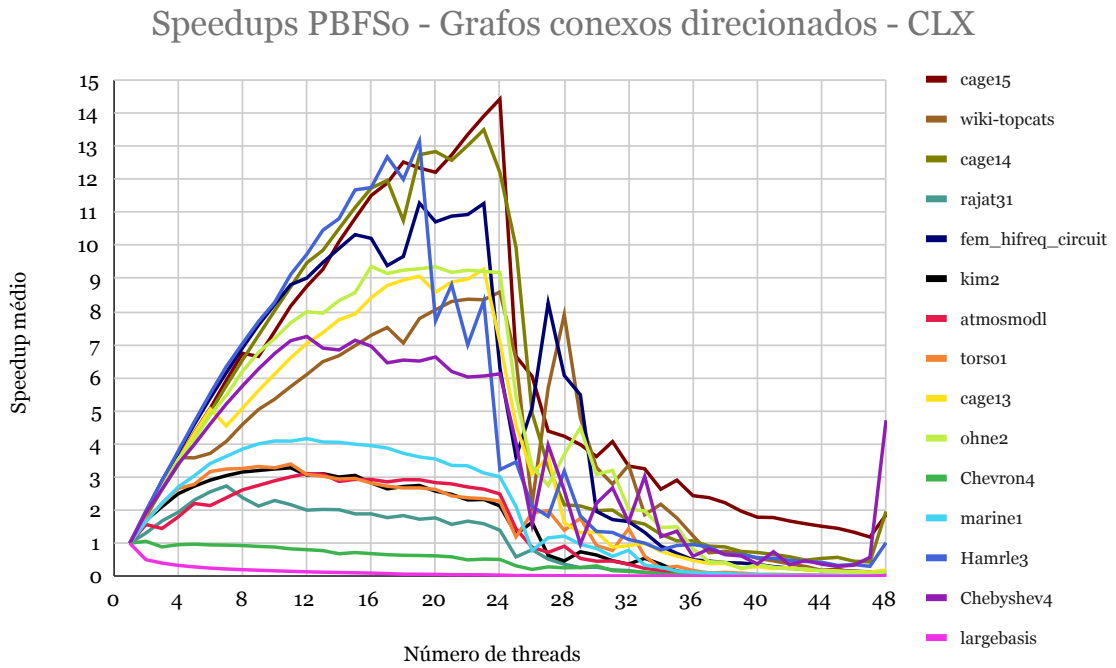
Fonte: Do autor(2021)

5.2.1.1 Speedups do algoritmo $PBFS_O$

A Figura 5.9 e a Tabela 5.12 apresentam os *speedups* obtidos pelo algoritmo $PBFS_O$ nos grafos *conexos* direcionados, na máquina *CLX*. 13 dos 15 grafos testados apresentaram *speedup* significativo para algum dos números de *threads* utilizados e 2 desses grafos apresentaram majoritariamente *slowdown*. Os melhores *speedups* máximos foram obtidos pelos grafos *cage14*, *cage15* e *Hamrle3*, enquanto os piores foram obtidos pelos grafos *Chevron4*, *largebasis* e *rajat31*. O perfil das curvas de *speedup* foi, em geral, de decréscimo acentuado para um número

de *threads* maior que 24, indicando que a utilização do *hyperthreading* afetou negativamente o desempenho do $PBFS_O$ neste teste.

Figura 5.9 – Gráfico com os *speedups* obtidos pelo algoritmo $PBFS_O$ nos grafos *conexos* direcionados, na máquina *CLX*.



Fonte: Do autor(2021)

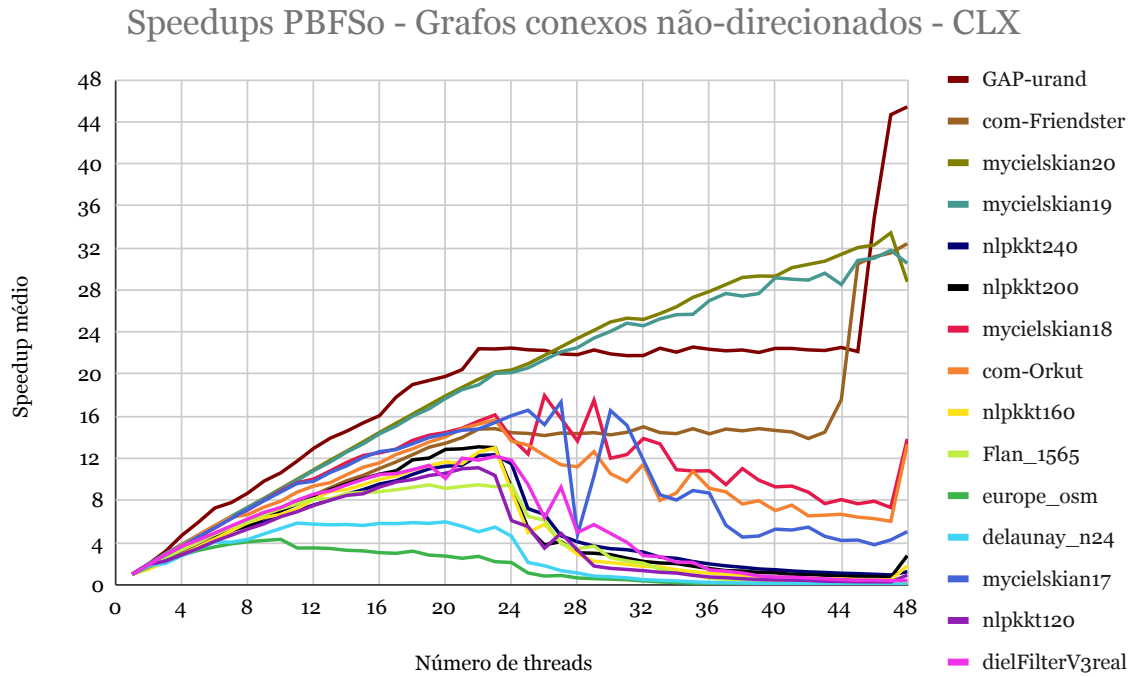
Tabela 5.12 – *Speedups* obtidos pelo algoritmo $PBFS_O$ nos grafos *conexos* direcionados, na máquina *CLX*

| Nº de threads | cage15 | wiki-topcats | cage14 | rajat31 | fem_hifreq_circuit | kim2 | atmosmodl | torso1 | cage13 | ohne2 | Chevron4 | marinel | Hamrle3 | Chebyshev4 | largebasis |
|---------------|--------|--------------|--------|---------|--------------------|------|-----------|--------|--------|-------|----------|---------|---------|------------|------------|
| 2 | 1,9 | 1,9 | 1,8 | 1,3 | 2,0 | 1,7 | 1,6 | 1,7 | 1,9 | 1,9 | 1,1 | 1,7 | 2,0 | 1,9 | 0,5 |
| 4 | 3,5 | 3,6 | 3,4 | 1,9 | 3,7 | 2,5 | 1,8 | 2,7 | 3,5 | 3,5 | 1,0 | 2,7 | 3,8 | 3,4 | 0,3 |
| 6 | 5,1 | 3,7 | 5,0 | 2,6 | 5,4 | 2,9 | 2,1 | 3,2 | 5,1 | 4,9 | 1,0 | 3,4 | 5,5 | 4,6 | 0,2 |
| 8 | 6,7 | 4,6 | 6,5 | 2,4 | 6,9 | 3,2 | 2,6 | 3,3 | 5,1 | 6,2 | 0,9 | 3,8 | 7,0 | 5,8 | 0,2 |
| 10 | 7,4 | 5,4 | 8,0 | 2,3 | 8,2 | 3,2 | 2,9 | 3,3 | 6,1 | 7,2 | 0,9 | 4,1 | 8,3 | 6,7 | 0,2 |
| 12 | 8,8 | 6,1 | 9,5 | 2,0 | 9,0 | 3,1 | 3,1 | 3,1 | 7,0 | 8,0 | 0,8 | 4,2 | 9,7 | 7,3 | 0,1 |
| 14 | 10,1 | 6,7 | 10,5 | 2,0 | 9,9 | 3,0 | 2,9 | 2,9 | 7,8 | 8,3 | 0,7 | 4,1 | 10,8 | 6,8 | 0,1 |
| 16 | 11,5 | 7,3 | 11,7 | 1,9 | 10,2 | 2,8 | 2,9 | 2,8 | 8,4 | 9,4 | 0,7 | 3,9 | 11,8 | 7,0 | 0,1 |
| 18 | 12,5 | 7,1 | 10,8 | 1,8 | 9,7 | 2,7 | 2,9 | 2,7 | 9,0 | 9,3 | 0,6 | 3,7 | 12,0 | 6,5 | 0,1 |
| 20 | 12,2 | 8,1 | 12,8 | 1,8 | 10,7 | 2,6 | 2,8 | 2,6 | 8,6 | 9,4 | 0,6 | 3,5 | 7,7 | 6,6 | 0,1 |
| 22 | 13,4 | 8,4 | 13,0 | 1,7 | 10,9 | 2,3 | 2,7 | 2,4 | 9,0 | 9,3 | 0,5 | 3,3 | 7,0 | 6,0 | 0,0 |
| 24 | 14,4 | 8,6 | 12,2 | 1,4 | 6,3 | 2,1 | 2,5 | 2,3 | 7,1 | 9,2 | 0,5 | 3,0 | 3,2 | 6,1 | 0,0 |
| 26 | 6,0 | 2,2 | 4,9 | 0,8 | 5,1 | 1,6 | 0,9 | 1,9 | 3,1 | 3,3 | 0,2 | 0,8 | 2,1 | 1,6 | 0,0 |
| 28 | 4,2 | 7,9 | 2,2 | 0,4 | 6,1 | 0,5 | 0,9 | 1,4 | 1,6 | 3,7 | 0,3 | 1,2 | 3,2 | 2,6 | 0,0 |
| 30 | 3,6 | 3,3 | 2,0 | 0,3 | 2,0 | 0,6 | 0,5 | 0,9 | 1,3 | 3,1 | 0,3 | 0,8 | 1,4 | 2,2 | 0,0 |
| 32 | 3,3 | 3,4 | 1,7 | 0,2 | 1,7 | 0,4 | 0,4 | 1,4 | 0,9 | 2,0 | 0,1 | 0,8 | 1,1 | 1,6 | 0,0 |
| 34 | 2,6 | 2,2 | 1,3 | 0,1 | 0,9 | 0,4 | 0,2 | 0,2 | 0,8 | 1,5 | 0,0 | 0,3 | 0,8 | 1,2 | 0,0 |
| 36 | 2,4 | 1,2 | 1,1 | 0,1 | 0,5 | 0,1 | 0,1 | 0,2 | 0,5 | 0,8 | 0,0 | 0,1 | 1,0 | 0,6 | 0,0 |
| 38 | 2,2 | 0,8 | 0,9 | 0,0 | 0,4 | 0,1 | 0,1 | 0,1 | 0,4 | 0,4 | 0,0 | 0,1 | 0,7 | 0,7 | 0,0 |
| 40 | 1,8 | 0,5 | 0,7 | 0,0 | 0,4 | 0,0 | 0,0 | 0,1 | 0,3 | 0,4 | 0,0 | 0,1 | 0,6 | 0,4 | 0,0 |
| 42 | 1,7 | 0,4 | 0,6 | 0,0 | 0,3 | 0,0 | 0,0 | 0,1 | 0,3 | 0,2 | 0,0 | 0,0 | 0,5 | 0,4 | 0,0 |
| 44 | 1,5 | 0,2 | 0,5 | 0,0 | 0,2 | 0,0 | 0,0 | 0,0 | 0,2 | 0,2 | 0,0 | 0,0 | 0,4 | 0,4 | 0,0 |
| 46 | 1,3 | 0,1 | 0,5 | 0,0 | 0,2 | 0,0 | 0,0 | 0,0 | 0,1 | 0,1 | 0,0 | 0,0 | 0,4 | 0,3 | 0,0 |
| 48 | 1,9 | 0,1 | 2,0 | 0,0 | 0,1 | 0,0 | 0,0 | 0,0 | 0,2 | 0,1 | 0,0 | 0,0 | 1,0 | 4,7 | 0,0 |

Fonte: Do autor(2021)

A Figura 5.10 e a Tabela 5.13 apresentam os *speedups* obtidos pelo algoritmo $PBFS_O$ nos grafos *conexos* não direcionados, na máquina *CLX*. Todos os grafos apresentaram *speedup* significativo e nenhum grafo apresentou *slowdown* de forma majoritária para os diferentes números de *threads*. Os melhores *speedups* máximos foram obtidos pelos grafos *com-Friendster*, *GAP-urand* e *mycielskian20*, enquanto os piores foram obtidos pelos grafos *delaunay_n24*, *eu-rope_osm* e *Flan_1565*. O perfil das curvas de *speedup* foi, em geral, de decréscimo para um número de *threads* maior que 24, embora 4 grafos tenham apresentado crescimento significativo a partir dessa quantidade de *threads*, assim a utilização do *hyperthreading* afetou negativamente o desempenho do $PBFS_H$ na maioria dos grafos deste teste.

Figura 5.10 – Gráfico com os *speedups* obtidos pelo algoritmo $PBFS_O$ nos grafos *conexos* não direcionados, na máquina *CLX*.



Fonte: Do autor(2021)

Tabela 5.13 – *Speedups* obtidos pelo algoritmo $PBFS_O$ nos grafos *conexos* não direcionados, na máquina *CLX*

| Número de threads | GAP-urand | com-Friendster | mycielskian20 | mycielskian19 | nlpkkt240 | nlpkkt200 | mycielskian18 | com-Orkut | nlpkkt160 | Flan_1565 | europe_osm | delaunay_n24 | mycielskian17 | nlpkkt120 | dielFilterV3real |
|-------------------|-----------|----------------|---------------|---------------|-----------|-----------|---------------|-----------|-----------|-----------|------------|--------------|---------------|-----------|------------------|
| 2 | 2,0 | 1,6 | 2,0 | 2,0 | 1,9 | 1,9 | 1,9 | 1,9 | 1,5 | 1,8 | 1,7 | 1,8 | 2,0 | 1,9 | 1,9 |
| 4 | 4,7 | 3,0 | 3,8 | 3,8 | 3,6 | 3,6 | 3,7 | 3,8 | 2,8 | 3,4 | 2,8 | 2,8 | 3,7 | 2,8 | 3,7 |
| 6 | 7,3 | 4,4 | 5,6 | 5,6 | 4,8 | 4,7 | 5,4 | 5,6 | 4,3 | 4,8 | 3,6 | 4,1 | 5,4 | 4,1 | 4,9 |
| 8 | 8,7 | 5,9 | 7,3 | 7,3 | 5,7 | 5,6 | 7,1 | 6,7 | 5,9 | 5,9 | 4,1 | 4,3 | 7,1 | 5,3 | 6,2 |
| 10 | 10,6 | 7,2 | 9,1 | 9,1 | 6,6 | 7,0 | 8,9 | 7,9 | 6,7 | 7,2 | 4,3 | 5,3 | 8,8 | 6,5 | 7,3 |
| 12 | 13,0 | 8,5 | 10,9 | 10,8 | 7,6 | 8,4 | 10,0 | 9,4 | 8,1 | 8,2 | 3,5 | 5,8 | 9,8 | 7,5 | 8,6 |
| 14 | 14,6 | 9,9 | 12,7 | 12,6 | 8,6 | 9,6 | 11,6 | 10,5 | 9,0 | 8,7 | 3,3 | 5,7 | 11,3 | 8,5 | 9,5 |
| 16 | 16,1 | 11,1 | 14,5 | 14,3 | 9,6 | 10,5 | 12,5 | 11,6 | 10,0 | 8,8 | 3,0 | 5,8 | 12,7 | 9,3 | 10,5 |
| 18 | 19,0 | 12,4 | 16,2 | 16,0 | 10,5 | 11,9 | 13,7 | 12,9 | 10,9 | 9,3 | 3,2 | 5,9 | 13,4 | 10,0 | 10,9 |
| 20 | 19,8 | 13,4 | 17,9 | 17,7 | 11,3 | 12,9 | 14,5 | 14,0 | 11,7 | 9,2 | 2,7 | 6,0 | 14,3 | 10,6 | 10,1 |
| 22 | 22,4 | 14,8 | 19,5 | 19,0 | 12,3 | 13,1 | 15,5 | 15,3 | 12,6 | 9,5 | 2,7 | 5,0 | 14,8 | 11,1 | 11,8 |
| 24 | 22,5 | 14,4 | 20,4 | 20,2 | 11,5 | 9,2 | 13,9 | 13,6 | 8,9 | 9,5 | 2,1 | 4,6 | 16,1 | 6,1 | 11,8 |
| 26 | 22,3 | 14,2 | 21,8 | 21,4 | 6,7 | 3,8 | 18,0 | 12,3 | 5,8 | 6,1 | 0,8 | 1,8 | 15,2 | 3,5 | 6,4 |
| 28 | 21,9 | 14,4 | 23,4 | 22,5 | 4,1 | 3,0 | 13,7 | 11,2 | 2,9 | 3,4 | 0,6 | 1,1 | 4,8 | 3,3 | 5,0 |
| 30 | 21,9 | 14,2 | 25,0 | 24,1 | 3,4 | 2,9 | 12,0 | 10,6 | 2,1 | 2,6 | 0,5 | 0,8 | 16,5 | 1,6 | 4,9 |
| 32 | 21,8 | 15,0 | 25,2 | 24,6 | 3,1 | 2,2 | 13,9 | 11,4 | 1,8 | 2,0 | 0,4 | 0,5 | 11,8 | 1,3 | 2,8 |
| 34 | 22,1 | 14,4 | 26,4 | 25,7 | 2,5 | 2,0 | 10,9 | 8,7 | 1,4 | 1,1 | 0,2 | 0,4 | 8,0 | 1,1 | 2,2 |
| 36 | 22,4 | 14,3 | 27,9 | 27,0 | 2,0 | 1,5 | 10,8 | 9,2 | 1,1 | 0,6 | 0,1 | 0,2 | 8,7 | 0,7 | 1,4 |
| 38 | 22,3 | 14,6 | 29,2 | 27,4 | 1,7 | 1,3 | 11,0 | 7,7 | 0,9 | 0,5 | 0,1 | 0,2 | 4,5 | 0,6 | 1,1 |
| 40 | 22,5 | 14,7 | 29,3 | 29,2 | 1,4 | 1,1 | 9,3 | 7,0 | 0,7 | 0,3 | 0,0 | 0,1 | 5,3 | 0,5 | 0,7 |
| 42 | 22,3 | 13,9 | 30,4 | 28,9 | 1,2 | 1,0 | 8,8 | 6,5 | 0,6 | 0,3 | 0,0 | 0,1 | 5,5 | 0,4 | 0,6 |
| 44 | 22,5 | 17,6 | 31,4 | 28,5 | 1,1 | 0,8 | 8,1 | 6,7 | 0,6 | 0,2 | 0,0 | 0,1 | 4,2 | 0,3 | 0,5 |
| 46 | 34,9 | 31,2 | 32,3 | 31,0 | 1,0 | 0,8 | 7,9 | 6,3 | 0,5 | 0,2 | 0,0 | 0,1 | 3,8 | 0,3 | 0,4 |
| 48 | 45,4 | 32,4 | 28,8 | 30,5 | 1,2 | 2,8 | 13,8 | 13,3 | 1,8 | 0,1 | 0,0 | 0,1 | 5,0 | 0,9 | 0,4 |

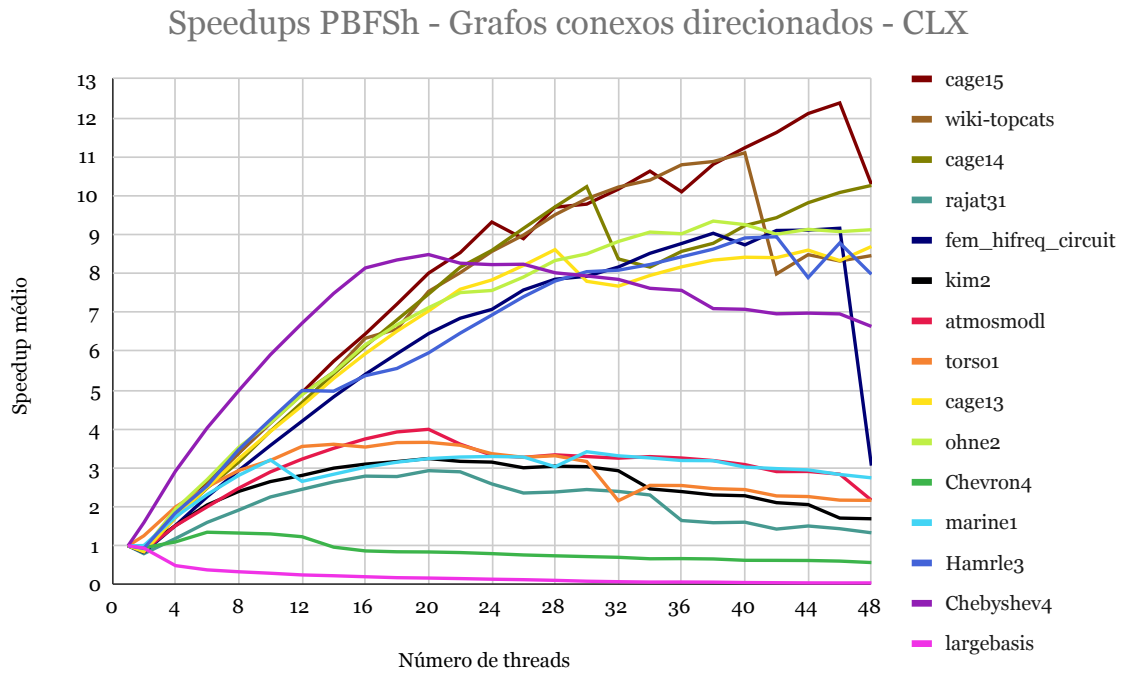
Fonte: Do autor(2021)

5.2.1.2 *Speedups* do algoritmo $PBFS_H$

A *Figura 5.11* e a *Tabela 5.14* apresentam os *speedups* obtidos pelo algoritmo $PBFS_H$ nos grafos *conexos* direcionados, na máquina *CLX*. 13 dos 15 grafos testados apresentaram *speedup* significativo e 2 grafos apresentaram majoritariamente *slowdown*. Os melhores *speedups* máximos foram obtidos pelos grafos *cage14*, *cage15* e *wiki-topcats*, enquanto os piores foram obtidos pelos grafos *Chevron4*, *largebasis* e *rajat31*. O perfil das curvas de *speedup* foi de crescimento em 7 grafos e de decréscimo leve nos demais para um número de *threads* maior que

24, assim a utilização do *hyperthreading* afetou positivamente o desempenho do $PBFS_H$ neste teste em 46,67% dos grafos testados.

Figura 5.11 – Gráfico com os *speedups* obtidos pelo algoritmo $PBFS_H$ nos grafos *conexos* direcionados, na máquina *CLX*.



Fonte: Do autor(2021)

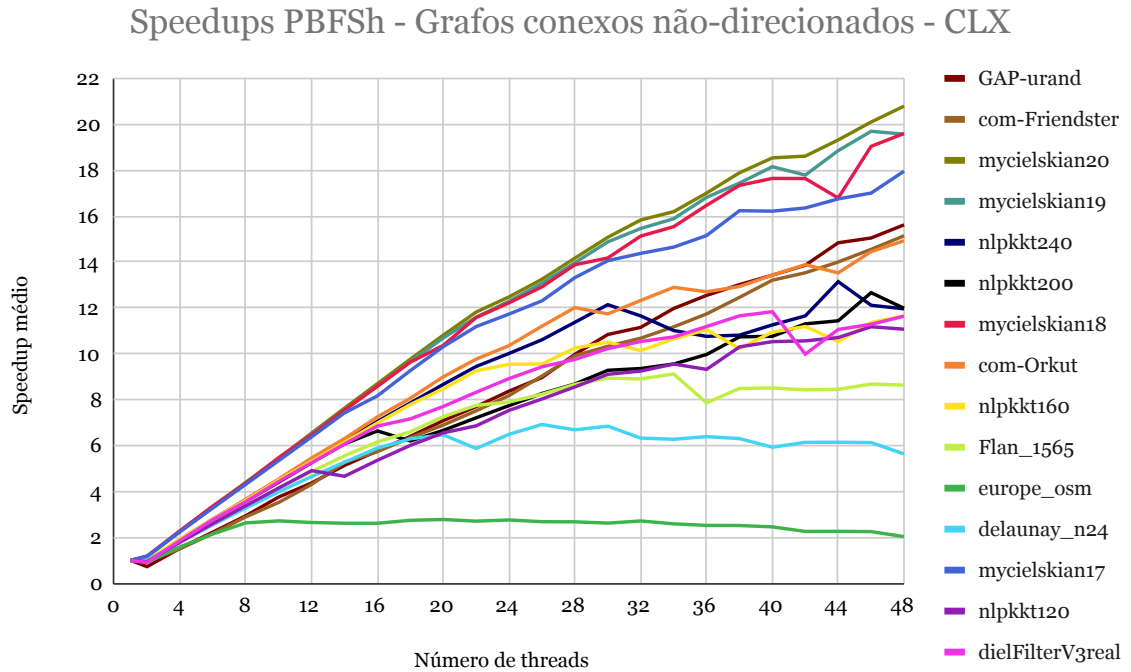
Tabela 5.14 – *Speedups* obtidos pelo algoritmo $PBFS_H$ nos grafos *conexos* direcionados, na máquina *CLX*

| Nº de threads | cage15 | wiki-topcats | cage14 | rajat31 | fem_hifreq_circuit | kim2 | atmosmodl | torso1 | cage13 | ohne2 | Chevron4 | marine1 | Hamrle3 | Chebyshev4 | largebasis |
|---------------|--------|--------------|--------|---------|--------------------|------|-----------|--------|--------|-------|----------|---------|---------|------------|------------|
| 2 | 0,9 | 0,9 | 0,8 | 0,8 | 0,8 | 0,9 | 0,9 | 1,3 | 0,8 | 0,9 | 0,9 | 1,0 | 0,9 | 1,6 | 0,9 |
| 4 | 1,8 | 1,7 | 1,7 | 1,2 | 1,5 | 1,5 | 1,5 | 2,0 | 1,7 | 1,9 | 1,1 | 1,7 | 1,8 | 2,9 | 0,5 |
| 6 | 2,6 | 2,6 | 2,5 | 1,6 | 2,3 | 2,1 | 2,0 | 2,5 | 2,5 | 2,7 | 1,3 | 2,3 | 2,5 | 4,0 | 0,4 |
| 8 | 3,4 | 3,4 | 3,2 | 1,9 | 2,9 | 2,4 | 2,5 | 2,9 | 3,2 | 3,5 | 1,3 | 2,8 | 3,5 | 5,0 | 0,3 |
| 10 | 4,2 | 4,1 | 3,9 | 2,3 | 3,6 | 2,7 | 2,9 | 3,2 | 3,9 | 4,2 | 1,3 | 3,2 | 4,2 | 5,9 | 0,3 |
| 12 | 4,9 | 4,9 | 4,7 | 2,5 | 4,2 | 2,8 | 3,2 | 3,6 | 4,6 | 4,9 | 1,2 | 2,7 | 5,0 | 6,7 | 0,3 |
| 14 | 5,7 | 5,5 | 5,4 | 2,6 | 4,8 | 3,0 | 3,5 | 3,6 | 5,3 | 5,5 | 1,0 | 2,8 | 5,0 | 7,5 | 0,2 |
| 16 | 6,4 | 6,3 | 6,1 | 2,8 | 5,4 | 3,1 | 3,7 | 3,5 | 5,9 | 6,2 | 0,9 | 3,0 | 5,4 | 8,1 | 0,2 |
| 18 | 7,2 | 6,6 | 6,8 | 2,8 | 5,9 | 3,2 | 3,9 | 3,7 | 6,5 | 6,7 | 0,8 | 3,1 | 5,6 | 8,3 | 0,2 |
| 20 | 8,0 | 7,5 | 7,5 | 2,9 | 6,5 | 3,2 | 4,0 | 3,7 | 7,0 | 7,1 | 0,8 | 3,2 | 6,0 | 8,5 | 0,2 |
| 22 | 8,5 | 8,0 | 8,2 | 2,9 | 6,8 | 3,2 | 3,6 | 3,6 | 7,6 | 7,5 | 0,8 | 3,3 | 6,5 | 8,3 | 0,2 |
| 24 | 9,3 | 8,6 | 8,6 | 2,6 | 7,1 | 3,2 | 3,3 | 3,4 | 7,8 | 7,6 | 0,8 | 3,3 | 6,9 | 8,2 | 0,1 |
| 26 | 8,9 | 9,0 | 9,2 | 2,4 | 7,6 | 3,0 | 3,3 | 3,3 | 8,2 | 7,9 | 0,8 | 3,3 | 7,4 | 8,2 | 0,1 |
| 28 | 9,7 | 9,5 | 9,7 | 2,4 | 7,9 | 3,0 | 3,3 | 3,3 | 8,6 | 8,3 | 0,7 | 3,0 | 7,8 | 8,0 | 0,1 |
| 30 | 9,8 | 9,9 | 10,2 | 2,4 | 7,9 | 3,0 | 3,3 | 3,2 | 7,8 | 8,5 | 0,7 | 3,4 | 8,0 | 7,9 | 0,1 |
| 32 | 10,2 | 10,2 | 8,4 | 2,4 | 8,2 | 2,9 | 3,3 | 2,2 | 7,7 | 8,8 | 0,7 | 3,3 | 8,1 | 7,8 | 0,1 |
| 34 | 10,6 | 10,4 | 8,2 | 2,3 | 8,5 | 2,5 | 3,3 | 2,6 | 7,9 | 9,1 | 0,7 | 3,3 | 8,2 | 7,6 | 0,1 |
| 36 | 10,1 | 10,8 | 8,6 | 1,6 | 8,8 | 2,4 | 3,3 | 2,5 | 8,2 | 9,0 | 0,7 | 3,2 | 8,4 | 7,6 | 0,1 |
| 38 | 10,8 | 10,9 | 8,8 | 1,6 | 9,0 | 2,3 | 3,2 | 2,5 | 8,3 | 9,3 | 0,7 | 3,2 | 8,6 | 7,1 | 0,1 |
| 40 | 11,2 | 11,1 | 9,2 | 1,6 | 8,7 | 2,3 | 3,1 | 2,4 | 8,4 | 9,3 | 0,6 | 3,0 | 8,9 | 7,1 | 0,1 |
| 42 | 11,6 | 8,0 | 9,4 | 1,4 | 9,1 | 2,1 | 2,9 | 2,3 | 8,4 | 9,0 | 0,6 | 3,0 | 8,9 | 7,0 | 0,1 |
| 44 | 12,1 | 8,5 | 9,8 | 1,5 | 9,1 | 2,1 | 2,9 | 2,3 | 8,6 | 9,1 | 0,6 | 3,0 | 7,9 | 7,0 | 0,0 |
| 46 | 12,4 | 8,3 | 10,1 | 1,4 | 9,2 | 1,7 | 2,8 | 2,2 | 8,3 | 9,1 | 0,6 | 2,8 | 8,8 | 7,0 | 0,0 |
| 48 | 10,3 | 8,5 | 10,3 | 1,3 | 3,1 | 1,7 | 2,2 | 2,2 | 8,7 | 9,1 | 0,6 | 2,7 | 8,0 | 6,6 | 0,0 |

Fonte: Do autor(2021)

A Figura 5.12 e a Tabela 5.15 apresentam os *speedups* obtidos pelo algoritmo $PBFS_H$ nos grafos *conexos* não direcionados, na máquina *CLX*. Todos os grafos apresentaram *speedup* significativo e nenhum grafo apresentou majoritariamente *slowdown* para os diferentes números de *threads* usados. Os melhores *speedups* máximos foram obtidos pelos grafos *mycielskian18*, *mycielskian19* e *mycielskian20*, enquanto os piores foram obtidos pelos grafos *delaunay_n24*, *europe_osm* e *Flan_1565*. O perfil das curvas de *speedup* foi, em geral, de crescimento para um número de *threads* maior que 24, indicando que a utilização do *hyperthreading* afetou positivamente o desempenho do $PBFS_H$ neste teste.

Figura 5.12 – Gráfico com os *speedups* obtidos pelo algoritmo $PBFS_H$ nos grafos *conexos* não direcionados, na máquina *CLX*.



Fonte: Do autor(2021)

Tabela 5.15 – *Speedups* obtidos pelo algoritmo $PBFS_H$ nos grafos *conexos* não direcionados, na máquina *CLX*

| Número de threads | GAP-urand | com-Friendster | mycielskian20 | mycielskian19 | nlpkkt240 | nlpkkt200 | mycielskian18 | com-Orkut | nlpkkt160 | Flan_1565 | europa_osm | delaunay_n24 | mycielskian17 | nlpkkt120 | dielFilterV3real |
|-------------------|-----------|----------------|---------------|---------------|-----------|-----------|---------------|-----------|-----------|-----------|------------|--------------|---------------|-----------|------------------|
| 2 | 0,7 | 1,0 | 1,2 | 1,2 | 1,0 | 1,0 | 1,2 | 1,0 | 1,0 | 1,0 | 0,9 | 1,0 | 1,2 | 0,9 | 0,9 |
| 4 | 1,5 | 1,5 | 2,3 | 2,2 | 1,9 | 1,9 | 2,3 | 1,9 | 1,9 | 1,8 | 1,6 | 1,8 | 2,2 | 1,8 | 1,9 |
| 6 | 2,2 | 2,2 | 3,4 | 3,3 | 2,8 | 2,7 | 3,4 | 2,8 | 2,8 | 2,6 | 2,2 | 2,6 | 3,3 | 2,6 | 2,8 |
| 8 | 2,9 | 2,9 | 4,4 | 4,3 | 3,6 | 3,6 | 4,4 | 3,7 | 3,6 | 3,4 | 2,6 | 3,3 | 4,3 | 3,4 | 3,6 |
| 10 | 3,8 | 3,5 | 5,5 | 5,4 | 4,5 | 4,4 | 5,5 | 4,5 | 4,5 | 4,2 | 2,7 | 4,0 | 5,3 | 4,2 | 4,4 |
| 12 | 4,4 | 4,3 | 6,5 | 6,5 | 5,3 | 5,3 | 6,5 | 5,5 | 5,3 | 4,9 | 2,6 | 4,7 | 6,4 | 4,9 | 5,3 |
| 14 | 5,1 | 5,3 | 7,6 | 7,5 | 6,2 | 6,1 | 7,6 | 6,3 | 6,1 | 5,6 | 2,6 | 5,3 | 7,4 | 4,7 | 6,1 |
| 16 | 5,8 | 5,7 | 8,7 | 8,6 | 7,1 | 6,6 | 8,6 | 7,3 | 7,0 | 6,2 | 2,6 | 5,9 | 8,2 | 5,4 | 6,9 |
| 18 | 6,4 | 6,3 | 9,8 | 9,7 | 7,9 | 6,2 | 9,6 | 8,1 | 7,8 | 6,6 | 2,7 | 6,3 | 9,3 | 6,0 | 7,2 |
| 20 | 7,1 | 6,9 | 10,8 | 10,7 | 8,7 | 6,7 | 10,4 | 9,0 | 8,5 | 7,3 | 2,8 | 6,5 | 10,3 | 6,6 | 7,7 |
| 22 | 7,7 | 7,5 | 11,8 | 11,6 | 9,4 | 7,2 | 11,6 | 9,8 | 9,3 | 7,8 | 2,7 | 5,9 | 11,2 | 6,9 | 8,3 |
| 24 | 8,4 | 8,2 | 12,5 | 12,3 | 10,0 | 7,7 | 12,2 | 10,4 | 9,5 | 7,9 | 2,8 | 6,5 | 11,7 | 7,5 | 8,9 |
| 26 | 9,0 | 9,0 | 13,2 | 13,1 | 10,6 | 8,3 | 12,9 | 11,2 | 9,6 | 8,2 | 2,7 | 6,9 | 12,3 | 8,0 | 9,4 |
| 28 | 10,0 | 9,9 | 14,2 | 14,0 | 11,4 | 8,7 | 13,9 | 12,0 | 10,2 | 8,7 | 2,7 | 6,7 | 13,3 | 8,6 | 9,8 |
| 30 | 10,8 | 10,3 | 15,1 | 14,9 | 12,1 | 9,3 | 14,2 | 11,7 | 10,5 | 8,9 | 2,6 | 6,8 | 14,1 | 9,1 | 10,2 |
| 32 | 11,2 | 10,7 | 15,8 | 15,5 | 11,6 | 9,4 | 15,1 | 12,3 | 10,1 | 8,9 | 2,7 | 6,3 | 14,4 | 9,2 | 10,5 |
| 34 | 12,0 | 11,2 | 16,2 | 15,9 | 11,0 | 9,6 | 15,5 | 12,9 | 10,6 | 9,1 | 2,6 | 6,3 | 14,6 | 9,6 | 10,7 |
| 36 | 12,5 | 11,7 | 17,0 | 16,8 | 10,8 | 10,0 | 16,5 | 12,7 | 11,1 | 7,9 | 2,5 | 6,4 | 15,2 | 9,3 | 11,2 |
| 38 | 13,0 | 12,5 | 17,9 | 17,4 | 10,8 | 10,7 | 17,3 | 12,9 | 10,2 | 8,5 | 2,5 | 6,3 | 16,2 | 10,3 | 11,7 |
| 40 | 13,4 | 13,2 | 18,5 | 18,2 | 11,3 | 10,8 | 17,6 | 13,4 | 10,9 | 8,5 | 2,5 | 5,9 | 16,2 | 10,5 | 11,8 |
| 42 | 13,9 | 13,5 | 18,6 | 17,8 | 11,6 | 11,3 | 17,6 | 13,9 | 11,2 | 8,4 | 2,3 | 6,1 | 16,4 | 10,6 | 10,0 |
| 44 | 14,8 | 14,0 | 19,3 | 18,9 | 13,1 | 11,4 | 16,8 | 13,5 | 10,5 | 8,5 | 2,3 | 6,1 | 16,7 | 10,7 | 11,1 |
| 46 | 15,0 | 14,6 | 20,1 | 19,7 | 12,1 | 12,7 | 19,0 | 14,5 | 11,4 | 8,7 | 2,3 | 6,1 | 17,0 | 11,2 | 11,3 |
| 48 | 15,6 | 15,1 | 20,8 | 19,6 | 12,0 | 12,0 | 19,6 | 14,9 | 11,7 | 8,6 | 2,0 | 5,6 | 18,0 | 11,1 | 11,6 |

Fonte: Do autor(2021)

5.2.2 Grafos não conexos

Esta seção apresenta os resultados dos testes dos algoritmos $PBFS_O$ (Seção 5.2.2.1) e $PBFS_H$ (Seção 5.2.2.2) nos grafos *não conexos*, na máquina *CLX*. A Tabela 5.16 exibe os tempos de execução sequenciais dos algoritmos BFS , $PBFS_O$ e $PBFS_H$ nesses testes. Para cada um dos grafos, a Tabela 5.16 também exibe os detalhes da componente fortemente conectada (CFC) utilizada, onde v_0 representa o vértice inicial da busca em largura utilizado pelos algoritmos e que é também o identificador da CFC testada, $|V|_{CFC}$ e $|A|_{CFC}$ representam o número de vértices e arestas dessa CFC , respectivamente.

Tabela 5.16 – Tempos de execução sequenciais (em segundos) dos algoritmos BFS , $PBFS_O$, e $PBFS_H$ nos grafos *não conexos*, na máquina *CLX*.

| Nº Grafo | BFS* | PBFS _O | BFS** | PBFS _H | v ₀ | V _{CFC} | A _{CFC} |
|----------------------|--------|-------------------|--------|-------------------|----------------|-------------------|-------------------|
| 1 sk-2005 | 0,13 | 0,11 | 0,09 | 0,11 | 19.879.528 | 16.016 | 104.502 |
| 2 GAP-web | 0,13 | 0,11 | 0,10 | 0,12 | 19.879.528 | 16.016 | 91.686 |
| 3 twitter7 | 47,45 | 47,18 | 52,35 | 48,05 | 4.597.022 | 35.016.137 | 1.415.799.538 |
| 4 GAP-twitter | 49,50 | 48,06 | 49,78 | 47,42 | 19.058.682 | 35.016.137 | 1.415.799.261 |
| 5 it-2004 | 0,13 | 0,12 | 0,10 | 0,12 | 1.906.277 | 9.995 | 40.365 |
| 6 webbase-2001 | 0,40 | 0,37 | 0,28 | 0,34 | 86.002.303 | 3.842 | 3.841 |
| 7 uk-2005 | 0,10 | 0,09 | 0,07 | 0,09 | 21.049.533 | 5.609 | 21.961 |
| 8 arabic-2005 | 0,06 | 0,05 | 0,04 | 0,05 | 2.960.954 | 9.965 | 19.920 |
| 9 stokes | 5,30 | 4,99 | 5,25 | 4,99 | 10.901.764 | 11.303.355 | 349.175.802 |
| 10 uk-2002 | 5,49 | 4,70 | 5,46 | 4,79 | 15.353.975 | 17.994.090 | 289.864.964 |
| 11 HV15R | 3,04 | 2,96 | 2,99 | 2,99 | 265.192 | 2.017.169 | 283.073.458 |
| 12 indochina-2004 | 0,38 | 0,38 | 0,37 | 0,37 | 6.086.394 | 6.987 | 48.228.945 |
| 13 vas_stokes_4M | 1,99 | 1,88 | 1,96 | 1,87 | 3.429.948 | 4.309.660 | 131.456.523 |
| 14 ML_Geer | 0,95 | 0,95 | 0,95 | 0,93 | 43 | 1.504.002 | 110.879.972 |
| 15 ljournal-2008 | 2,16 | 1,87 | 2,11 | 1,87 | 5.178.078 | 4.815.948 | 77.879.760 |
| 16 GAP-kron | 159,01 | 152,58 | 161,11 | 154,39 | 71.328.661 | 63.032.893 | 2.111.611.751 |
| 17 mawi_201512020330 | 18,32 | 10,97 | 17,92 | 10,63 | 104.492.306 | 213.682.593 | 231.407.318 |
| 18 kmer_V1r | 93,51 | 80,75 | 105,42 | 110,65 | 2 | 214.004.392 | 232.704.832 |
| 19 kmer_A2a | 75,43 | 87,36 | 73,03 | 75,89 | 21.095.627 | 170.372.459 | 179.941.739 |
| 20 Queen_4147 | 2,82 | 2,91 | 2,80 | 2,90 | 19 | 4.147.110 | 166.823.197 |
| 21 kmer_P1a | 59,84 | 51,62 | 58,91 | 49,93 | 414.528 | 138.896.082 | 148.465.346 |
| 22 mawi_201512020130 | 10,53 | 6,21 | 10,34 | 6,20 | 58.782.752 | 121.594.511 | 130.268.466 |
| 23 rgg_n_2_24_s0 | 7,91 | 7,19 | 7,90 | 7,25 | 2.421.853 | 16.777.215 | 132.557.200 |
| 24 kron_g500-logn21 | 2,89 | 2,78 | 2,61 | 2,60 | 1.930.587 | 1.543.901 | 91.041.917 |
| 25 mawi_201512020030 | 5,71 | 3,49 | 5,58 | 3,37 | 31.413.874 | 64.912.184 | 69.026.990 |
| 26 kmer_U1a | 26,74 | 23,19 | 34,69 | 31,08 | 10.669.071 | 64.678.340 | 66.393.629 |
| 27 Bump_2911 | 1,46 | 1,37 | 1,44 | 1,35 | 1.035.677 | 2.852.430 | 65.261.670 |
| 28 rgg_n_2_23_s0 | 3,70 | 3,34 | 3,59 | 3,27 | 1.210.948 | 8.388.601 | 63.501.390 |
| 29 Cube_Coup_dt6 | 1,14 | 1,16 | 1,14 | 1,16 | 181 | 2.164.760 | 64.685.452 |
| 30 Cube_Coup_dt0 | 1,14 | 1,17 | 1,16 | 1,21 | 181 | 2.164.760 | 64.685.452 |

* Obtidos imediatamente antes de cada teste com o algoritmo $PBFS_O$.

** Obtidos imediatamente antes de cada teste com o algoritmo $PBFS_H$.

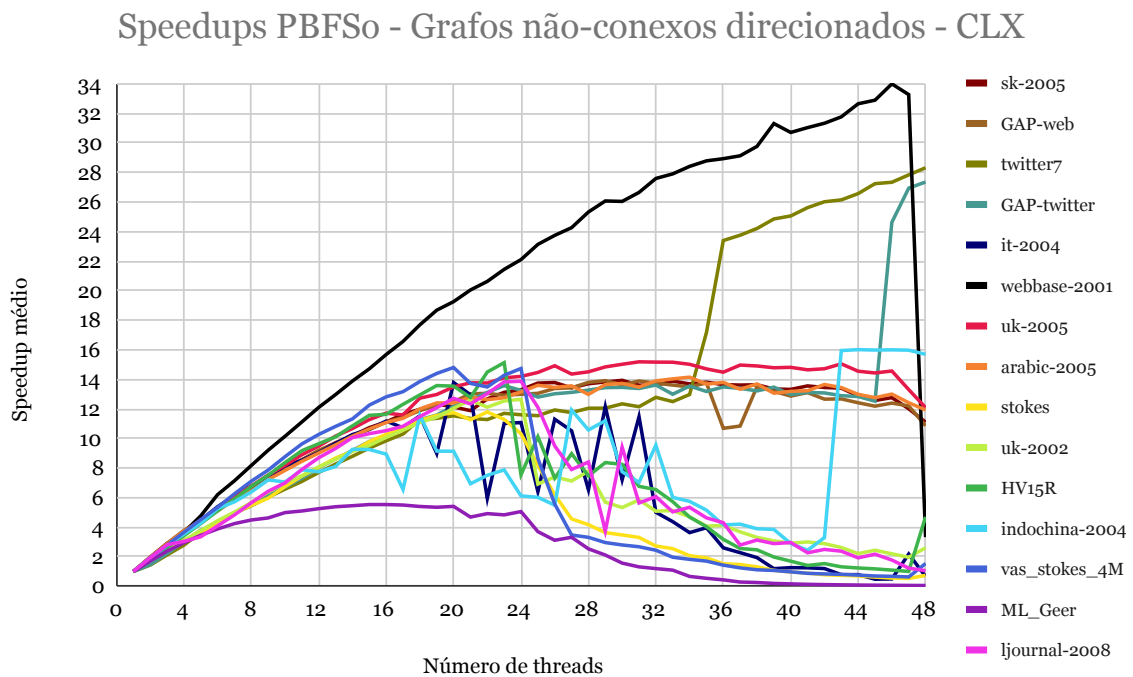
Fonte: Do autor(2021)

Na *Tabela 5.16*, observa-se que, em geral, os algoritmos paralelos executados sequencialmente foram mais rápidos que o algoritmo BFS . O $PBFS_O$ foi mais lento que o BFS em apenas 4 dos 30 grafos testados e a média geométrica dos tempos de execução sequenciais nesses grafos foi 10,62% menor (mais rápida) no $PBFS_O$. O algoritmo $PBFS_H$ foi mais lento que o BFS em 11 dos 30 grafos testados e a média geométrica dos tempos de execução sequenciais nesses grafos foi 4,23% menor (mais rápida) no $PBFS_H$.

5.2.2.1 Speedups do algoritmo $PBFS_0$

A Figura 5.13 e a Tabela 5.17 apresentam os *speedups* obtidos pelo algoritmo $PBFS_0$ nos grafos *não conexos* direcionados, na máquina *CLX*. Todos os grafos apresentaram *speedup* significativo e nenhum grafo apresentou majoritariamente *slowdown* para a maioria dos números de *threads* utilizados. Os melhores *speedups* máximos foram obtidos pelos grafos *GAP-twitter*, *twitter7* e *webbase-2001*, enquanto os piores foram obtidos pelos grafos *ML_Geer*, *stokes* e *uk-2002*. O perfil das curvas de *speedup* foi, em geral, de decréscimo/estabilidade para um número de *threads* maior que 24, indicando que a utilização do *hyperthreading* afetou negativamente o desempenho do $PBFS_0$ neste teste.

Figura 5.13 – Gráfico com os *speedups* obtidos pelo algoritmo $PBFS_0$ nos grafos *não conexos* direcionados, na máquina *CLX*.



Fonte: Do autor(2021)

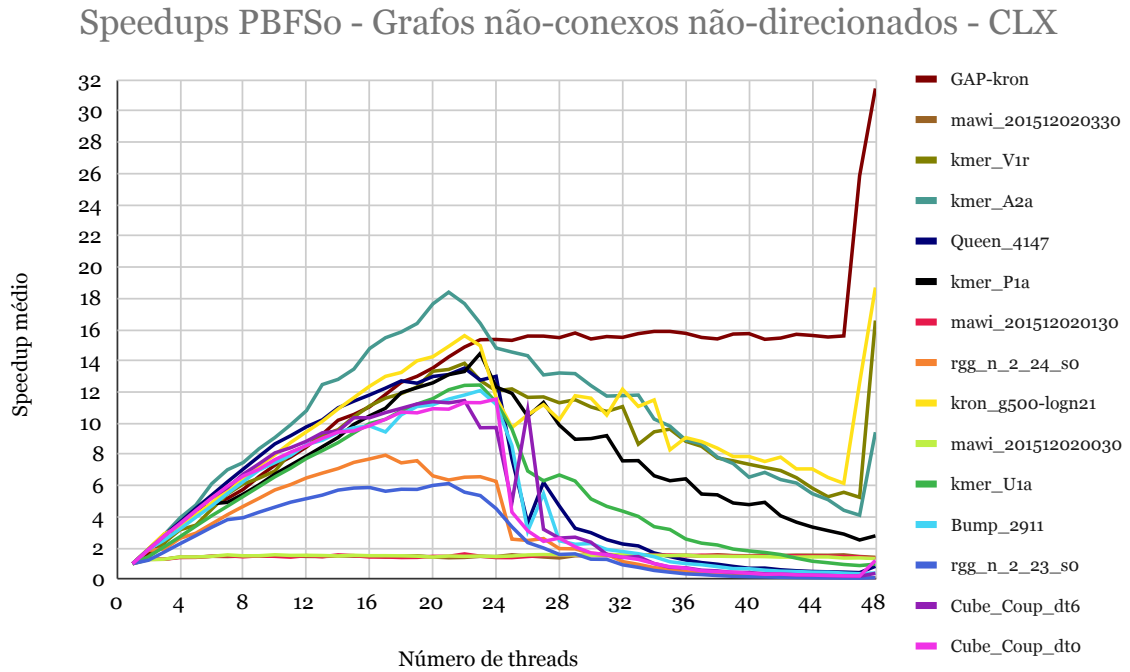
Tabela 5.17 – *Speedups* obtidos pelo algoritmo $PBFS_O$ nos grafos *não conexos* direcionados, na máquina *CLX*

| Número de threads | sk-2005 | GAP-web | twitter7 | GAP-twitter | it-2004 | webbase-2001 | uk-2005 | arabic-2005 | stokes | uk-2002 | HV15R | indochina-2004 | vas_stokes_4M | ML_Geer | ljournal-2008 |
|-------------------|---------|---------|----------|-------------|---------|--------------|---------|-------------|--------|---------|-------|----------------|---------------|---------|---------------|
| 2 | 2,0 | 2,0 | 1,4 | 1,5 | 1,8 | 1,8 | 1,9 | 1,9 | 1,9 | 1,9 | 1,8 | 1,9 | 1,9 | 1,7 | 1,9 |
| 4 | 3,6 | 3,8 | 2,8 | 3,0 | 3,6 | 3,6 | 3,7 | 3,7 | 3,1 | 3,1 | 3,4 | 3,5 | 3,7 | 2,9 | 3,0 |
| 6 | 5,2 | 5,3 | 4,2 | 4,2 | 5,4 | 6,2 | 5,3 | 5,1 | 4,2 | 4,4 | 5,1 | 5,3 | 5,3 | 3,9 | 4,1 |
| 8 | 6,5 | 6,7 | 5,4 | 5,5 | 6,8 | 8,2 | 6,8 | 6,4 | 5,5 | 5,7 | 6,8 | 6,4 | 7,1 | 4,5 | 5,7 |
| 10 | 7,9 | 8,0 | 6,6 | 6,7 | 8,1 | 10,2 | 8,2 | 7,8 | 6,7 | 7,0 | 8,4 | 7,1 | 8,8 | 5,0 | 7,0 |
| 12 | 9,2 | 9,2 | 7,7 | 8,0 | 9,1 | 12,1 | 9,5 | 9,0 | 8,1 | 8,1 | 9,6 | 7,7 | 10,3 | 5,3 | 8,7 |
| 14 | 10,2 | 10,2 | 8,8 | 9,2 | 10,3 | 13,9 | 10,7 | 10,2 | 9,1 | 9,1 | 10,9 | 9,3 | 11,3 | 5,5 | 10,1 |
| 16 | 11,1 | 11,1 | 9,8 | 10,2 | 11,2 | 15,7 | 11,7 | 11,1 | 10,3 | 10,1 | 11,6 | 8,9 | 12,8 | 5,5 | 10,5 |
| 18 | 12,0 | 11,9 | 11,3 | 11,3 | 11,5 | 17,7 | 12,7 | 12,0 | 11,2 | 11,1 | 13,0 | 11,6 | 13,9 | 5,4 | 11,5 |
| 20 | 12,1 | 12,5 | 11,5 | 12,2 | 13,8 | 19,3 | 13,5 | 12,4 | 11,8 | 12,0 | 13,5 | 9,1 | 14,8 | 5,4 | 12,7 |
| 22 | 12,7 | 13,1 | 11,3 | 13,1 | 6,0 | 20,6 | 13,8 | 12,6 | 11,8 | 12,1 | 14,5 | 7,5 | 13,5 | 4,9 | 13,0 |
| 24 | 13,3 | 13,0 | 11,6 | 13,3 | 11,1 | 22,1 | 14,2 | 13,2 | 10,3 | 12,7 | 7,6 | 6,1 | 14,7 | 5,1 | 13,9 |
| 26 | 13,8 | 13,4 | 11,9 | 13,0 | 11,3 | 23,7 | 14,9 | 13,5 | 6,2 | 7,4 | 7,3 | 5,5 | 5,6 | 3,1 | 9,5 |
| 28 | 13,7 | 13,8 | 12,0 | 13,3 | 6,5 | 25,3 | 14,5 | 13,0 | 4,2 | 7,8 | 7,5 | 10,6 | 3,3 | 2,5 | 8,4 |
| 30 | 13,9 | 13,6 | 12,3 | 13,5 | 7,2 | 26,0 | 15,0 | 13,7 | 3,5 | 5,3 | 8,3 | 7,8 | 2,8 | 1,6 | 9,4 |
| 32 | 13,6 | 13,7 | 12,8 | 13,6 | 5,0 | 27,6 | 15,2 | 13,9 | 2,7 | 5,1 | 6,5 | 9,5 | 2,4 | 1,2 | 6,1 |
| 34 | 13,7 | 13,5 | 13,0 | 13,6 | 3,6 | 28,4 | 15,0 | 14,2 | 2,1 | 4,7 | 4,7 | 5,7 | 1,8 | 0,7 | 5,3 |
| 36 | 13,6 | 10,7 | 23,4 | 13,5 | 2,6 | 28,9 | 14,5 | 13,8 | 1,5 | 4,1 | 3,2 | 4,2 | 1,4 | 0,4 | 4,3 |
| 38 | 13,6 | 13,5 | 24,2 | 13,2 | 1,9 | 29,8 | 14,9 | 13,7 | 1,3 | 3,3 | 2,5 | 3,9 | 1,1 | 0,3 | 3,1 |
| 40 | 13,3 | 12,9 | 25,1 | 13,0 | 1,3 | 30,7 | 14,8 | 13,2 | 1,0 | 2,9 | 1,7 | 2,9 | 1,0 | 0,2 | 3,0 |
| 42 | 13,5 | 12,7 | 26,0 | 13,1 | 1,2 | 31,3 | 14,7 | 13,7 | 0,8 | 2,9 | 1,5 | 3,3 | 0,8 | 0,1 | 2,5 |
| 44 | 12,9 | 12,4 | 26,6 | 12,8 | 0,8 | 32,7 | 14,6 | 13,0 | 0,7 | 2,2 | 1,2 | 16,0 | 0,8 | 0,1 | 1,9 |
| 46 | 12,8 | 12,4 | 27,3 | 24,6 | 0,5 | 34,0 | 14,6 | 13,0 | 0,6 | 2,2 | 1,1 | 16,0 | 0,7 | 0,1 | 1,8 |
| 48 | 11,1 | 10,9 | 28,3 | 27,4 | 0,7 | 3,3 | 12,1 | 11,9 | 0,7 | 2,6 | 4,7 | 15,7 | 1,5 | 0,1 | 1,1 |

Fonte: Do autor(2021)

A *Figura 5.14* e a *Tabela 5.18* apresentam os *speedups* obtidos pelo algoritmo $PBFS_O$ nos grafos *não conexos* não direcionados, na máquina *CLX*. Todos os grafos apresentaram *speedup* significativo e nenhum grafo apresentou majoritariamente *slowdown* para a maioria dos números de *threads* utilizados. Os melhores *speedups* máximos foram obtidos pelos grafos *GAP-kron*, *kmer_A2a* e *kron_g500-logn21*, enquanto os piores foram obtidos pelos grafos *mawi_201512020030*, *mawi_201512020130* e *mawi_201512020330*. O perfil das curvas de *speedup* foi, em geral, de decréscimo para um número de *threads* maior que 24, indicando que a utilização do *hyperthreading* afetou negativamente o desempenho do $PBFS_O$ neste teste.

Figura 5.14 – Gráfico com os *speedups* obtidos pelo algoritmo *PBFS₀* nos grafos *não conexos* não direcionados, na máquina *CLX*.



Fonte: Do autor(2021)

Tabela 5.18 – *Speedups* obtidos pelo algoritmo $PBFS_O$ nos grafos *não conexos* não direcionados, na máquina *CLX*

| Número de threads | GAP-kron | mawi_201512020330 | kmer_V1r | kmer_A2a | Queen_4147 | kmer_P1a | mawi_201512020130 | rgg_n_2_24_s0 | kron_g500-logn21 | mawi_201512020030 | kmer_U1a | Bump_2911 | rgg_n_2_23_s0 | Cube_Coup_dt6 | Cube_Coup_dt0 |
|-------------------|----------|-------------------|----------|----------|------------|----------|-------------------|---------------|------------------|-------------------|----------|-----------|---------------|---------------|---------------|
| 2 | 1,6 | 1,3 | 1,4 | 1,9 | 1,9 | 1,9 | 1,3 | 1,9 | 2,0 | 1,3 | 1,4 | 1,9 | 1,2 | 1,9 | 1,9 |
| 4 | 3,3 | 1,4 | 3,2 | 3,9 | 3,7 | 3,4 | 1,4 | 2,6 | 3,4 | 1,4 | 2,7 | 3,2 | 2,3 | 3,6 | 3,6 |
| 6 | 4,7 | 1,5 | 4,5 | 6,1 | 5,4 | 4,8 | 1,5 | 3,5 | 4,9 | 1,5 | 4,1 | 4,7 | 3,3 | 5,2 | 5,2 |
| 8 | 5,8 | 1,5 | 6,1 | 7,5 | 7,1 | 5,5 | 1,4 | 4,7 | 6,5 | 1,5 | 5,3 | 6,3 | 3,9 | 6,7 | 6,6 |
| 10 | 7,3 | 1,5 | 6,9 | 9,1 | 8,7 | 6,7 | 1,5 | 5,7 | 8,0 | 1,6 | 6,6 | 7,5 | 4,6 | 8,1 | 7,7 |
| 12 | 8,5 | 1,5 | 8,5 | 10,8 | 9,8 | 7,9 | 1,5 | 6,5 | 9,5 | 1,5 | 7,7 | 8,6 | 5,2 | 8,8 | 8,6 |
| 14 | 10,2 | 1,5 | 9,6 | 12,8 | 11,0 | 9,1 | 1,6 | 7,1 | 10,9 | 1,5 | 8,8 | 9,4 | 5,7 | 9,5 | 9,4 |
| 16 | 11,1 | 1,5 | 11,1 | 14,8 | 11,8 | 10,5 | 1,4 | 7,7 | 12,4 | 1,5 | 10,0 | 9,8 | 5,9 | 10,4 | 9,8 |
| 18 | 12,6 | 1,5 | 11,9 | 15,8 | 12,7 | 12,0 | 1,4 | 7,5 | 13,3 | 1,5 | 10,8 | 10,5 | 5,8 | 11,0 | 10,7 |
| 20 | 13,5 | 1,4 | 13,3 | 17,6 | 13,0 | 12,6 | 1,5 | 6,6 | 14,3 | 1,4 | 11,6 | 11,2 | 6,0 | 11,4 | 10,9 |
| 22 | 14,9 | 1,4 | 13,8 | 17,7 | 13,5 | 13,3 | 1,6 | 6,5 | 15,6 | 1,5 | 12,4 | 11,8 | 5,6 | 11,5 | 11,3 |
| 24 | 15,4 | 1,5 | 12,1 | 14,8 | 13,0 | 12,3 | 1,4 | 6,3 | 11,7 | 1,5 | 11,3 | 11,2 | 4,5 | 9,7 | 11,5 |
| 26 | 15,6 | 1,5 | 11,7 | 14,3 | 3,6 | 10,4 | 1,5 | 2,5 | 10,5 | 1,6 | 6,9 | 3,1 | 2,4 | 10,8 | 3,1 |
| 28 | 15,5 | 1,4 | 11,3 | 13,2 | 4,7 | 9,9 | 1,5 | 2,0 | 10,2 | 1,6 | 6,7 | 2,5 | 1,6 | 2,6 | 2,6 |
| 30 | 15,4 | 1,5 | 11,0 | 12,4 | 3,0 | 9,0 | 1,5 | 1,7 | 11,6 | 1,5 | 5,2 | 2,3 | 1,3 | 2,4 | 1,7 |
| 32 | 15,5 | 1,6 | 11,1 | 11,8 | 2,3 | 7,6 | 1,5 | 1,1 | 12,2 | 1,6 | 4,4 | 1,8 | 0,9 | 1,4 | 1,4 |
| 34 | 15,9 | 1,6 | 9,4 | 10,3 | 1,7 | 6,6 | 1,5 | 0,7 | 11,5 | 1,5 | 3,4 | 1,4 | 0,6 | 1,0 | 1,0 |
| 36 | 15,8 | 1,5 | 8,8 | 8,9 | 1,2 | 6,4 | 1,5 | 0,5 | 9,1 | 1,5 | 2,6 | 1,0 | 0,3 | 0,7 | 0,7 |
| 38 | 15,4 | 1,6 | 7,8 | 7,8 | 1,0 | 5,4 | 1,5 | 0,4 | 8,4 | 1,5 | 2,2 | 0,8 | 0,2 | 0,5 | 0,5 |
| 40 | 15,7 | 1,5 | 7,4 | 6,5 | 0,7 | 4,8 | 1,5 | 0,2 | 7,9 | 1,5 | 1,8 | 0,7 | 0,2 | 0,4 | 0,4 |
| 42 | 15,5 | 1,5 | 7,0 | 6,4 | 0,6 | 4,1 | 1,5 | 0,2 | 7,8 | 1,4 | 1,6 | 0,5 | 0,1 | 0,3 | 0,3 |
| 44 | 15,6 | 1,5 | 5,8 | 5,5 | 0,5 | 3,3 | 1,5 | 0,1 | 7,1 | 1,4 | 1,2 | 0,5 | 0,1 | 0,3 | 0,3 |
| 45 | 15,5 | 1,5 | 5,3 | 5,1 | 0,5 | 3,1 | 1,5 | 0,1 | 6,5 | 1,4 | 1,1 | 0,5 | 0,1 | 0,2 | 0,2 |
| 46 | 15,6 | 1,6 | 5,6 | 4,4 | 0,5 | 2,9 | 1,5 | 0,1 | 6,1 | 1,4 | 0,9 | 0,4 | 0,1 | 0,2 | 0,2 |
| 48 | 31,5 | 1,4 | 16,6 | 9,4 | 0,8 | 2,8 | 1,3 | 0,1 | 18,7 | 1,3 | 1,0 | 0,4 | 0,1 | 0,4 | 1,2 |

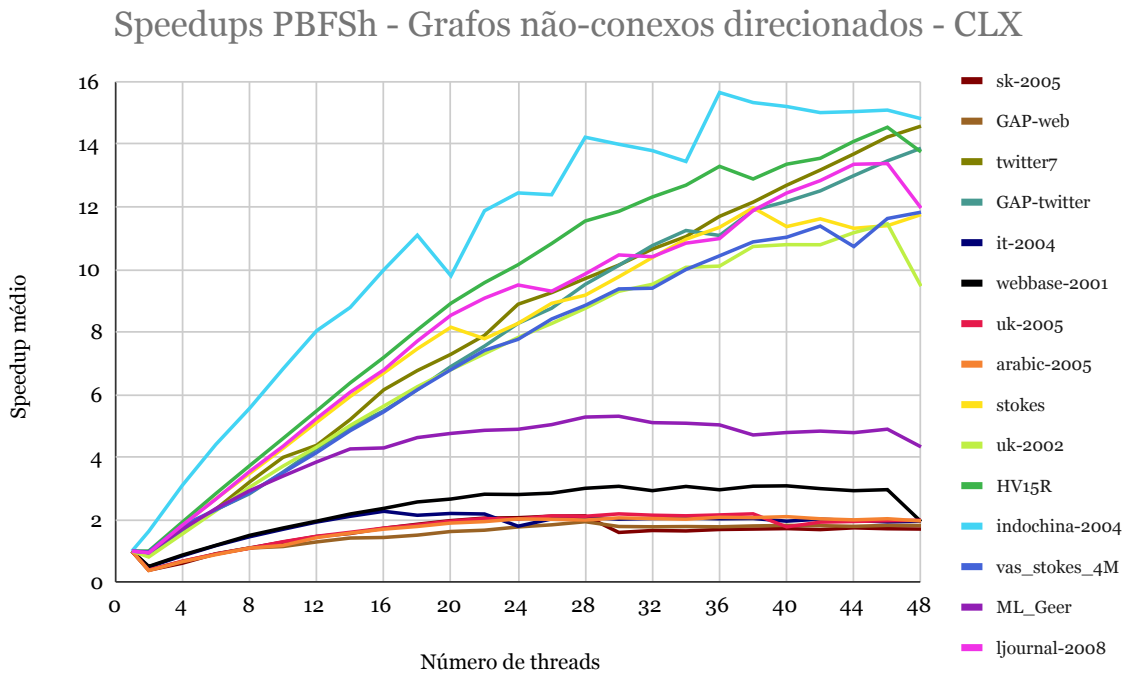
Fonte: Do autor(2021)

5.2.2.2 *Speedups* do algoritmo $PBFS_H$

A Figura 5.15 e a Tabela 5.19 apresentam os *speedups* obtidos pelo algoritmo $PBFS_H$ nos grafos *não conexos* direcionados, na máquina *CLX*. Todos os grafos apresentaram *speedup* significativo e nenhum grafo apresentou majoritariamente *slowdown* para a maioria dos números de *threads* utilizados. Os melhores *speedups* máximos foram obtidos pelos grafos *HV15R*, *indochina-2004* e *twitter7*, enquanto os piores foram obtidos pelos grafos *arabic-2005*, *sk-2005* e *uk-2005*. O perfil das curvas de *speedup* foi, em geral, de crescimento/estabilidade para um

número de *threads* maior que 24, indicando que a utilização do *hyperthreading* afetou positivamente o desempenho do $PBFS_H$ neste teste.

Figura 5.15 – Gráfico com os *speedups* obtidos pelo algoritmo $PBFS_H$ nos grafos *não conexos* direcionados, na máquina *CLX*.



Fonte: Do autor(2021)

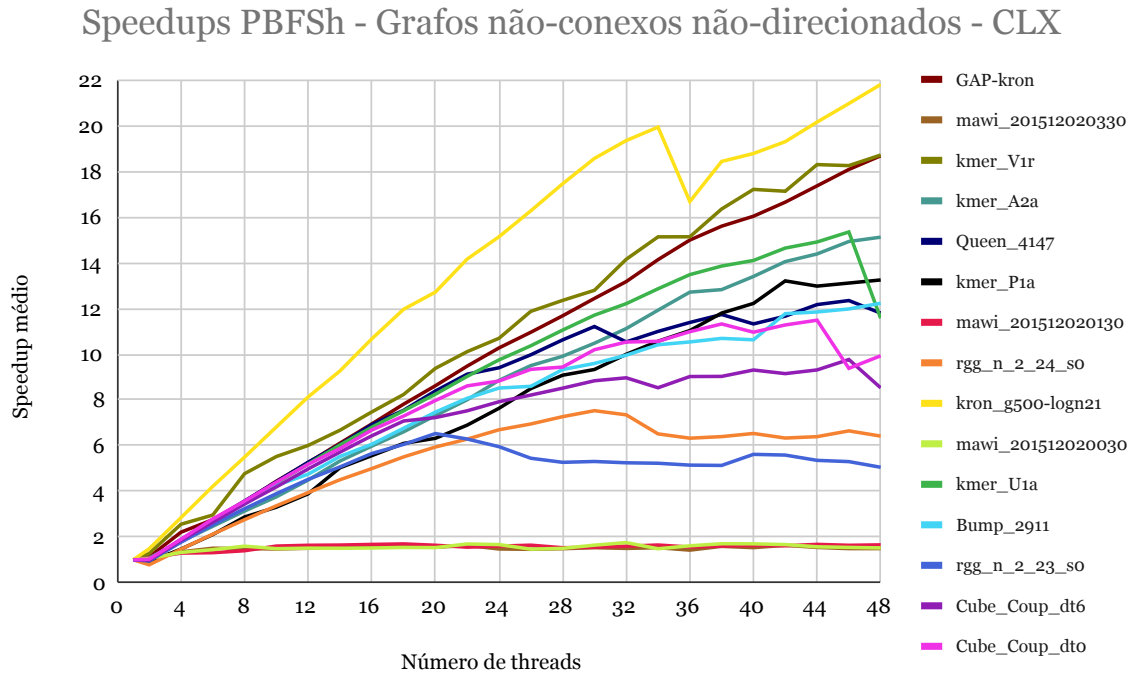
Tabela 5.19 – *Speedups* obtidos pelo algoritmo $PBFS_H$ nos grafos *não conexos* direcionados, na máquina *CLX*

| Número de threads | sk-2005 | GAP-web | twitter7 | GAP-twitter | it-2004 | webbase-2001 | uk-2005 | arabic-2005 | stokes | uk-2002 | HV15R | indochina-2004 | vas_stokes_4M | ML_Geer | Ijournal-2008 |
|-------------------|---------|---------|----------|-------------|---------|--------------|---------|-------------|--------|---------|-------|----------------|---------------|---------|---------------|
| 2 | 0,4 | 0,4 | 0,9 | 0,9 | 0,5 | 0,5 | 0,4 | 0,4 | 1,0 | 0,8 | 1,0 | 1,6 | 1,0 | 1,0 | 0,9 |
| 4 | 0,6 | 0,7 | 1,6 | 1,6 | 0,8 | 0,9 | 0,7 | 0,7 | 1,8 | 1,5 | 1,9 | 3,1 | 1,8 | 1,7 | 1,8 |
| 6 | 0,9 | 0,9 | 2,3 | 2,3 | 1,2 | 1,2 | 0,9 | 0,9 | 2,7 | 2,3 | 2,8 | 4,4 | 2,3 | 2,4 | 2,7 |
| 8 | 1,1 | 1,1 | 3,2 | 2,8 | 1,5 | 1,5 | 1,1 | 1,1 | 3,5 | 3,0 | 3,7 | 5,6 | 2,9 | 2,9 | 3,5 |
| 10 | 1,3 | 1,1 | 4,0 | 3,5 | 1,7 | 1,7 | 1,3 | 1,2 | 4,3 | 3,7 | 4,6 | 6,8 | 3,5 | 3,4 | 4,3 |
| 12 | 1,5 | 1,3 | 4,4 | 4,3 | 1,9 | 2,0 | 1,5 | 1,4 | 5,1 | 4,3 | 5,5 | 8,0 | 4,1 | 3,8 | 5,2 |
| 14 | 1,6 | 1,4 | 5,2 | 5,0 | 2,1 | 2,2 | 1,6 | 1,6 | 5,9 | 5,0 | 6,4 | 8,8 | 4,8 | 4,3 | 6,1 |
| 16 | 1,7 | 1,4 | 6,2 | 5,5 | 2,3 | 2,4 | 1,7 | 1,7 | 6,7 | 5,6 | 7,2 | 10,0 | 5,4 | 4,3 | 6,8 |
| 18 | 1,9 | 1,5 | 6,8 | 6,2 | 2,1 | 2,6 | 1,8 | 1,8 | 7,5 | 6,3 | 8,1 | 11,1 | 6,2 | 4,6 | 7,7 |
| 20 | 2,0 | 1,6 | 7,3 | 6,9 | 2,2 | 2,7 | 2,0 | 1,9 | 8,2 | 6,8 | 8,9 | 9,8 | 6,8 | 4,8 | 8,5 |
| 22 | 2,1 | 1,7 | 7,9 | 7,5 | 2,2 | 2,8 | 2,0 | 1,9 | 7,8 | 7,3 | 9,6 | 11,9 | 7,4 | 4,9 | 9,1 |
| 24 | 2,1 | 1,8 | 8,9 | 8,3 | 1,8 | 2,8 | 2,0 | 2,0 | 8,3 | 7,8 | 10,1 | 12,4 | 7,8 | 4,9 | 9,5 |
| 26 | 2,1 | 1,8 | 9,3 | 8,8 | 2,0 | 2,9 | 2,1 | 2,0 | 8,9 | 8,3 | 10,8 | 12,4 | 8,4 | 5,0 | 9,3 |
| 28 | 2,1 | 1,9 | 9,7 | 9,5 | 2,1 | 3,0 | 2,1 | 2,0 | 9,2 | 8,8 | 11,5 | 14,2 | 8,8 | 5,3 | 9,9 |
| 30 | 1,6 | 1,8 | 10,1 | 10,1 | 2,0 | 3,1 | 2,2 | 2,1 | 9,8 | 9,3 | 11,9 | 14,0 | 9,4 | 5,3 | 10,5 |
| 32 | 1,7 | 1,8 | 10,6 | 10,8 | 2,0 | 2,9 | 2,1 | 2,0 | 10,4 | 9,5 | 12,3 | 13,8 | 9,4 | 5,1 | 10,4 |
| 34 | 1,6 | 1,8 | 11,0 | 11,2 | 2,1 | 3,1 | 2,1 | 2,0 | 11,0 | 10,1 | 12,7 | 13,4 | 10,0 | 5,1 | 10,8 |
| 36 | 1,7 | 1,8 | 11,7 | 11,1 | 2,0 | 3,0 | 2,2 | 2,1 | 11,3 | 10,1 | 13,3 | 15,6 | 10,4 | 5,0 | 11,0 |
| 38 | 1,7 | 1,8 | 12,1 | 11,9 | 2,0 | 3,1 | 2,2 | 2,1 | 12,0 | 10,7 | 12,9 | 15,3 | 10,9 | 4,7 | 11,9 |
| 40 | 1,7 | 1,8 | 12,7 | 12,2 | 2,0 | 3,1 | 1,8 | 2,1 | 11,4 | 10,8 | 13,4 | 15,2 | 11,0 | 4,8 | 12,4 |
| 42 | 1,7 | 1,8 | 13,2 | 12,5 | 2,0 | 3,0 | 1,9 | 2,0 | 11,6 | 10,8 | 13,5 | 15,0 | 11,4 | 4,8 | 12,8 |
| 44 | 1,7 | 1,8 | 13,7 | 13,0 | 2,0 | 2,9 | 1,9 | 2,0 | 11,3 | 11,2 | 14,1 | 15,0 | 10,7 | 4,8 | 13,4 |
| 46 | 1,7 | 1,8 | 14,2 | 13,5 | 1,9 | 3,0 | 2,0 | 2,0 | 11,4 | 11,5 | 14,5 | 15,1 | 11,6 | 4,9 | 13,4 |
| 48 | 1,7 | 1,8 | 14,6 | 13,9 | 2,0 | 1,9 | 2,0 | 2,0 | 11,7 | 9,5 | 13,8 | 14,8 | 11,8 | 4,3 | 12,0 |

Fonte: Do autor(2021)

A Figura 5.16 e a Tabela 5.20 apresentam os *speedups* obtidos pelo algoritmo $PBFS_H$ nos grafos *não conexos* não direcionados, na máquina *CLX*. Todos os grafos apresentaram *speedup* significativo e nenhum grafo apresentou majoritariamente *slowdown* para a maioria dos números de *threads* utilizados. Os melhores *speedups* máximos foram obtidos pelos grafos *GAP-kron*, *kmer_V1r* e *kron_g500-logn21*, enquanto os piores foram obtidos pelos grafos *mawi_201512020030*, *mawi_201512020130* e *mawi_201512020330sk-2005*. O perfil das curvas de *speedup* foi, em geral, de crescimento/estabilidade para um número de *threads* maior que 24, indicando que a utilização do *hyperthreading* afetou positivamente o desempenho do $PBFS_H$ neste teste.

Figura 5.16 – Gráfico com os *speedups* obtidos pelo algoritmo $PBFS_H$ nos grafos *não conexos* não direcionados, na máquina *CLX*.



Fonte: Do autor(2021)

Tabela 5.20 – *Speedups* obtidos pelo algoritmo $PBFS_H$ nos grafos *não conexos* não direcionados, na máquina *CLX*

| Número de threads | GAP-kron | mawi_201512020330 | kmer_V1r | kmer_A2a | Queen_4147 | kmer_P1a | mawi_201512020130 | rgg_n_2_24_s0 | kron_g500-logn21 | mawi_201512020030 | kmer_U1a | Bump_2911 | rgg_n_2_23_s0 | Cube_Coup_dt6 | Cube_Coup_dt0 |
|-------------------|----------|-------------------|----------|----------|------------|----------|-------------------|---------------|------------------|-------------------|----------|-----------|---------------|---------------|---------------|
| 2 | 1,1 | 1,1 | 1,3 | 1,1 | 1,0 | 0,9 | 1,1 | 0,8 | 1,5 | 1,1 | 1,0 | 1,0 | 0,9 | 1,0 | 1,0 |
| 4 | 2,2 | 1,3 | 2,6 | 1,8 | 1,9 | 1,5 | 1,3 | 1,5 | 2,8 | 1,3 | 1,8 | 1,8 | 1,8 | 1,8 | 1,9 |
| 6 | 2,8 | 1,5 | 3,0 | 2,5 | 2,7 | 2,1 | 1,3 | 2,1 | 4,2 | 1,4 | 2,7 | 2,6 | 2,5 | 2,6 | 2,8 |
| 8 | 3,5 | 1,5 | 4,8 | 3,1 | 3,6 | 2,9 | 1,4 | 2,8 | 5,5 | 1,6 | 3,5 | 3,5 | 3,2 | 3,4 | 3,6 |
| 10 | 4,4 | 1,5 | 5,5 | 3,8 | 4,4 | 3,3 | 1,6 | 3,4 | 6,8 | 1,5 | 4,4 | 4,3 | 3,9 | 4,2 | 4,4 |
| 12 | 5,3 | 1,5 | 6,0 | 4,5 | 5,3 | 3,9 | 1,6 | 3,9 | 8,1 | 1,5 | 5,2 | 4,7 | 4,5 | 5,0 | 5,2 |
| 14 | 6,1 | 1,5 | 6,7 | 5,3 | 6,0 | 5,0 | 1,6 | 4,5 | 9,3 | 1,5 | 6,0 | 5,5 | 5,1 | 5,7 | 5,9 |
| 16 | 6,9 | 1,6 | 7,5 | 6,0 | 6,9 | 5,6 | 1,7 | 5,0 | 10,7 | 1,5 | 6,8 | 6,1 | 5,7 | 6,4 | 6,7 |
| 18 | 7,8 | 1,6 | 8,2 | 6,6 | 7,5 | 6,1 | 1,7 | 5,5 | 12,0 | 1,5 | 7,5 | 6,8 | 6,1 | 7,1 | 7,3 |
| 20 | 8,6 | 1,5 | 9,4 | 7,3 | 8,4 | 6,3 | 1,6 | 5,9 | 12,7 | 1,5 | 8,3 | 7,5 | 6,5 | 7,2 | 8,0 |
| 22 | 9,5 | 1,6 | 10,1 | 8,0 | 9,1 | 6,9 | 1,6 | 6,3 | 14,2 | 1,7 | 9,0 | 8,1 | 6,3 | 7,5 | 8,6 |
| 24 | 10,3 | 1,5 | 10,7 | 8,9 | 9,4 | 7,6 | 1,6 | 6,7 | 15,1 | 1,7 | 9,8 | 8,5 | 6,0 | 7,9 | 8,8 |
| 26 | 11,0 | 1,5 | 11,9 | 9,5 | 10,0 | 8,5 | 1,6 | 6,9 | 16,3 | 1,5 | 10,4 | 8,6 | 5,4 | 8,2 | 9,3 |
| 28 | 11,7 | 1,5 | 12,4 | 9,9 | 10,6 | 9,1 | 1,5 | 7,3 | 17,5 | 1,5 | 11,1 | 9,3 | 5,3 | 8,5 | 9,4 |
| 30 | 12,4 | 1,5 | 12,8 | 10,5 | 11,2 | 9,3 | 1,5 | 7,5 | 18,6 | 1,6 | 11,7 | 9,6 | 5,3 | 8,8 | 10,2 |
| 32 | 13,2 | 1,5 | 14,2 | 11,1 | 10,5 | 10,0 | 1,6 | 7,3 | 19,4 | 1,8 | 12,2 | 10,0 | 5,2 | 9,0 | 10,5 |
| 34 | 14,1 | 1,5 | 15,1 | 11,9 | 11,0 | 10,6 | 1,6 | 6,5 | 19,9 | 1,5 | 12,9 | 10,4 | 5,2 | 8,5 | 10,6 |
| 36 | 15,0 | 1,4 | 15,1 | 12,7 | 11,4 | 11,0 | 1,6 | 6,3 | 16,7 | 1,6 | 13,5 | 10,5 | 5,1 | 9,0 | 11,0 |
| 38 | 15,6 | 1,6 | 16,4 | 12,8 | 11,7 | 11,8 | 1,6 | 6,4 | 18,4 | 1,7 | 13,9 | 10,7 | 5,1 | 9,0 | 11,3 |
| 40 | 16,0 | 1,5 | 17,2 | 13,4 | 11,3 | 12,2 | 1,6 | 6,5 | 18,8 | 1,7 | 14,1 | 10,6 | 5,6 | 9,3 | 11,0 |
| 42 | 16,7 | 1,6 | 17,1 | 14,1 | 11,7 | 13,2 | 1,6 | 6,3 | 19,3 | 1,7 | 14,6 | 11,8 | 5,6 | 9,2 | 11,3 |
| 44 | 17,4 | 1,5 | 18,3 | 14,4 | 12,2 | 13,0 | 1,7 | 6,4 | 20,2 | 1,6 | 14,9 | 11,9 | 5,4 | 9,3 | 11,5 |
| 46 | 18,1 | 1,5 | 18,3 | 14,9 | 12,4 | 13,1 | 1,6 | 6,6 | 21,0 | 1,5 | 15,4 | 12,0 | 5,3 | 9,8 | 9,4 |
| 48 | 18,7 | 1,5 | 18,7 | 15,1 | 11,8 | 13,3 | 1,7 | 6,4 | 21,8 | 1,5 | 11,6 | 12,2 | 5,1 | 8,5 | 9,9 |

Fonte: Do autor(2021)

5.3 Resumo

Os algoritmos $PBFS_O$ e $PBFS_H$ desenvolvidos neste trabalho, quando executados sequencialmente, são, em geral, mais rápidos que o algoritmo de busca em largura sequencial com fila (BFS). O $PBFS_O$ com 1 *thread* foi mais lento que o BFS em apenas 22 dos 123 testes feitos com esse algoritmo nas duas máquinas de teste, enquanto o $PBFS_H$ com 1 *thread* foi mais lento que o BFS em apenas 22 dos seus 120 testes nas máquinas *SKL* e *CLX*. A média geométrica dos tempos de execução sequenciais dos algoritmos $PBFS_O$ e $PBFS_H$, foi 5,93% e 4,82% menor que a do BFS , respectivamente.

As Tabelas 5.21 e 5.22 exibem os *speedups* máximos obtidos pelos algoritmos $PBFS_O$ e $PBFS_H$ em cada grafo nas máquinas *SKL* e *CLX*. Além disso, para que fosse possível a análise do impacto da escolha do vértice inicial no desempenho das implementações, na Tabela 5.21 foi incluída a coluna $e(v_0)$, que representa a excentricidade do vértice inicial usado, já na Tabela 5.22, além da coluna $e(v_0)$, foram incluídas também as colunas $|V_{CFC}|$ e $|A_{CFC}|$, que representam a quantidade de vértices e a quantidade de arestas da componente fortemente conectada usada, respectivamente.

Observa-se que o $PBFS_O$, em geral, obteve *speedups* máximos maiores que o $PBFS_H$. O $PBFS_O$ obteve *speedups* máximos maiores que o $PBFS_H$ em 35 dos 60 testes (2 testes por grafo, 1 em cada máquina) em que os dois algoritmos foram ambos testados. Assim, por essa métrica, pode-se dizer que o desempenho do algoritmo $PBFS_O$ foi melhor do que o desempenho do algoritmo $PBFS_H$. Como pode ser verificado pelas Figuras 5.1 a 5.16, o perfil geral das curvas de *speedup* foi de decrescimento para o algoritmo $PBFS_O$ e de crescimento para o algoritmo $PBFS_H$, para quantidades de *threads* acima da quantidade de núcleos físicos da máquina de realização dos testes, indicando que a utilização do *hyperthreading* afetou negativamente o desempenho do $PBFS_O$ e positivamente desempenho do $PBFS_H$.

Em relação ao impacto da escolha do vértice inicial, observa-se o seguinte: parece que existe uma correlação de proporcionalidade inversa entre a excentricidade do vértice inicial e o desempenho dos algoritmos, isso é mais evidente de ser percebido nos grafos *conexos*. A nossa hipótese que busca explicar esse comportamento reside no fato das implementações desenvolvidas descobrirem os níveis do grafo de entrada de maneira sequencial ($PBFS_O$) e sequencial intra-processo ($PBFS_H$), sendo o paralelismo implementado essencialmente somente intra-nível. Assim, quanto maior a excentricidade do vértice inicial, maior será o trabalho sequencial realizado pelos algoritmos, implicando em um pior desempenho (*speedup*). Nos grafos *não conexos*, além do impacto de $e(v_0)$ também parece haver um outro impacto significativo advindo da escolha do vértice inicial no sentido de que esse vértice também definirá a componente fortemente conectada sobre a qual os algoritmos executarão e, quando esta componente tiver um tamanho muito pequeno, o paralelismo não será bem aproveitado, contribuindo negativamente para o desempenho.

Tabela 5.21 – *Speedups* máximos obtidos pelos algoritmos $PBFS_O$ e $PBFS_H$ nos grafos *conexos*, nas máquinas *SKL* e *CLX*.

| N° | Grafo | SKL | | CLX | | $e(v_0)$ |
|----|--------------------------|----------|----------|----------|----------|----------|
| | | $PBFS_O$ | $PBFS_H$ | $PBFS_O$ | $PBFS_H$ | |
| 1 | cage15 | 17,0 | 14,5 | 14,4 | 12,4 | 30 |
| 2 | wiki-topcats | 11,7 | 12,6 | 8,6 | 11,1 | 254 |
| 3 | cage14 | 13,5 | 12,9 | 13,5 | 10,3 | 25 |
| 4 | rajat31 | 2,7 | 3,5 | 2,7 | 2,9 | 1253 |
| 5 | fem_hifreq_circuit | 10,6 | 9,5 | 11,3 | 9,2 | 46 |
| 6 | kim2 | 2,8 | 3,2 | 3,3 | 3,2 | 337 |
| 7 | atmosmodl | 3,2 | 4,3 | 3,1 | 4,0 | 428 |
| 8 | torso1 | 3,1 | 3,7 | 3,4 | 3,7 | 127 |
| 9 | cage13 | 9,3 | 9,7 | 9,3 | 8,7 | 23 |
| 10 | ohne2 | 8,8 | 8,9 | 9,4 | 9,3 | 27 |
| 11 | Chevron4 | 1,1 | 1,3 | 1,1 | 1,3 | 1393 |
| 12 | marine1 | 3,3 | 4,3 | 4,2 | 3,4 | 161 |
| 13 | Hamrle3 | 10,3 | 12,6 | 13,2 | 8,9 | 18 |
| 14 | Chebyshev4 | 7,0 | 7,8 | 7,3 | 8,5 | 1 |
| 15 | largebasis | 1,0 | 1,0 | 1,0 | 1,0 | 40001 |
| 16 | GAP-urand | 15,8 | - | 45,4 | 15,6 | 7 |
| 17 | com-Friendster | 17,7 | - | 32,4 | 15,1 | 21 |
| 18 | mycielskian20 | 13,6 | 9,8 | 33,4 | 20,8 | 2 |
| 19 | mycielskian19 | 20,4 | 14,0 | 31,8 | 19,7 | 2 |
| 20 | nlpkkt240 | 13,1 | 10,1 | 12,4 | 13,1 | 240 |
| 21 | nlpkkt200 | 16,8 | 11,5 | 13,1 | 12,7 | 200 |
| 22 | mycielskian18 | 21,9 | 14,9 | 18,0 | 19,6 | 2 |
| 23 | com-Orkut | 24,7 | 16,3 | 15,7 | 14,9 | 6 |
| 24 | nlpkkt160 | 15,1 | 11,9 | 13,0 | 11,7 | 160 |
| 25 | Flan_1565 | 10,1 | 8,4 | 9,5 | 9,1 | 197 |
| 26 | europe_osm | 3,5 | 4,9 | 4,3 | 2,8 | 21894 |
| 27 | delaunay_n24 | 7,2 | 8,4 | 6,0 | 6,9 | 1464 |
| 28 | mycielskian17 | 18,7 | 14,4 | 17,4 | 18,0 | 2 |
| 29 | nlpkkt120 | 11,9 | 11,7 | 11,1 | 11,2 | 120 |
| 30 | dielFilterV3real | 14,8 | 12,2 | 12,2 | 11,8 | 61 |
| 31 | channel-500x100x100-b050 | 7,1 | 7,5 | - | - | 498 |
| 32 | audikw_1 | 15,1 | 11,8 | - | - | 56 |

Fonte: Do autor(2021)

Tabela 5.22 – *Speedups* máximos obtidos pelos algoritmos $PBFS_O$ e $PBFS_H$ nos grafos *não conexos*, nas máquinas *SKL* e *CLX*.

| N° | Grafo | SKL | | CLX | | $e(v_0)$ | $ V _{CFC}$ | $ A _{CFC}$ |
|----|-------------------|----------|----------|----------|----------|----------|-------------|-------------|
| | | $PBFS_O$ | $PBFS_H$ | $PBFS_O$ | $PBFS_H$ | | | |
| 1 | sk-2005 | 9,3 | 1,8 | 13,9 | 2,1 | 5 | 16016 | 104502 |
| 2 | GAP-web | 12,0 | 1,9 | 13,9 | 1,9 | 5 | 16016 | 91686 |
| 3 | twitter7 | 8,3 | 15,7 | 28,3 | 14,6 | 12 | 35016137 | 1415799538 |
| 4 | GAP-twitter | 12,1 | 15,4 | 27,4 | 13,9 | 12 | 35016137 | 1415799261 |
| 5 | it-2004 | 12,8 | 3,2 | 13,8 | 2,3 | 4 | 9995 | 40365 |
| 6 | webbase-2001 | 12,4 | 3,5 | 34,0 | 3,1 | 1 | 3842 | 3841 |
| 7 | uk-2005 | 9,7 | 1,9 | 15,2 | 2,2 | 10 | 5609 | 21961 |
| 8 | arabic-2005 | 12,4 | 1,8 | 14,2 | 2,1 | 4 | 9965 | 19920 |
| 9 | stokes | 15,0 | 13,9 | 11,8 | 12,0 | 237 | 11303355 | 349175802 |
| 10 | uk-2002 | 16,0 | 13,7 | 12,7 | 11,5 | 39 | 17994090 | 289864964 |
| 11 | HV15R | 19,4 | 13,8 | 15,1 | 14,5 | 69 | 2017169 | 283073458 |
| 12 | indochina-2004 | 16,5 | 13,6 | 16,0 | 15,6 | 2 | 6987 | 48228945 |
| 13 | vas_stokes_4M | 17,1 | 14,0 | 14,8 | 11,8 | 67 | 4309660 | 131456523 |
| 14 | ML_Geer | 6,1 | 6,2 | 5,5 | 5,3 | 499 | 1504002 | 110879972 |
| 15 | ljournal-2008 | 17,7 | 15,9 | 13,9 | 13,4 | 39 | 4815948 | 77879760 |
| 16 | GAP-kron | 14,5 | - | 31,5 | 18,7 | 5 | 63032893 | 2111611751 |
| 17 | mawi_201512020330 | 1,8 | 2,0 | 1,6 | 1,6 | 6 | 213682593 | 231407318 |
| 18 | kmer_V1r | 9,7 | 8,4 | 16,6 | 18,7 | 322 | 214004392 | 232704832 |
| 19 | kmer_A2a | 11,3 | 7,7 | 18,4 | 15,1 | 513 | 170372459 | 179941739 |
| 20 | Queen_4147 | 15,7 | 11,5 | 13,5 | 12,4 | 175 | 4147110 | 166823197 |
| 21 | kmer_P1a | 12,9 | 7,4 | 14,5 | 13,3 | 486 | 138896082 | 148465346 |
| 22 | mawi_201512020130 | 1,8 | 1,9 | 1,6 | 1,7 | 7 | 121594511 | 130268466 |
| 23 | rgg_n_2_24_s0 | 8,6 | 9,0 | 8,0 | 7,5 | 1910 | 16777215 | 132557200 |
| 24 | kron_g500-logn21 | 21,2 | 23,3 | 18,7 | 21,8 | 4 | 1543901 | 91041917 |
| 25 | mawi_201512020030 | 1,9 | 1,9 | 1,6 | 1,8 | 8 | 64912184 | 69026990 |
| 26 | kmer_U1a | 11,0 | 12,2 | 12,4 | 15,4 | 889 | 64678340 | 66393629 |
| 27 | Bump_2911 | 15,1 | 12,4 | 12,1 | 12,2 | 95 | 2852430 | 65261670 |
| 28 | rgg_n_2_23_s0 | 7,2 | 8,1 | 6,1 | 6,5 | 1389 | 8388601 | 63501390 |
| 29 | Cube_Coup_dt6 | 12,7 | 9,6 | 11,5 | 9,8 | 152 | 2164760 | 64685452 |
| 30 | Cube_Coup_dt0 | 12,3 | 9,6 | 11,5 | 11,5 | 152 | 2164760 | 64685452 |
| 31 | kmer_V2a | 15,7 | 10,6 | - | - | 864 | 53500237 | 57076126 |

Fonte: Do autor(2021)

6 CONCLUSÃO

Neste trabalho foram desenvolvidas duas versões adaptadas do algoritmo *PBFS* de Leiserson e Schardl (2010). Uma das versões criadas, a *PBFS_O*, utilizou paralelização por *OpenMP* puro e, na outra versão, na *PBFS_H*, utilizou-se paralelização híbrida por *MPI* e *OpenMP*. Essas implementações se mostraram adaptações funcionais e, em geral, apresentaram *speedup* significativo.

Foram realizados testes extensivos em 2 máquinas de alto desempenho, com 63 grafos distintos. Nesses testes, o algoritmo *PBFS_O* atingiu *speedups* máximos de 1,0 a 45,4, enquanto o *PBFS_H* atingiu *speedups* máximos entre 1,0 e 23,3. Além disso, a média geométrica dos tempos de execução sequenciais dos algoritmos *PBFS_O* e *PBFS_H*, foi 5,93% e 4,82% menor, respectivamente, do que a média geométrica dos tempos de execução do algoritmo de busca em largura sequencial com fila (*BFS*). Foi observado o fato de que existe a possibilidade de que a escolha do vértice inicial acarrete em *speedups* ruins, devido a este vértice possuir grande excentricidade e/ou pertencer a uma componente fortemente conectada que possui um pequeno número de vértices; no entanto, acreditamos que é necessária a realização de testes específicos para comprovar e dimensionar esses impactos.

Não foi observada vantagem, no sentido de obtenção de melhores *speedups*, da versão com paralelização por *MPI* e *OpenMP* sobre a versão com paralelização por *OpenMP* puro, pelo contrário, foi observada uma ligeira piora de performance nesse caso, no entanto, observou-se que o *PBFS_H* tende a fazer melhor uso do *hyperthreading* do que a *PBFS_O*.

6.1 Trabalhos futuros

Considerando-se as implementações da *PBFS* desenvolvidas neste trabalho, destaca-se como um ponto relevante passível de ser explorado em futuros estudos o desenvolvimento de uma implementação com *MPI* e possivelmente *OpenMP* de uma adaptação do algoritmo *PBFS_H* que seja destinado à execução em múltiplos nós computacionais, essa versão da busca em largura paralela poderia fazer uso de uma estratégia de união de vetores de distâncias parciais (semelhante à estratégia utilizada para o algoritmo *PBFS_H*) que, ao final do processamento em cada nó, seriam enviados a um nó responsável por fazer a união dos mesmos e produzir o vetor de distâncias final.

REFERÊNCIAS

- BELOVA, M.; OUYANG, M. Breadth-first search with a multi-core computer. In: **Proceedings - 2017 IEEE 31st International Parallel and Distributed Processing Symposium Workshops, IPDPSW 2017**. Lake Buena Vista, FL, USA: Institute of Electrical and Electronics Engineers Inc., 2017. p. 579–587. ISBN 9781538634080. Disponível em: <<https://ieeexplore.ieee.org/document/7965097>>.
- BRANDÃO, D. et al. Estudo sobre o uso do framework openmp na paralelização de um algoritmo para o problema de busca em largura paralela. In: **LI Simpósio Brasileiro de Pesquisa Operacional**. Campinas, SP, Brasil: Galoá, 2019. Disponível em: <encurtador.com.br/gDQ26>.
- CHENEY, C. J. A nonrecursive list compacting algorithm. **Commun. ACM**, Association for Computing Machinery, New York, NY, USA, v. 13, n. 11, p. 677–678, nov 1970. ISSN 0001-0782. Disponível em: <<https://doi.org/10.1145/362790.362798>>.
- CHHUGANI, J. et al. Fast and efficient graph traversal algorithm for CPUs: Maximizing single-node efficiency. In: **Proceedings of the 2012 IEEE 26th International Parallel and Distributed Processing Symposium, IPDPS 2012**. Shanghai, China: IEEE, 2012. p. 378–389. ISBN 9780769546759. Disponível em: <<https://ieeexplore.ieee.org/abstract/document/6267875>>.
- CORMEN, T. H. et al. **Introduction to Algorithms, Third Edition**. 3rd. ed. Cambridge, Massachusetts & London, England: The MIT Press, 2009. ISBN 0262033844.
- DAVIS, T.; HU, Y. The university of florida sparse matrix collection. **ACM Transactions on Mathematical Software (TOMS)**, v. 38, n. 1, p. 1, 11 2011.
- HASSAAN, M. A.; BURTSCHER, M.; PINGALI, K. Ordered and unordered algorithms for parallel breadth first search. In: **Proceedings of the 19th International Conference on Parallel Architectures and Compilation Techniques**. New York, NY, USA: Association for Computing Machinery, 2010. (PACT '10), p. 539–540. ISBN 9781450301787. Disponível em: <<https://doi.org/10.1145/1854273.1854341>>.
- LEISERSON, C. E.; SCHARDL, T. B. A work-efficient parallel breadth-first search algorithm (or how to cope with the nondeterminism of reducers). In: **Annual ACM Symposium on Parallelism in Algorithms and Architectures**. New York, New York, USA: ACM Press, 2010. p. 303–314. ISBN 9781450300797. Disponível em: <<http://portal.acm.org/citation.cfm?doid=1810479.1810534>>.
- MCCARTHY, J. Recursive functions of symbolic expressions and their computation by machine, part i. **Commun. ACM**, Association for Computing Machinery, New York, NY, USA, v. 3, n. 4, p. 184–195, apr 1960. ISSN 0001-0782. Disponível em: <<https://doi.org/10.1145/367177.367199>>.
- OLIVEIRA, S. L. G. de; SILVA, L. M. Evolving reordering algorithms using an ant colony hyperheuristic approach for accelerating the convergence of the ICCG method. **Engineering with Computers**, Springer Science and Business Media Deutschland GmbH, v. 36, n. 4, p. 1857–1873, oct 2019. ISSN 14355663. Disponível em: <<https://link.springer.com/article/10.1007/s00366-019-00801-5>>.

OLIVEIRA, S. L. G. de; SILVA, L. M. An ant colony hyperheuristic approach for matrix bandwidth reduction. **Applied Soft Computing Journal**, Elsevier Ltd, v. 94, p. 106434, sep 2020. ISSN 15684946. Disponível em: <<https://www.sciencedirect.com/science/article/pii/S1568494620303744>>.

SHUN, J.; BLELLOCH, G. E. Ligr: A lightweight graph processing framework for shared memory. In: **Proceedings of the 18th ACM SIGPLAN Symposium on Principles and Practice of Parallel Programming**. New York, NY, USA: Association for Computing Machinery, 2013. (PPoPP '13), p. 135–146. ISBN 9781450319225. Disponível em: <<https://doi.org/10.1145/2442516.2442530>>.

SHUN, J.; BLELLOCH, G. E. Ligr: A lightweight graph processing framework for shared memory. **SIGPLAN Not.**, Association for Computing Machinery, New York, NY, USA, v. 48, n. 8, p. 135–146, fev. 2013. ISSN 0362-1340. Disponível em: <<https://doi.org/10.1145/2517327.2442530>>.

ST. JOHN, T.; DENNIS, J. B.; GAO, G. R. Massively parallel breadth first search using a tree-structured memory model. In: **Proceedings of the 2012 International Workshop on Programming Models and Applications for Multicores and Manycores**. New York, NY, USA: Association for Computing Machinery, 2012. (PMAM '12), p. 115–123. ISBN 9781450312110. Disponível em: <<https://doi.org/10.1145/2141702.2141715>>.